

وزارة التعليم والبحث العلمي
MINISTÈRE DE L'ENSEIGNEMENT ET DE LA RECHERCHE SCIENTIFIQUE

2EX

ECOLE NATIONALE POLYTECHNIQUE

DEPARTEMENT de génie civil

المدرسة الوطنية المتعددة التقنيات
BIBLIOTHEQUE —
المكتبة —
Ecole Nationale Polytechnique

PROJET DE FIN D'ETUDES

S U J E T

Salle de SPORTS

Polyvalente

En

Charpente - métallique.

4 PLANCHES

Proposé par :

Batimetal

Etudié par :

M. BEDERIAT

M. GHRISSI

Dirigé par :

Z. Djillali - BERKANE

PROMOTION : Juin 1986.

REMERCIEMENTS

المدرسة الوطنية المتعددة التقنيات
BIBLIOTHEQUE — المكتبة
Ecole Nationale Polytechnique

Nos remerciements sincères à notre promotrice
Melle Z. Agilali-Berkane pour son aide tout au long
de l'élaboration de notre mémoire.

Il nous est agréable aussi d'exprimer notre
reconnaissance aux professeurs qui ont contribué
à notre formation.

Nous remercions également M^e M^e HAROUN (bureau
d'étude BATIMÉTAL) et M^e JERSI-CALKA (Ingénieur du CTC)
pour leurs aimable collaboration.

DEDICACES

A nos parents

A nos frères et soeurs,

A nos amis.

TABLE DES MATIERES

<u>chapitre</u>	<u>Titre</u>	الدرسة الوطنية المتعددة التقنيات BIBLIOTHEQUE — المكتبة Ecole Nationale Polytechnique	<u>Page</u>
	INTRODUCTION		
	* présentation -----	1	
	* , caractéristiques des matériaux -----	3	
Premier :	Etude au vent -----	4	
II	Calcul des éléments.		
	* ponts isostatiques -----	8	
	* Bardage -----	9	
	* Escaliers -----	12	
III	Etude de la poutres à treillis -----	15	
IV	Etude au séisme -----	21	
V	Etude des portiques		
	* portique de la tribune-----	25	
	* poteau , Composé -----	30	
	* Vérification de la poutre à treillis-----	33	
VI	Contreventement -----	35	
VII	Assemblages -----	42	
VIII	Ancrage des poteaux -----	52	
IX	Fondations -----	61	
	- , Conclusions		
	- Bibliographie		

PRESENTATION

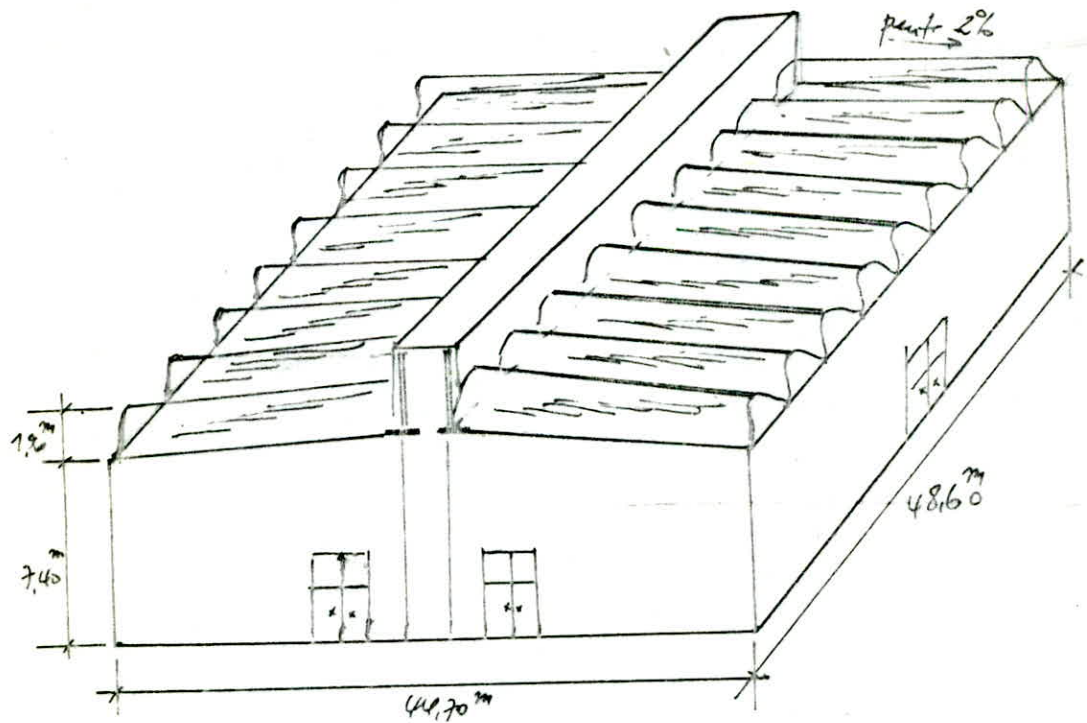
Le sujet de notre projet, consiste en l'étude de la structure portante en charpente métallique d'une salle de sport polyvalente implantée à AÏN DEFLA.

Cet ouvrage est composé d'une salle et deux tribunes, séparés par des joints de dilatation.

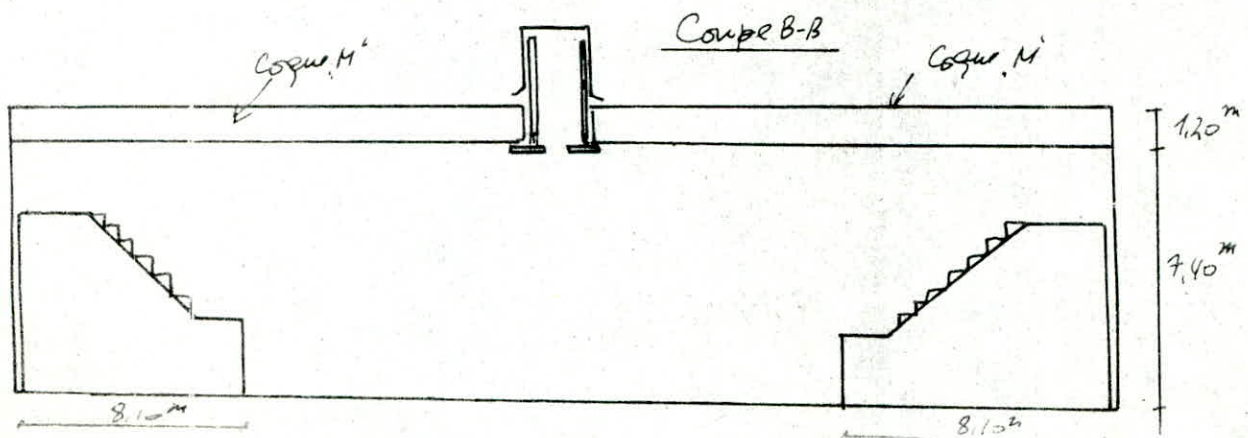
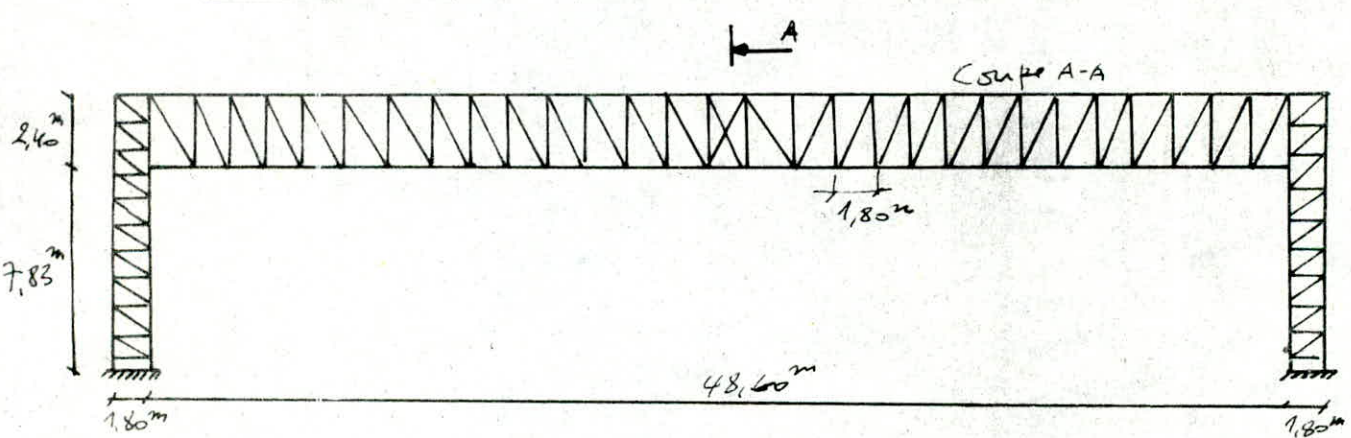
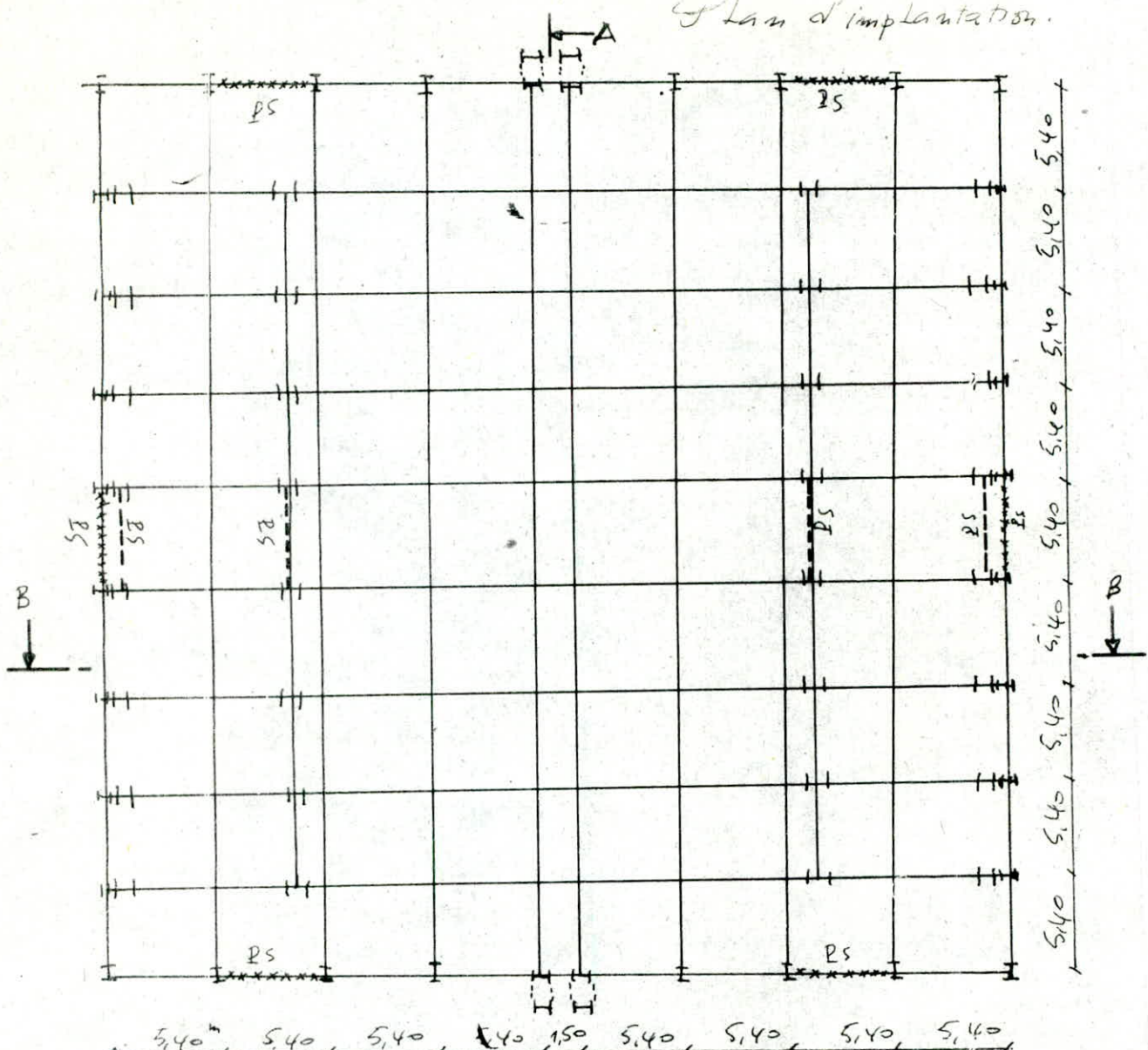
L'ossature métalliques, composée de portiques auto-stables et des parois de stabilité et de l'autre sens la stabilité est assuré uniquement par des contre-ventements verticaux entre les files de poteaux.

La toiture du bâtiment, constitué de la coque M qui contribue à la rigidité générale de l'ossature.

Pour les assemblages à être réalisés sur place devront être boulonnés.



Vue en perspective,



CARACTERISTIQUES DES MATERIAUX

1^o) Aciers:

- Profils laminés en aciers E24. $\bar{\sigma}_{en} = 2400 \text{ dor}/\text{cm}^2$
(Pour les tiges voir OTUA TOME III page)
- Toiles nervurées (TN 40) $c_p > 5 \text{ mm}$
- boulons de fondation FeE24 ; $\bar{\sigma}_{en} = 2400 \text{ dor}/\text{cm}^2$
- boulons ordinaires type 4-6, 5-6 (2400, 3000 dor/cm^2)
- boulons à haute résistance type 8-8 : $\bar{\sigma}_{en} = 6400 \text{ dor}/\text{cm}^2$
type 10-9 $\bar{\sigma}_{en} = 9000 \text{ dor}/\text{cm}^2$

- Acier de ferrailage:

i: barres rondes lisses : FeE24 ; $\bar{\sigma}_a = 1600 \text{ dor}/\text{cm}^2$

ii: barres TOR (Hn) : FeE40 ; $\bar{\sigma}_a = 2800 \text{ dor}/\text{cm}^2 (\phi \leq 8)$

- Contraintes admissibles limitées par les conditions de fissuration } $\bar{\sigma}_a \leq \max(\bar{\sigma}_1, \bar{\sigma}_2)$ } C.C.B.A art 4.9.

2^o) Béton:

Le béton utilisé est dosé à 350 kg/m³ de ciment CPA 32.5 et peu contrôlé

* Contrainte admissible de compression simple:

$$\bar{\sigma}'_b = 67,5 \text{ dor}/\text{cm}^2$$

* Contrainte admissible en flexion simple:

$$\bar{\sigma}'_f = 135 \text{ dor}/\text{cm}^2$$

* Contrainte admissible de traction

$$\bar{\sigma}_t = 8,8 \text{ dor}/\text{cm}^2 \quad \text{CCBA art 9.5}$$

3^o) Résistance du sol:

La nature du sol permet d'adapter des semelles isolées à lesquelles les poteaux feront encastres.

(voir chapitre fondation)

E T U D E AU VENT

ETUDE AU VENT

Les surcharges climatiques ont un effet très important sur les constructions métalliques. De ce fait, l'étude de la résistance et la stabilité d'une construction sous ces surcharges est obligatoire.

Action élémentaire unitaire:

$$q = q_{10} \cdot K_h \cdot \delta \cdot K_m \cdot K_s \cdot C$$

q_{10} : pression dynamique de base à 10m de hauteur
Région II $\rightarrow q_{10} = 70 \text{ daN/m}^2$

K_h : effet de hauteur au-dessus du sol.

$$\text{pour } 0 \leq H \leq 500 \text{ m} ; K_h = 2,5 \frac{H+18}{H+60}$$
$$H=10,40 \Rightarrow K_h = 1,008$$

δ : coefficient de réduction des pressions dynamiques
 H est fonction de la plus grande dimension exposée
au vent $\rightarrow L = 48,60$

d'après NV65 fig RII2 pour $H < 30 \text{ m} \rightarrow \delta = 0,74$

K_s : coefficient de site \rightarrow site normalisé $K_s = 1$ (NV65, 1,242)

K_m : coefficient de masque $\rightarrow K_m = 1$

C : coefficient de pression fonction des dispositions
de la construction.

$$C = C_e - C_i$$

Les coefficient C_e et C_i

caractérisent respectivement les actions extérieures
et les actions intérieures

Calcul des rapports des dimensions:

$$\lambda_a = \frac{H}{a} = \frac{10,40}{48,60} = 0,214 \quad b < a.$$

$$\lambda_b = \frac{H}{b} = \frac{10,40}{44,7} = 0,232$$

Calcul du Coefficient δ_s

D'après le diagramme de la figure R^{III} 3 NV65

- Vent normal à la grande face S_a :

$$\lambda_a = 0,214 < 0,5 \rightarrow \delta_s = 0,85$$

- Vent normal à la petite face S_b :

$$\lambda_b = 0,232 < 1,0 \rightarrow \delta_s = 0,85$$

Détermination des actions extérieures C_e

1^{er} La Toiture:

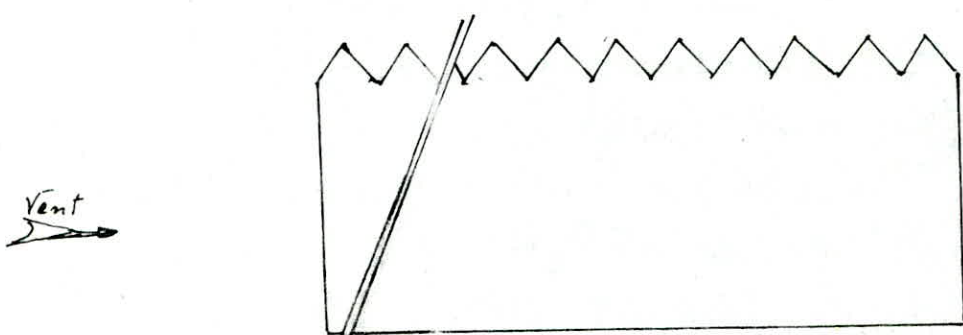
* Vent normal aux génératrices

D'après la figure R^{III} 7 NV65 On tire suivant la direction du vent les valeurs suivantes:

$$\alpha = 57,7^\circ ; \delta_s = 0,85 \longrightarrow C_e = +0,22 \text{ (au Vent)}$$

$$\alpha = 57,7^\circ ; \delta_s = 0,85 \longrightarrow C_e = -0,32 \text{ (Sous le Vent)}$$

Pour les toitures intermédiaires et l'avant dernier versant C_e est réduit de 25% (art 3,31 NV65)



* Vent parallèle aux génératrices:

$$C_e = -0,28 \text{ (tous les versants) fig R^{III} 6 NV65}$$

2) Parois Verticales:

- face au Vent : $C_e = +0,8$ $\neq \infty$
- face sous Vent : $C_e = -(1,3\infty - 0,8) = -0,3$.

Determination des actions intérieures C_i

Les parois ont une perméabilité $\mu < 5\%$ (construction fermée)

On applique simultanément sur les faces intérieures de tous les parois :

- Soit une surpression : $C_i = +0,6(1,8 - 1,3\infty) = +0,417$
- Soit une dépression : $C_i = -0,6(1,3\infty - 0,8) = -0,183$

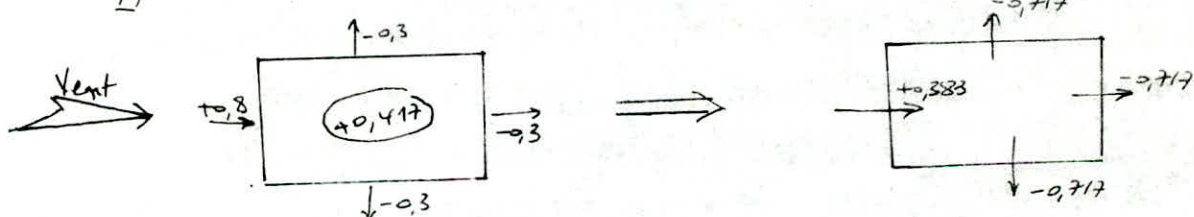
Si $C_i < 0,15$ on prend 0,15 pour une pression et -0,20 pour une succion (art 2, 14 NV 65)

donc $C_i = +0,417$ pour une pression
 $C_i = -0,20$ pour une succion.

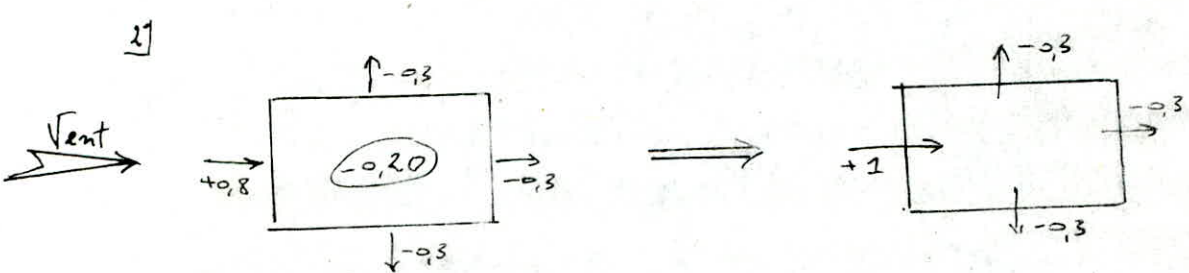
Determination des actions résultantes C

$C = C_e - C_i$ pour les deux directions du vent On a :

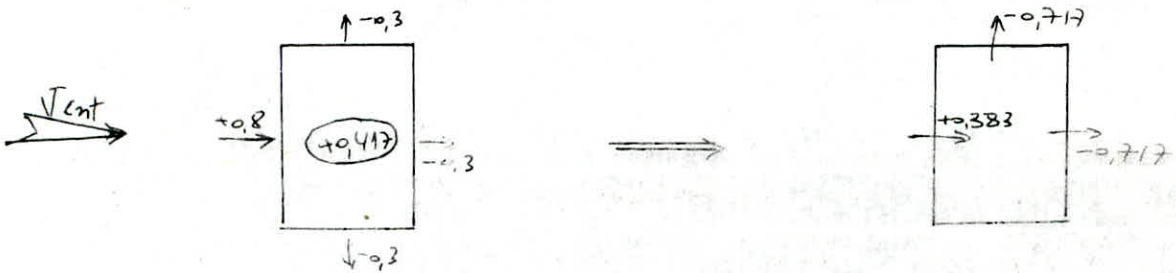
1)



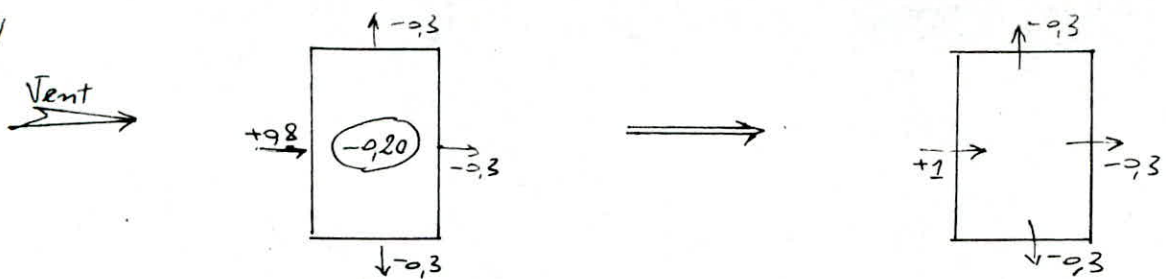
2)



3)



4)



Réultantes unitaires à retenir pour les calculs

Tableau récapitutif:

	grande face	petite face	Torsion (Cône M)
pression	+1,000	+1,000	+0,420
Succin	-0,717	-0,717	+0,727

Remarque: Si $|C| < 0,3$ On prend $|C|=0,3$
(Art 2, 153 NVG)

'HIL'L'L IDES' ELEMENTS'

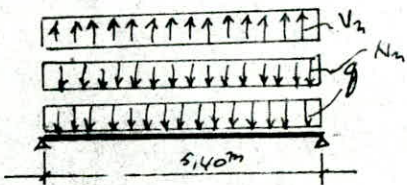
POUTRES ISOSTATIQUES

I Evaluation des charges

$$g = 570 \text{ dON / ml}$$

$$N_n = 378 \text{ dON / ml}$$

$$V_n = -394,7 \text{ dON / ml}$$



II Tableau des éléments de réduction.

Cas de charge	au milieu de la poutre		Extremité
	M (dON.m)	N (dON)	
- Charge per G"	+ 2077,65	0	+ 1539
- Neige N"	+ 1377,81	0	+ 1020,6
- Vent V"	- 2517,74	0	- 1865
$\frac{1}{3} G + \frac{3}{2} N_n$	+ 4837	0	+ 3582,9

III Dimensionnement de la poutre:

* Critère de déformabilité: $f = \frac{59l^4}{384EI} < \bar{f} = \frac{l}{200} \Rightarrow \frac{59l^2000}{384E}$

$$q = g + N_n = 948 \text{ dON / ml} \Rightarrow I \geq \frac{5 \cdot 948 (540)^2 200}{384 \cdot 2,1 \cdot 10^6} \cdot 10^{-2} = 1051,139 \text{ cm}^4$$

$$\Rightarrow \text{IPE 220} \left\{ \begin{array}{l} A = 33,4 \text{ cm}^2 \\ W_x = 252 \text{ cm}^3 \\ I_x = 2772 \text{ cm}^4 \end{array} \right.$$

IV vérification à la résistance:

$$\frac{M_{max}}{W_n} = \frac{483700}{252} = 1919,44 \text{ dON/cm}^2 < \sigma_{en}$$

V vérification au cisaillement:

$$\tau_{max} = \frac{T_{max}}{Aa}$$

$$Aa = (22 - 2 \cdot 0,92) \cdot 59 = 11,89 \text{ cm}^2$$

$$\Rightarrow \tau_{max} = \frac{3582,9}{11,89} = 301,22 \text{ dON/cm}^2 < \frac{\sigma_{en}}{1,54}$$

Remarque: L'instabilité des poutres (flambement, déversement) est empêchée par leur solidarisation avec la coque "M"

BARDAGE

Les parois en tôles nervurées (TN 40) ont besoin d'une squelette de résistance pour diminuer les dimensions de rectangles formés par des montants, poteau ou potelets et les lisses.

I LISSES:

$$e = 1,28 \text{ m entre axes des lisses}$$

$$P.P. \text{ des lisses} \dots \dots \dots 16 \text{ daN/m}$$

$$P.P. \text{ du bardage} \dots \dots \underline{10 \times 1,28 = 12,8 \text{ daN/m}}$$

$$G = 29 \text{ daN/m}$$

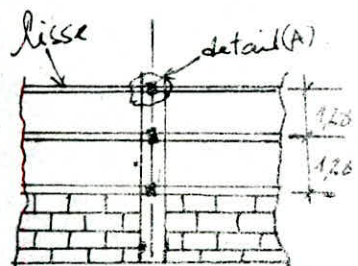
$$V_n = C Q e = 1,53 \cdot 1,28 = 17,84 \text{ daN/m}$$

I.1 Dimensionnement:

$$q_y = G = 29 \text{ daN/m}$$

Critère de déformabilité

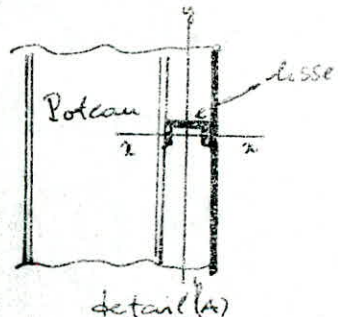
$$\frac{I_y}{g} \geq \frac{5 q_y l^4}{384 E f} = \frac{5 \cdot 29 (540)^4}{384 \cdot 2,1 \cdot 10^6 \cdot 2,7} 10^{-2} = 56,6 \text{ cm}^4 \Rightarrow \text{Soit un UPN 140.}$$



I.2 Vérification à la résistance:

$$q_y = \frac{q}{3} G = 38,67 \text{ daN/m} \Rightarrow M_y = 141 \text{ daN.m}$$

$$q_x = \sqrt{\frac{q}{e}} = 1,75 V_n = 118,72 \text{ daN/m} \Rightarrow M_x = 432,7 \text{ daN.m}$$



$$\Rightarrow \sigma = \frac{M_x}{W_x} + \frac{M_y}{W_y} = \frac{14100}{141,8} + \frac{4327}{86,4} = 1453,55 \text{ daN/cm}^2 < \sigma_{en}$$

I.3 La flèche:

$$f_x = \frac{5 q_x l^4}{384 E I_x} = 0,58 \text{ cm} < \bar{f} = 2,7 \text{ cm}$$

$$f_y = \frac{5 q_y l^4}{384 E I_y} = 2,43 \text{ cm} < \bar{f} = 2,7 \text{ cm}$$

$$f = \sqrt{f_x^2 + f_y^2} = 2,50 \text{ cm} < \bar{f} = 2,7 \text{ cm.}$$

POTEAUX SIMPLES

I Evaluation des charges:

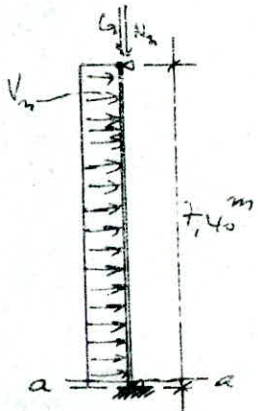
- * P.P du bardage ----- $10 \times 7,4 \times 5,4 = 400 \text{ dN}$
 - * P.P des lisses ----- $10 \times 6 \times 5,4 = 318,4 \text{ dN}$
 - * P.P du Poteau ----- $50 \times 7,4 = 370 \text{ dN}$
 - * P.P des Pontre ----- $26,2 \times 5,4 = 141,48 \text{ dN}$
 - * P.P de La Coque M° ----- $48 \times 5,4 \times 10,8 = 2800 \text{ dN}$
- $G = 4230 \text{ dN.}$

- Neige: $N_s = 35 \times 5,4 \times 10,8 = 2041,2 \text{ dN}$

- Vent: $V_n = 1 \cdot 53 \cdot 5,4 = 286,2 \text{ dN/m} \rightarrow (\text{pression})$
 $V_n = -0,753 \cdot 53 \cdot 5,4 = -200,34 \text{ dN/m} \rightarrow (\text{suction}).$

II Tableau des éléments de réduction:

Cas de charge	Section dangereuse (a-a)		
	M (dN.m)	N (dN)	T (dN)
Charges permanentes	0	4230	0
Neige N _s	0	2041,2	0
Vent V _n	1959,04	0	1323,27
$\frac{4}{3}G + \frac{1}{12}(V_n + V_s)$	2775,31	8532	1875,21



III Dimensionnement du poteau:

$$M_{\max} = 2775,31 \text{ dN.m}$$

$$N_{\cos} = 8532 \text{ dN}$$

$$A \geq \frac{N}{0,35 \epsilon_a} = \frac{8532}{0,3 \cdot 2400} = 11,85 \text{ cm}^2$$

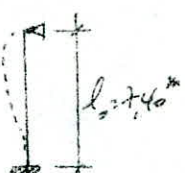
$$W_x \geq \frac{M}{0,7 \cdot \epsilon_a} = \frac{277531}{0,7 \cdot 2400} = 164,19 \text{ cm}^2$$

} \Rightarrow HEA 160 $\left\{ \begin{array}{l} A = 38,8 \text{ cm}^2 \\ W_x = 220 \text{ cm}^3 \end{array} \right.$

IV vérification à la stabilité:

Longueur de flambement:

$$l_f = l_y = 0,7 \cdot b = 0,7 \cdot 7,40 = 5,18 \text{ m.}$$



$$i_1 < i_2 \Rightarrow d_{max} = d_y = \frac{l_{eff}}{i_2} = \frac{518}{4,98} = 104 \Rightarrow f_c = 8,71 \Rightarrow \begin{cases} K_d = 1,0405 \\ K_f = 1,2092 \end{cases}$$

$$\Rightarrow K_d \cdot K_f \cdot \frac{\sigma_{max}}{f_c} = 1,0405 \cdot \frac{2532}{36,8} + 1,2092 \cdot \frac{27752}{22,0} = 1754,25 \text{ daN/cm}^2 < f_c$$

I Verification du déversement:

Pièce soumise à 2 moments différents aux extrémités

$$\Rightarrow l = l_0 ; \theta = 1 ; c = 2 \quad (\text{art } 3,62 \text{ CM66})$$

$$\text{HEA } 160 \Rightarrow D = 3,89$$

$$(\text{CM66 art } 3,61) \Rightarrow \sigma_d = \frac{\pi^2 E}{5,2} \cdot \frac{I_y}{I_x} \left(\frac{h}{D} \right)^2 (D-1) \cdot \theta \cdot c$$

$$= \frac{\pi^2 2,1 \cdot 16}{5,2} \cdot \frac{616}{1673} \left(\frac{15,2}{3,89} \right)^2 2,89 \cdot 2 \cdot 1 = 1787,5 \text{ daN/cm}^2$$

$$\Rightarrow d_e = \frac{l}{h} \sqrt{\frac{4}{3c} \cdot \frac{I_y}{I_x} \left(1 - \frac{D}{h} \right)^2} = 80,93 \Rightarrow K_d = 1,4 + 1$$

$$\Rightarrow K_d = \frac{K_a}{1 + \frac{I_d}{I_c} (K_a - 1)} = 1,0537$$

$$\frac{M_d}{M_u} = 0 \Rightarrow c = 2,88 \quad (\text{art } 3,642, 21 \text{ CM66})$$

$$\Rightarrow K_d = \frac{K_a}{c} + \frac{D-1}{5K_a} = 0,595 < 2 \text{ donc pas de risque de déversement}$$

II Verification de la flèche

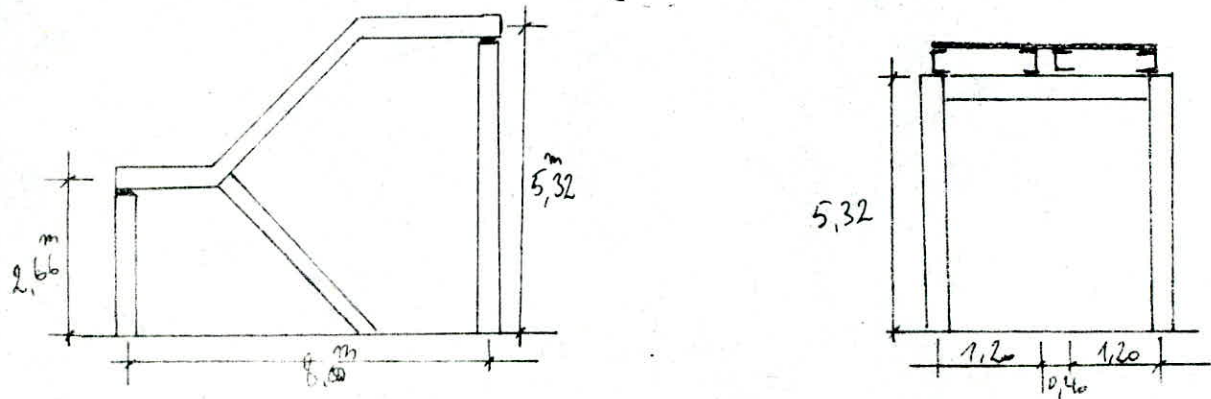
$$f = 0,0054 \cdot \frac{P l^4}{E I} \quad (\text{voir l'aidé memoire de RPM})$$

$$\Rightarrow f = 0,0054 \cdot \frac{286,2 \cdot (74,0)^4}{2,1 \cdot 10^6 \cdot 1673} \cdot 10^{-2} = 1,18 \text{ cm}$$

$$\text{et } f = \frac{l}{250} = \frac{74,0}{250} = 3,7 \text{ cm}$$

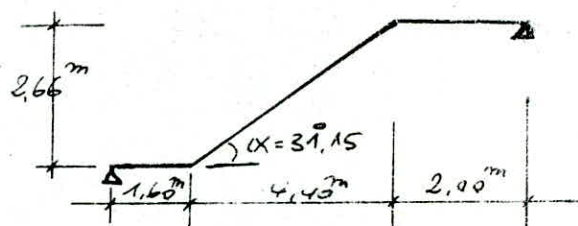
$$\Rightarrow f < f \rightarrow$$

LES ESCALIERS



* Schéma Statique:

- Largeur de la marche: $g = 27,5 \text{ cm}$
 - hauteur de la marche: $h = 17,33 \text{ cm}$



formule de BLONDEL: $0,59 \leq g + 2h \leq 0,62 \leq 0,66$; vérifiée.

I Evaluation des Charges:

P.P du profilé 15 ton/m²

P.P (du Volée ou parallastre) 145 ton/m²

$$\Rightarrow G_1 = 145 \times 0,80 + 15 = 131 \text{ ton/m}^2 \quad ; \quad P = 400 \text{ ton/m}^2$$

Volée pour 1 m de projection:

$$G_1 = \frac{G_1}{\cos \alpha} = 15,3 \text{ ton/m}^2 \quad ; \quad P = \frac{400 \cdot 0,8}{\cos \alpha} = 374 \text{ ton/m}^2$$

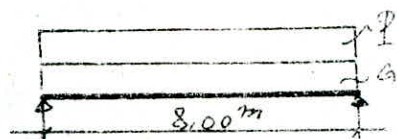
$$\Rightarrow q = G_1 + 1,2 P = 601,8 \text{ ton/m}^2$$

On suppose que toute la poutre est chargée par q

II Dimensionnement:

Critère de déformabilité:

$$q = G_1 + P = 527 \text{ ton/m}^2$$



$$I_x \geq \frac{59 \cdot 340}{384 E} = 5019 \text{ cm}^4$$

$$\Rightarrow U.P \sim 1,300 \quad \begin{cases} I_x = 8030 \text{ cm}^4 \\ W_x = 535 \text{ cm}^3 \end{cases}$$

III Verifications:

- Vérification à la résistance:

$$M_{max} = q \frac{l^2}{8} = 601,8 \frac{8^2}{8} = 4814,40 \text{ don.m}$$

$$\sigma = \frac{M}{W_x} = \frac{4814,40}{535} = 889,88 \text{ don/cm}^2 < \sigma_{en}$$

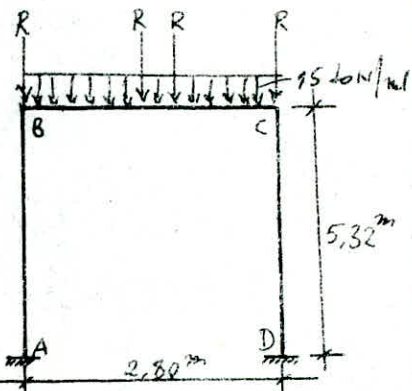
- Vérification au cisaillement:

$$T = q \frac{l}{2} = 2407,20 \text{ don.}$$

$$\tau_{max} = \frac{T_{max}}{A_a} = \frac{2407,20}{30} = 80,24 \text{ don/cm}^2 < \sigma_{en}$$

IV Cadre d'appui:

$R = 2407,20 \text{ don}$ (réaction d'appui des escaliers)



Pour la détermination des éléments de réduction et la flèche, on utilise le formulaire des cadres simples (KLEINLOGEL) et l'aide mémoire (RDM)

$$M_B = -1155,48 \text{ don.m}$$

$$M_A = +577,71 \text{ don.m}$$

$$M_C = +2224,19 \text{ don.m} \quad (\text{à mi-traversée})$$

$$V_A = 4828,04 \text{ don} \quad \text{et} \quad H_A = 325,77 \text{ don}$$

* Dimensionnement:

$$M_{max} = 2224,19 \text{ don.m} ; N = 325,77 \text{ don} \quad (\text{compt})$$

$$A \geq \frac{N}{0,3 \sigma_{en}} = 0,63 \text{ cm}^2$$

$$W_x \geq \frac{M_{max}}{0,7 \sigma_{en}} = 204,6 \text{ cm}^3$$

Soit un IPE 220 } $W_x = 252 \text{ cm}^3$
} $A = 33,4 \text{ cm}^2$

* Vérification à la stabilité:

$$J = \frac{l}{c_g} = \frac{0,5 \cdot 800}{2,48} = 161,3 \rightarrow \left\{ \begin{array}{l} K_1 = 1,0058 \\ K_f = 1,0299 \end{array} \right.$$

$$\Rightarrow K_2 \frac{N}{A} + K_f \frac{M}{W_x} = 918,81 \text{ don/cm}^2 < \sigma_{en}$$

Poteau (IPE 220): $M = 1150,42 \text{ donN.m}$; $N = 4828,04 \text{ abN}$

* Vérification à la stabilité

$$\begin{aligned} \gamma_y &= \frac{532/2}{2,48} = 107,25 \Rightarrow \begin{cases} K_1 = 1,0442 \\ K_f = 1,2284 \end{cases} \\ &\Rightarrow 1,0442 \frac{4828,04}{33,4} + 1,2284 \frac{115042}{252} = 711,72 \text{ abN/cm}^2 < \sigma_{es} \end{aligned}$$

* Vérification au déversement:

Pièce soumise à 2 moments différents aux extrémités

$$\Rightarrow l = l_0, B = 1, C = 1 \text{ (art 3,62 CM66)}$$

$$IPE 220 \Rightarrow D = 1,422.$$

$$(\text{CM66, art 3,61}) \Rightarrow \sigma_d = \frac{\pi^2 E}{5,2} \cdot \frac{I_x}{I_y} \left(\frac{h}{l} \right)^2 (D-1) \cdot B \cdot C = 212,72 \text{ abN/cm}^2$$

$$\Rightarrow \sigma_d = \frac{l}{h} \sqrt{\frac{4}{BC} \cdot \frac{I_x}{I_y} \left(1 - \frac{\sigma_d}{\sigma_e} \right)^2} = 169,8 \xrightarrow{\text{CM66}} K_d = 4,62$$

$$\Rightarrow K_d = \frac{K_o}{1 + \frac{\sigma_d}{\sigma_e} (K_o - 1)} = 3,498$$

$$\begin{aligned} M_w &= -1150,42 \text{ donN.m} \\ M_e &= +577,71 \text{ donN.m} \end{aligned} \Rightarrow \frac{M_e}{M_w} = -0,5 \xrightarrow{\text{page 92}} C = 2,71$$

$$\Rightarrow K_d = \frac{K_o}{C} + \frac{C-1}{5K_o} = 1,388$$

$$\Rightarrow K_1 \sigma + K_f K_f \sigma_f = 797,98 \text{ abN/cm}^2 < \sigma_{es}$$

pas de risque de
déversement

* Vérification de la flèche:

On calcule la flèche à mi-traverse.

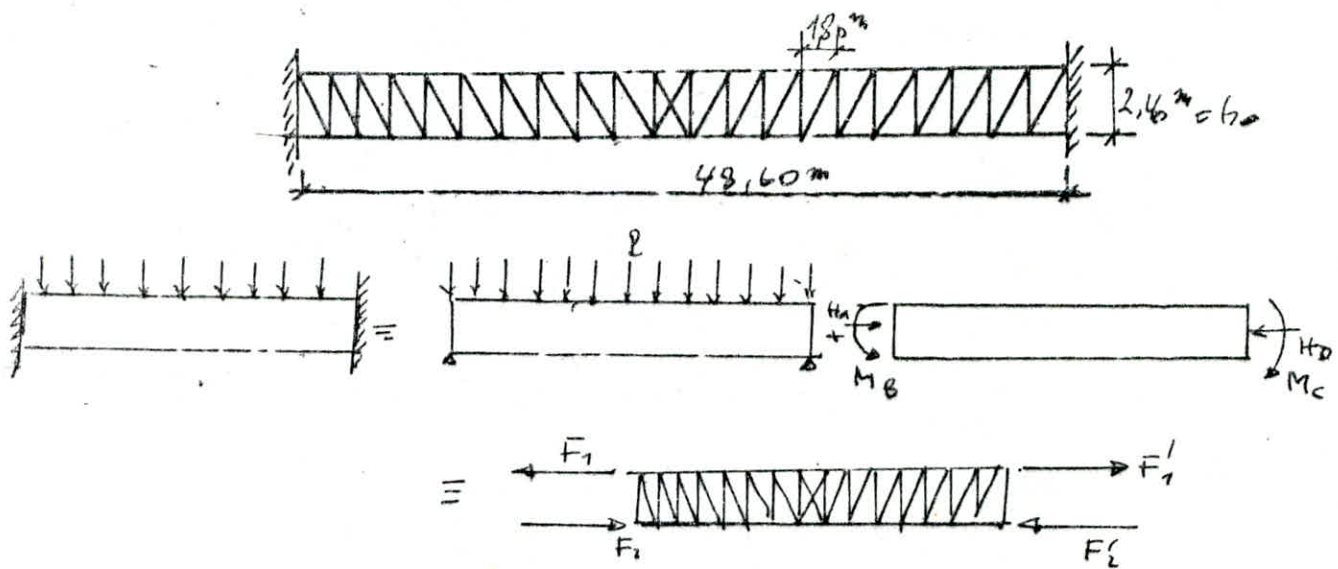
$$f = \frac{1}{EI} \int M(x) dx = 0,14 \text{ cm} < \bar{f} = \frac{l}{300} = 0,93 \text{ cm}$$

Donc: - Poutre sous pâillasse et sous palier UPN 300

- Cadre d'appuis IPE 220.

ETUDE IDE LI POLYURE
IN TREILLIS

POUTRE À TREILLIS



I Evaluation des charges et surcharges

$$\left. \begin{array}{l} V = 75,13 \text{ daN/mm} \\ N = 10,8 \cdot 85 = 378 \text{ daN/mm} \\ P = 250 + 10,8 \cdot 48 = 768,4 \text{ daN/mm} \end{array} \right\} \Rightarrow \text{La combinaison la plus favorable}$$

$$\Rightarrow f_1 = \frac{4}{3} S + \frac{17}{12} (V_u + N_u) = 1666,66 \text{ daN/mm}$$

$$\Rightarrow P = 1,8 f_1 = 3000 \text{ daN}$$

$$\left. \begin{array}{l} M_B = M_C = - \frac{6 f_1}{6 K + 2} = - 216,3 f_1 \\ H_A = H_D = 35,92 f_1 \end{array} \right\} \Rightarrow \begin{array}{l} F_1 = F'_1 = \frac{M_B}{h} - \frac{H_A}{2} = 120233 \text{ daN} = 40 P \\ F_2 = F'_2 = \frac{M_B}{h} + \frac{H_A}{2} = 180099 \text{ daN} = 60 P \end{array}$$

III Calcul des efforts internes de les barres:

Comme hypothèse simplificatrice, on considère les barres articulées aux noeuds de cette façon la forme est intérieurement icostatique. La méthode utilisée est la méthode graphique de "CRÉMONA". Chaque noeud sera en équilibre sous l'action des barres y aboutissant. Au lieu d'écrire les équations d'équilibre d'un noeud, on construit le polygone fermé des forces - action de contact des barres sur les noeuds.

Les résultats de l'étude graphique de "CRÉMONA" sont donnés dans le tableau qui suit en respectant la convention de signe

Suivante: (-): compression ; (+) traction.

Entrant	$N(P)$	$N(\text{d}oN)$
e_1	-40,00	-120 000
e_2	-39,25	-90 750
e_3	-29,25	-63 750
e_4	-13,00	-39 000
e_5	-5,50	-16 500
e_6	+1,25	+3750
e_7	+7,25	+21750
e_8	+12,50	+37500
e_9	+17,00	+51000
e_{10}	+20,75	+62250
e_{11}	+23,75	+71250
e_{12}	+26,00	+78000
e_{13}	+27,50	+82500
e_{14}	+28,25	+84750

Abaletrier	$N(P)$	$N(\text{d}oN)$
a_1	+39,25	+120 000
a_2	+29,25	+63 750
a_3	+13,00	+39 000
a_4	+5,50	+16 500
a_5	-1,25	-3750
a_6	-7,25	-21750
a_7	-12,50	-37500
a_8	-17,00	-51000
a_9	-20,75	-62250
a_{10}	-23,75	-71250
a_{11}	-26,00	-78000
a_{12}	-27,50	-82500
a_{13}	-28,25	-84750
a_{14}	-28,25	-84750

Montant	$N(P)$	$N(\text{d}oN)$
m_1	-13,5	-40 500
m_2	-13	-39 000
m_3	-12	-36 000
m_4	-11	-33 000
m_5	-10	-30 000
m_6	-9	-27 000
m_7	-8	-24 000
m_8	-7	-21 000
m_9	-6	-18 000
m_{10}	-5	-15 000
m_{11}	-4	-12 000
m_{12}	-3	-9 000
m_{13}	-2	-6 000
m_{14}	-1	-3 000
m_{15}	0	0

diagonale	$N(P)$	$N(\text{d}oN)$
d_1	+16,25	+48 750
d_2	+15,00	+45 000
d_3	+13,75	+41 250
d_4	+12,50	+37 500
d_5	+11,25	+33 750
d_6	+10,00	+30 000
d_7	+8,75	+26 250
d_8	+7,50	+22 500
d_9	+6,25	+18 750
d_{10}	+5,00	+15 000
d_{11}	+3,75	+11 250
d_{12}	+2,50	+7 500
d_{13}	+1,25	+3 750
d_{14}	+0	0

IV Dimensionnement des barres:

Le dimensionnement se fera selon chaque type de barre la plus sollicité. On utilisera des doubles, cornières reliées par des fourreaux (plats) à des distances régulières pour les diagonales et les montants et on utilisera des profils (\square) pour les entrées et les arbalétriers.

4.1 Arbalétrier: $N_{max}^c = -84750 \text{ daN}$ (compression)
 $N_{max}^t = +90750 \text{ daN}$ (traction).

$$l_0 = 1,80 \text{ m} \Rightarrow \begin{cases} l_{fx} = 3l_0 = 5,40 \text{ m} \\ l_{fy} = 0,9l_0 = 1,62 \text{ m} \end{cases} \quad \begin{array}{l} (\text{Le plan de La}) \\ (\text{ferme est Le}) \\ (\text{plan Y-Y}) \end{array}$$

* On dimensionnera cette barre d'après le critère de résistance

$$A \geq \frac{N^t}{\sigma_{en}} = \frac{80750}{2950} = 27,26 \text{ cm}^2 \Rightarrow \text{tube, carré } \square 200,8$$

dont les caractéristiques sont: $\begin{cases} l_x = l_y = 7,769 \text{ cm} \\ A = 59,46 \text{ cm}^2 \end{cases}$

* Vérification à la stabilité.

$$\begin{cases} \frac{l_x}{7,769} = 69,50 \\ \frac{l_y}{7,769} = 20,85 \end{cases} \Rightarrow \Delta = \max(l_x, l_y) = 69,50 \rightarrow K = 1,296$$

$$\Rightarrow K \frac{N}{A} = 1,296 \frac{84750}{59,46} = 1846 \text{ daN/cm}^2 < \sigma_{en}$$

4.2 diagonale: $N_{max} = +48750 \text{ daN}$

$$l_0 = 3,00 \text{ m} \Rightarrow \begin{cases} l_{fx} = l_0 = 3,00 \text{ m} \\ l_{fy} = 0,8l_0 = 2,40 \text{ m} \end{cases}$$

On dimensionnera la barre d'après le critère de résistance.

$$A \geq \frac{N}{\sigma_{en}} = \frac{48750}{2400} = 20,21 \text{ cm}^2 \Rightarrow \text{d'en JL 80-90-8 dont les caractéristiques sont:}$$

$$\begin{cases} l_x = 2,43 \text{ cm} \\ l_y = 3,60 \text{ cm} \end{cases}$$

Vérification de l'élançement (stabilité)

$$d = d_n = 125 < d_{lim} = 350 \Rightarrow \text{barre stable.}$$

$$4.3 \text{ Entrant: } N_{max} = -120\,000 \text{ daN (Compression)}$$

$$N_{max} = +84\,750 \text{ daN (Traction)}$$

$$l_0 = 1,80 \text{ m} \Rightarrow \begin{cases} l_{f_x} = 3l_0 = 5,40 \text{ m} \\ l_{f_y} = 2,9l_0 = 4,62 \text{ m} \end{cases}$$

* On dimensionnera la barre d'après le critère de résistance

$$A \geq \frac{N}{\sigma_{ec}} = \frac{84\,750}{2950} = 28,72 \text{ cm}^2 \Rightarrow \square 200-8 \text{ dont les caractéristiques}$$

$$\text{sont } \begin{cases} i_x = i_y = 7,769 \text{ cm} \\ A = 59,46 \text{ cm}^2 \end{cases}$$

* Vérification à la stabilité:

$$d = \max(d_x, d_y) = d_x = \frac{540}{7,769} = 69,50 \rightarrow K = 1,296$$

$$\Rightarrow K \frac{N}{A} = 1,296 \cdot \frac{120\,000}{59,46} = 2615,5 \text{ daN/cm}^2 < \sigma_{ec} = 2950$$

$$4.4 \text{ Montant, } N_{max} = -40\,500 \text{ daN (Compression)}.$$

On dimensionnera cette barre par le critère de la stabilité

$$? d: 150 \rightarrow K = 1,894 \Rightarrow A_{rec} = K \frac{N}{\sigma_{ec}} = 31,96 \text{ cm}^2 \Rightarrow \square 100-107-10$$

$$\begin{cases} i_y = 4,43 \text{ cm} \\ i_x = 3,04 \text{ cm} \\ A = 38,3 \text{ cm}^2 \end{cases}$$

* Vérification du critère d'élançement:

$$\begin{aligned} d_x &= \frac{l_{fx}}{i_x} = \frac{240}{3,04} = 78,9 \\ d_y &= \frac{l_{fy}}{i_y} = \frac{192}{4,43} = 43,34 \end{aligned} \Rightarrow d = 78,9 < d_{lim} = 150$$

* vérification du critère de la stabilité:

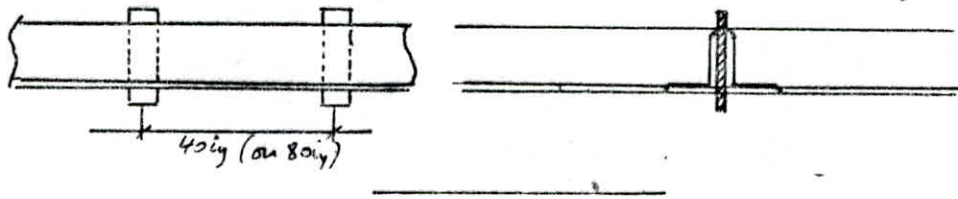
$$d_x = 78,9 \rightarrow K = 1,436$$

$$\Rightarrow 1,436 \cdot \frac{40\,500}{38,3} = 1578,48 \text{ daN/cm}^2 < \sigma_{ec}$$

• Pour que les doubles cornières forment un ensemble unitaire, on les réunit de place en place, afin d'éviter le flambage local. Cela se fait en interposant des fourreaux entre les cornières. Les distances entre ces fourreaux sont:

* pour les montants $\rightarrow 40i_y = 1,772 \text{ m}$.

* pour les diagonales $\rightarrow 80i_y = 2,88 \text{ m}$.



VI Déformation de la ferme:

Comme toute autre élément de la toiture, la ferme doit être vérifiée à la déformation $f \leq \bar{f} = \frac{l}{200}$ (CM66 art 5,253). La flèche réelle f , calcul sous les charges et surcharges normales non pondérées au milieu de la portée de la ferme. On utilisera la formule de "CASTIGLIANO" donnée par:

$$f = \frac{1}{\epsilon} \sum_{i=1}^n \frac{N_i \bar{N}_i \cdot l_i}{S_i}$$

N_i : effort normal interne de la barre i dû aux charges et surcharges normales non pondérées.

\bar{N}_i : effort interne dû à une charge unitaire appliquée au milieu de la portée de la ferme et dans le sens de la flèche.

l_i : longueur de la barre i .

S_i : la section de la barre i .

D'après l'étude graphique de "CRÉMONA" on a:

* pour les montants: $\bar{N}_i = 0,5 \cdot P$

* pour les diagonales: $\bar{N}_i = 0,625 \cdot F_i$

* pour les entrainets et les arbalétriers les valeurs de \bar{N}_i sont données par le tableau suivant:

Arbeitsrichter	Entraut	N_i (dAN)	\bar{N}_i (dAN)	$N_i \cdot \bar{N}_i$
	e_1	- 87 920	- 3,000	+ 263 760
a_1	e_2	- 66 489,5	+ 2,625	+ 174 535
a_2	e_3	- 46 707,5	- 2,250	+ 105 092
a_3	e_4	- 28 574	- 1,875	+ 53 576
a_4	e_5	- 12 089	- 1,500	+ 18 133
a_5	e_6	+ 2747,5	- 1,125	- 30 91
a_6	e_7	+ 15 935,5	- 0,750	- 11 952
a_7	e_8	+ 27475	- 0,375	- 10 303
a_8	e_9	+ 37 366	- 0,000	0,000
a_9	e_{10}	+ 45 608,5	+ 0,375	+ 17 13
a_{10}	e_{11}	+ 52 202,5	+ 0,750	+ 39 152
a_{11}	e_{12}	+ 57 148	+ 1,125	+ 64 291
a_{12}	e_{13}	+ 60 445	+ 1,500	+ 90 667
$a_{13} - a_{14}$	e_{14}	+ 69 093,5	+ 1,875	+ 116 425

$$\Rightarrow \sum N_i \cdot \bar{N}_i = + 917 338 \text{ dAN} \quad (\text{pour les entrants})$$

$$\sum N_i \cdot \bar{N}_o = + 770 053 \text{ dAN} \quad (\text{pour les arbeitsrichter})$$

$$\text{et } \sum N_i = 250 022,5 \quad (\text{diagonales})$$

$$\sum N_o = 229 691 \quad (\text{montants}).$$

$$\Rightarrow f = \frac{1}{E} \sum_{i=1}^n \frac{N_i \cdot \bar{N}_i \cdot l_i}{S_i}$$

$$= \frac{2}{E} \left[\left(\frac{\bar{N}_i l_i}{S_i} \sum_{i=1}^n N_i + \frac{\bar{N}_i l_i}{S_i} \sum_{i=1}^n N_i \right) + l_i \cdot \frac{(\sum N_i \bar{N}_i + \sum N_i \bar{N}_i)}{\sum S_i} \right]$$

$$= \frac{2}{E} \left[\left(\frac{0,5 \cdot 2,40}{34,6} 229 691 + \frac{0,625 \cdot 3,00}{24,54} \cdot 250 022,5 \right) + \frac{1,80}{59,46} \cdot (917 338 + 770 053) \right]$$

$$= 5,55 \text{ cm}$$

$$\Rightarrow f = 5,55 \text{ cm} < \bar{f} = \frac{l}{200} = 24,3 \text{ cm}$$

ETUDE SUR S'EIS'ME

ETUDE AU SEISME

L'étude au séisme est basé sur les règles parasiéniques Algériennes (RPA81), qui sont applicable à toutes les constructions courantes de configuration simples.

Principe de Calcul.

Méthode Statique. Le règlement parasiénique Algérien permet sous des conditions (Art 2-3 RPA81) de calculer la structure par une méthode pseudo-dynamique qui consiste à considérer la structure comme soumise à un effort tranchant V à sa base, la valeur de cet effort étant fonction de cinq paramètres.

$$V = ABDQW$$

Determination des Coefficients

- A: coefficient d'accélération de zone (art 3.3.11; RPA81)
- Construction sportive \rightarrow Groupe d'usage 2
 - Lieu d'implantation AIN DEFLA \rightarrow Zone III
 - $\Rightarrow A = 0,25$ (tableau RPA81)

B: facteur d'amplification dynamique:

La valeur de D sera déterminée après le type de sol en fonction de la période, T , du bâtiment.

$$\begin{aligned} \text{* La baie: } (43,6, 44,7, 9,032) &\Rightarrow \begin{cases} T_1 = 0,4466 \rightarrow D_L = 4,14 \\ T_6 = 0,1216 \rightarrow D_L = 4,05 \end{cases} \\ & \text{La baie: } (43,6, 44,7, 9,032) \Rightarrow \begin{cases} T_1 = 0,4466 \rightarrow D_L = 4,14 \\ T_6 = 0,1216 \rightarrow D_L = 4,05 \end{cases} \end{aligned}$$

$$\begin{aligned} \text{* Turbine: } (40,3, 8,175,32) &\Rightarrow \begin{cases} T_1 = 0,0752 \rightarrow D_L = 5,45 \\ T_6 = 0,1682 \rightarrow D_L = 3,45 \end{cases} \end{aligned}$$

B: facteur de comportement de la structure

Notre ossature est contreventée par potelets du sens et de l'autre sens par des portiques autostabiles et des potelets
 $\Rightarrow \beta = 0,25$ (Tableau 3.2 RPA 81)

Q: facteur de qualité:

$$Q = 1 + \sum_{i=1}^6 \frac{f_i}{f_{i,c}} \quad \text{avec } 1 \leq Q \leq 1,6$$

* Salle $\Rightarrow Q_L = Q_e = 1,3$

* Tribune $\Rightarrow Q_L = 1,2$ et $Q_e = 1,3$

V: Poids de la structure:

* Salle (W_s): Poids de la toiture $= 1125,07 \text{ kN}$

Poids des poteaux composés $= 10\ 850 \text{ kN}$

Poids des poteaux Simple $= 7198,76 \text{ kN}$

Poids des pontres isostatiques $= 3583,44 \text{ kN}$

Barafage $= 20\ 400 \text{ kN}$

$$W_s = 167\ 058,16 \text{ kN}$$

* Tribune (W_t): Portiques $= 12514,08 \text{ kN}$

gradins $= 29524,50 \text{ kN}$

Barafage $= 6480,00 \text{ kN}$

Pontres isostatiques $= 1109,60 \text{ kN}$

50% de la Surcharge Step $= 65\ 610,00 \text{ kN}$

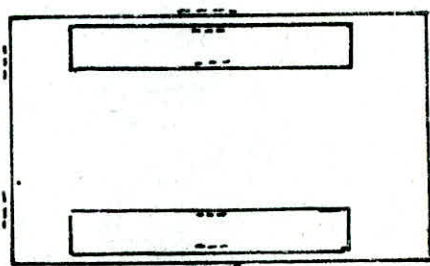
$$W_t = 145\ 338,18 \text{ kN}$$

Tableau des facteurs de $\frac{F_u}{F_r}$ pour la structure de la Salle et les tribunes:

	Sens	$A/B/D/Q$	Poids (kN)	F_u/F_r (kN)
Salle	L	0,8364	167 058,16	56 194,52
	T	0,3286	167 058,16	54 972,92
Tribune	L	0,3862	145 338,18	44 549,3
	T	0,2803	145 338,18	32 330,73

Calcul des centres de masse et de torsion:

Par raison de symétrie des portiques et des piliers de stabilité le centre de torsion des 2 piliers coincide avec le centre de masse



Donc il faut tenir compte d'une excentricité accidentelle dans les 2 piliers (RPA81 art 3.3.3)

$$e = 0,05 l \quad l: \text{la plus grande dimension du bâtiment.}$$

$$\Rightarrow \begin{cases} \text{pour la Salle: } e = 2,43 \text{ m} \\ \text{pour les tribunes: } e = 1,89 \text{ m} \end{cases}$$

Distribution des efforts sismiques sur les piliers:

* Mode de distribution:

$$R_x = F_K^x I_{y_0} \left(\frac{1}{\sum_{j=1}^q I_{y_j}} + \frac{e y_i}{\sum_{j=1}^q I_{y_j} x_j} \right)$$

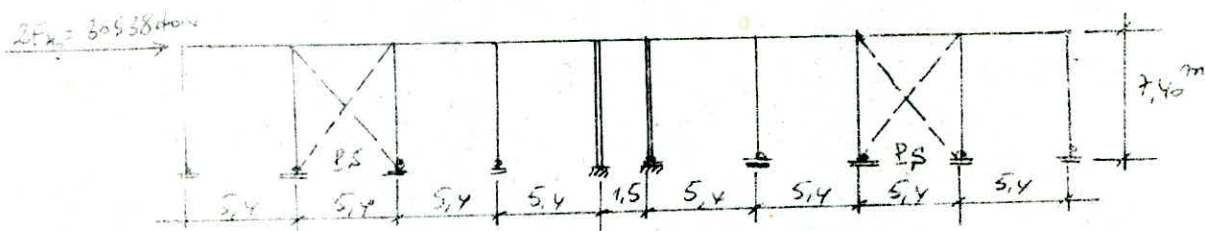
$$R_y = F_K^y I_{x_0} \left(\frac{1}{\sum_{j=1}^q I_{x_j}} + \frac{e x_i}{\sum_{j=1}^q I_{x_j} y_j} \right)$$

* Application

$$\text{La Salle: } e = 2,43 \text{ m}$$

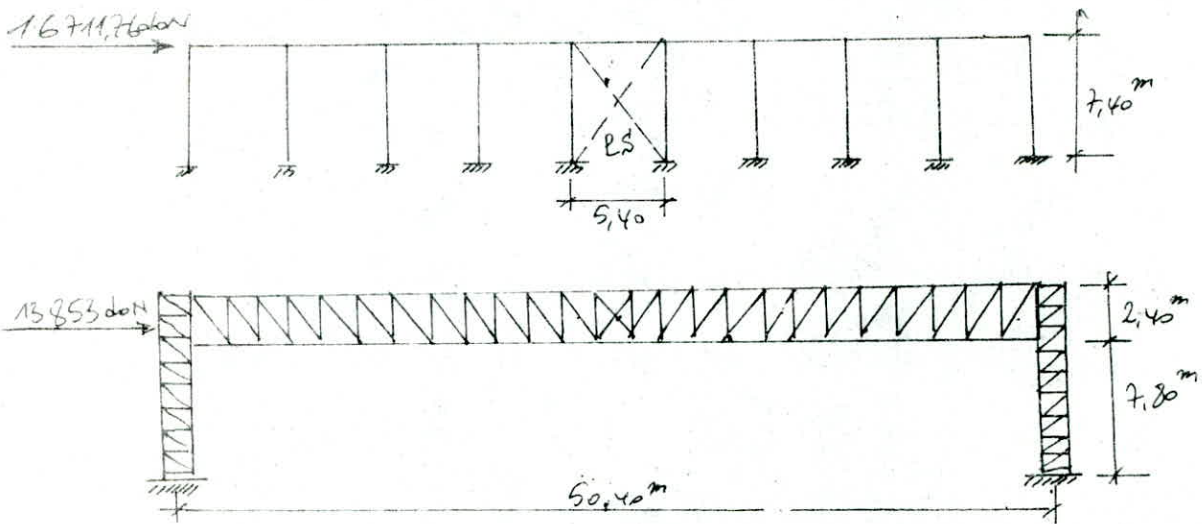
$$\text{du pilier longitudinal: } F_{x_0} = F_K \frac{1}{2} \left(1 + \frac{e}{x_j} \right) = 0,275 F_K$$

$$\Rightarrow F_{x_0} = 0,275 \cdot 56194,52 = 15269 \text{ ton}$$



$$\text{du sens trans: } F_{y_0} = 0,304 F_K = 16711,76 \text{ ton}$$

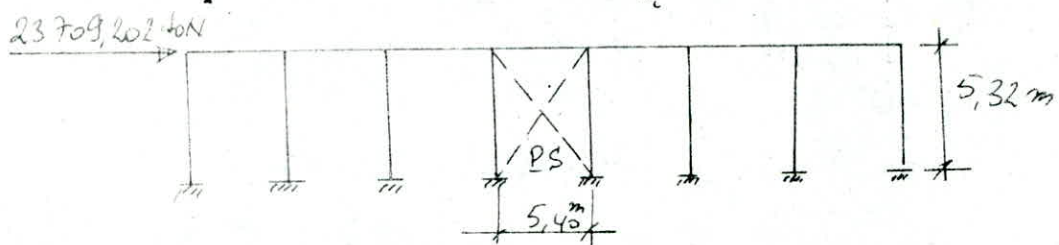
$$F_{y_0} = 0,252 F_K = 13853 \text{ ton.}$$



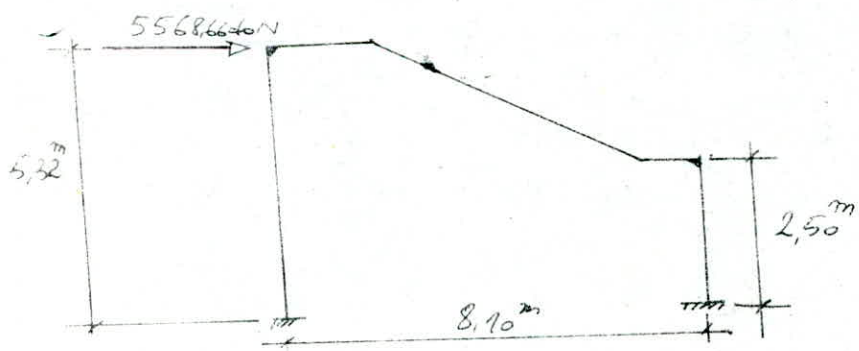
* Travers (L = 1,85m)

$$\text{du le sens trans: } F_{x_i} = \bar{F}_K^u \frac{1}{2} \left(1 + \frac{e}{y_i}\right) = 0,733 \bar{F}_K^u$$

$$\Rightarrow F_{x_i} = 23709,202 \text{ ton}$$

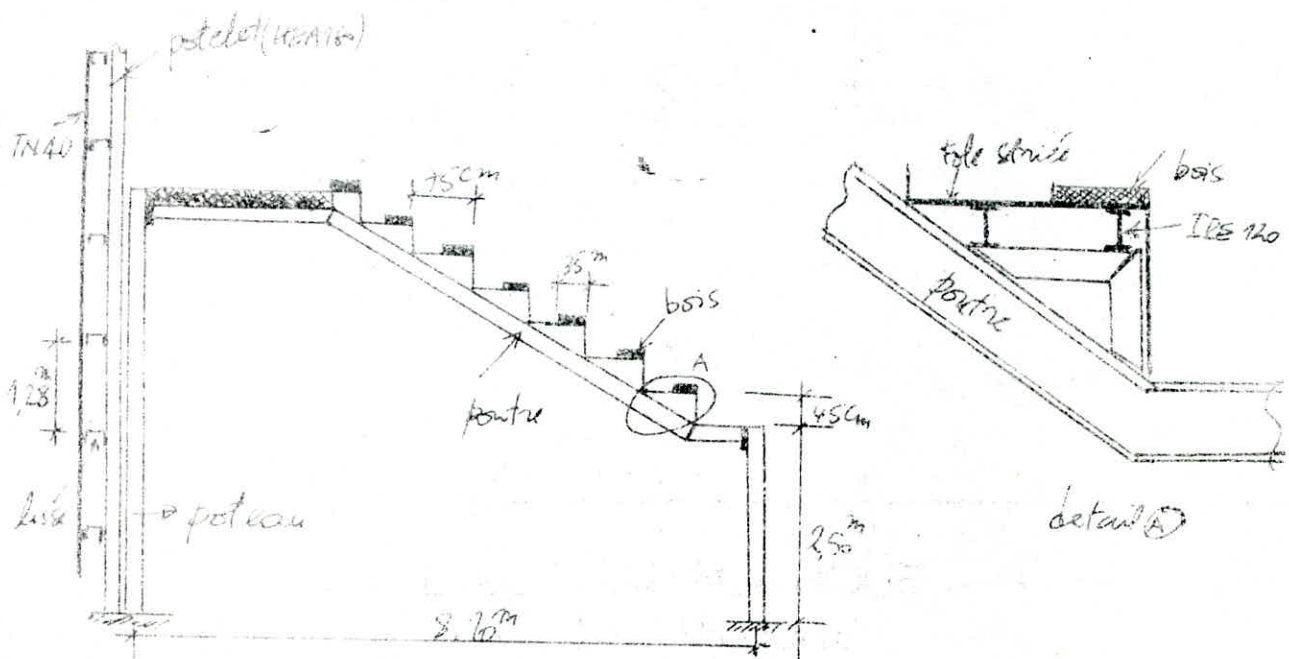


$$\text{et du le sens Longitudinale: } F_{y_i} = \frac{\bar{F}_K^y}{8} = 5568,66 \text{ ton}$$



ETUDE DES PROPRIÉTÉS

ETUDE DU PORTIQUE DE LA TRIBUNE



Evaluation des charges et surcharges:

* Poids propre des gradins + portes = 90 daN/m^2

$$\Rightarrow g = 5,4 \cdot 90 = 486 \text{ daN/m}^2$$

* Surcharge d'exploitation $\Omega = 500 \text{ daN/m}^2$

$$\Rightarrow p = 5,4 \cdot 500 = 2700 \text{ daN}$$

Pour la détermination

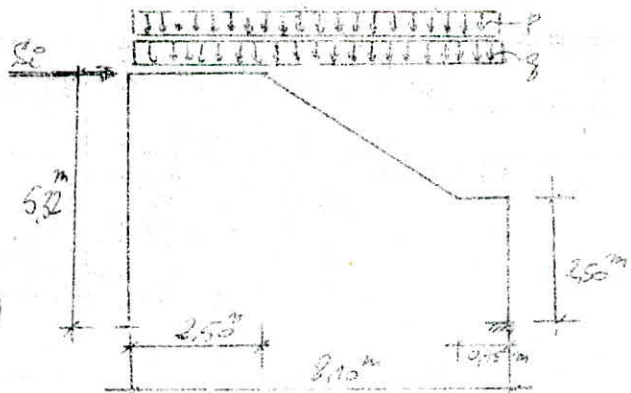
des éléments de réduction

et de flexion, on utilise $5,3$

le formantaine des cadres

simples (LES 1A10 GSI)

et l'outil memoire (RDM).



On obtient les taillages suivants:

II Tableau des éléments de réduction:

	Section a-a			Section b-b			Section t-t	
	M (ton.m)	N (ton)	T (ton)	M (ton.m)	N (ton)	T (ton)	M (ton.m)	N (ton)
- charges permanentes G		+ 999	+ 2404,5					
Surcharges d'exploitation Q	+ 8883,33	+ 5549,7	+ 10935					
Seisme S	+ 146928	3129,54	563,3	+ 5913,05	- 11099,4	- 1998	+ 146928	1968,3
							2484,33	3129,54
							0	+ 11044
								+ 2784,33 + 3129,54 + 563,3

III Les combinaisons les plus défavorables:

* Poteau:

	Section a-a		Section b-b		Tmax
	M (ton.m)	N (ton)	M (ton.m)	N (ton)	(ton)
Efforts combinés					
$\frac{4}{3}G + \frac{3}{2}Q$	+ 9656,55	+ 19608,5	- 19313,10	+ 19026,50	5445,39
$G + Q \pm 1,2 S_c$	+ 17208,69	+ 15098	- 20193,06	+ 14655,68	7034,04

* Poutre:

	Section(t-t)		Section(b-b)		Tmax
	M (ton.m)	N (ton)	M (ton.m)	N (ton)	(ton)
Efforts combinés					
$\frac{4}{3}G + \frac{3}{2}Q$	+ 19216,66	+ 5445,39	- 19313,10	+ 19026,5	5445,39
$G + Q \pm S_c$	+ 13032	+ 6477,17	- 19010,45	+ 14363,6	6477,17

IV Verifications:

VI.1 Poteau:

* Efforts: $M_{max} = 20193,06 \text{ daN.m}$

$$N_{con} = 14655,65 \text{ daN}$$

$$T_{max} = 7034,04 \text{ daN}$$

poteau HEB 260

* Verification à la stabilité:

$$\ell_p = \frac{\ell_m}{2} = \frac{5,32}{2} = 2,66 \text{ m}$$

$$\ell_p = \frac{5 + 8 \frac{I_m l_t}{I_t l_m}}{5 + \frac{I_m l_t}{I_t l_m}} \quad l_m = 1,233 \quad l_m = 6,56 \text{ m}$$

$$\left. \begin{array}{l} \lambda_x = \frac{l_{fx}}{l_x} = \frac{6,56}{11,2} = 58,57 \\ \lambda_y = \frac{l_{fy}}{l_y} = \frac{2,66}{6,56} = 40,42 \end{array} \right\} \Rightarrow \lambda = \lambda_x = 58,57 \rightarrow \mu = 48,16$$

$$\Rightarrow \left\{ \begin{array}{l} K_f = \frac{\mu - 1}{\mu - 1,6} = 1,0064 \\ K_f = \frac{\mu + 0,25}{\mu - 1,6} = 1,0331 \quad (\text{Mt variant linéairement}) \end{array} \right.$$

$$\Rightarrow 1,0064 \frac{14655,65}{118,14} + 1,0331 \frac{20193,06}{1150} = 1938,88 \text{ daN/cm}^2 < \sigma_{er}$$

* Verification au déversement

- vérification préliminaire.

$$\lambda = \frac{3,5 l_{fy}}{b} = \frac{3,5 \cdot 2,66}{26} = 35,8 \longrightarrow K = 1,052$$

$$\Rightarrow 1,052 \left(\frac{14655,65}{118,14} + \frac{20193,06}{1150} \right) = 1982,30 \text{ daN/cm}^2 < \sigma_{er}$$

donc pas le risque de déversement.

* Vérification au cisaillement:

$$T_{\max} = 7034,04 \text{ daN}$$

$$\sigma_{\max} = \frac{T_{\max}}{A_a} = \frac{7034,04}{(26 - 2 \cdot 1,75) \cdot 1} = 312,624 \text{ daN/cm}^2 < \frac{\sigma_{cr}}{1,54}$$

II 2. Poutre:

* Efforts: $M_{max} = 19313,10 \text{ daN.m}$

$$N = 19026,50 \text{ daN}$$

$$T_{\max} = 6477,17 \text{ daN}$$

poutre HEB 260.

* Vérification à la stabilité:

$$l_x = l_y = \frac{l_0}{2} = \frac{8,10}{2} = 4,05 \text{ m}$$

$$\begin{aligned} d_x &= \frac{4,05}{11,2} = 36,16 \\ d_y &= \frac{4,05}{6,58} = 61,55 \end{aligned} \quad \left. \begin{array}{l} \rightarrow d = d_y = 61,55 \\ \rightarrow K = 1,206 \end{array} \right.$$

$$\begin{aligned} \text{formule enveloppe: } &\frac{3}{8}(K\sigma + \sigma_f) \\ &= \frac{3}{8} \left(1,206 \cdot \frac{19026,50}{118,4} + \frac{19313,10}{1150} \right) = 2107,35 \text{ daN/cm}^2 < \sigma_{cr} \end{aligned}$$

* Vérification au renversement:

- Vérification préliminaire:

$$d = \frac{3,5 \cdot l_f y}{b} = \frac{3,5 \cdot 4,05}{26} = 54,52 \quad \rightarrow K = 1,148$$

$$\Rightarrow K(\sigma + \sigma_f) = 1,148 \left(\frac{19026,50}{118,4} + \frac{19313,10}{1150} \right) = 2112,43 \text{ daN/cm}^2 < \sigma_{cr}$$

pas de risque de renversement.

* Vérification au cisaillement:

$$T_{\max} = 6477,17 \text{ daN.}$$

$$\Rightarrow \sigma_{\max} = \frac{T_{\max}}{A_a} = \frac{6477,17}{(26 - 2 \cdot 1,75) \cdot 1} = 287,87 \text{ daN/cm}^2 < \frac{\sigma_{cr}}{1,54}$$

* Vérification de la flèche:

$$q = g + p = 486 + 2700 = 3186 \text{ daN/m}$$

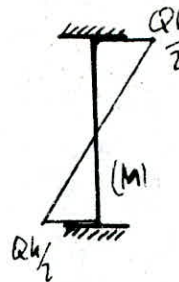
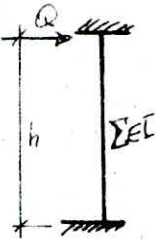
$$f = \frac{ql^4}{384EI} = \frac{3186 (810)^4 \cdot 10^{-2}}{384 \cdot 2.1 \cdot 10^6 \cdot 14920} = 1.119 \text{ cm} < \bar{f} = \frac{l}{300} = 2.7 \text{ cm}$$

$$f = \frac{pl^4}{384EI} = \frac{2700 (810)^4 \cdot 10^{-2}}{384 \cdot 2.1 \cdot 10^6 \cdot 14920} = 0.966 \text{ cm} < \bar{f} = \frac{l}{500} = 1.62 \text{ cm}$$

V. Calcul des déplacements sous les charges sismiques.

$$\delta = \frac{1}{EI} \int M \bar{M} dx$$

$$\Rightarrow \delta = \frac{CQ h^3}{24EI}$$



$$\Rightarrow \delta = \frac{5568,66 (532)^3}{24 \cdot 2.1 \cdot 10^6 \cdot 14920} = 1.115 \text{ cm}$$

$$(\text{Art 3.3.7, RPA81}) \Rightarrow \frac{1}{2B} \delta \leq \bar{\delta} = 0,0075 h_f$$

avec: δ : déplacement relatif d'étage

h_f : hauteur d'étage

B: facteur de comportement de la structure ($B=0,25$)

$$\Rightarrow \frac{1}{2B} \delta = \frac{1}{2 \cdot 0,25} 1.115 = 2,23 \text{ cm} < \bar{\delta} = 0,0075 h_f = 3,99 \text{ cm}$$



ETUDE DU POTEAU COMPOSÉ

I Introduction:

Pour éviter des déplacements différentiels, le poteau est choisi de tel façon que son inertie soit la moitié de l'inertie de la palee de stabilité du sens transversal. Le poteau, composé est formé de deux profilés HEB liés entre eux par des cornières (fig 1) partie vérifications)

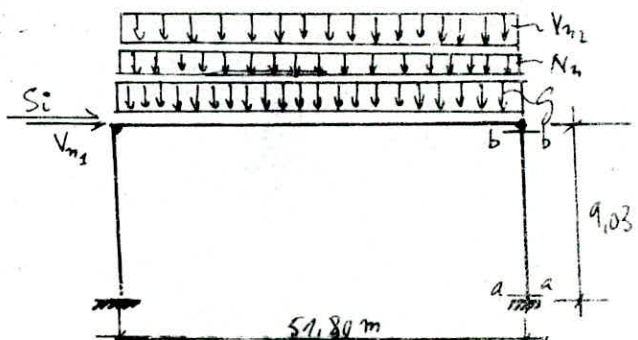
II Évaluation des charges et surcharges:

$S_g = 13853$ (voir étude au séisme)

$$V_{n_2} = 113,7 \text{ kN/m}$$

$$V_{n_3} = 59,17 \text{ kN}$$

$$N_n = 10,8 \cdot 35 = 378 \text{ kN/m}$$



avec. PL de la frappe $M = 48 \text{ kNm/m}^2$

et PL de la poutre à treillis $= 250 \text{ kN/m}$.

$$\Rightarrow g = 10,8 \cdot 48 + 250 = 768,4 \text{ kN/m}$$

III Tableau des éléments de réduction:

} (+) compression
 } (-) traction

Cases de charge	Section a-a		Section b-b		T_{max} (kN)
	$M(\text{kNm})$	$N(\text{kN})$	$M(\text{kNm})$	$N(\text{kN})$	
Charges per G	+83 040	+24406	-166081	+19891	27588
Neige, N_n	+40655	+9790	-81310	+9790	13507
Vent, N_n	+35 188,6	+3081,5	-27458,7	+3081,5	7042,5
Seisme, S_g	$\pm 53374,25$	$\pm 349,17$	$\pm 9043,24$	$\pm 349,17$	6912

Remarque: Pour la détermination des éléments de réduction on a utilisé le formulaire des cadres simples et l'aide mémoire "RDM"

IV Les Combinations Les plus défavorables:

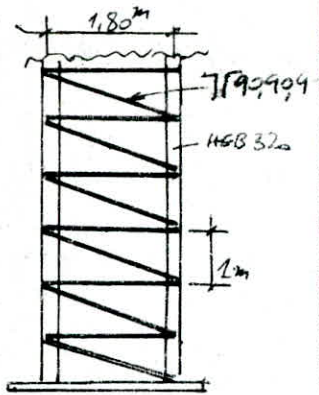
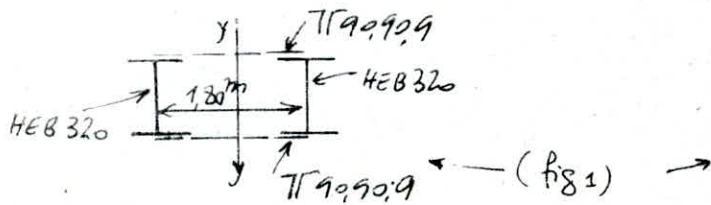
	Section a-a	Section b-b	T_{max}
Efforts Combinations	M (dN.m)	N (dN)	(dN)
$\frac{4}{3}G + \frac{17}{12}(N_u + V_u)$	+218094,3	+50776	-375530,3 +44756
$G + 1,2 S_c$	+147089	+24825	-176933 +24825

V Verifications:

* Effort: $M_{max} = 375530,32 \text{ dN.m}$

$N_{con} = 44756 \text{ dN}$

$T_{max} = 65895,79 \text{ dN}$.



$$(\text{CM66 art 15, 134, 2}) \Rightarrow l_f = 1,746 \quad l_o = 15,766 \text{ m}$$

$$\left. \begin{aligned} I_{yy} &= 2(A_0 v_0^2 + I_{yy_0}) = 2631538 \text{ cm}^4 \\ A &= 2A_0 = 322,6 \text{ cm}^2 \end{aligned} \right\} \Rightarrow \rho = \sqrt{\frac{I}{A}} = 9,31$$

$$\Rightarrow d = \frac{l_f}{\rho} = 17,46$$

Pour tenir compte des déformations d'effort tranchant, on calcule le coefficient:

$$\delta = 1 + \frac{26}{\rho} \frac{A}{A_a}$$

$$\text{avec } A_a = 0,64 \quad A_t = 6,016 \text{ cm}^2 \rightarrow \delta = 5,57$$

et on vérifie la barre pour un échancement fictif:

$$J = d \sqrt{\rho} = 17,46 \sqrt{5,57} = 49,22 \quad (\text{CM66 art 3,421,2})$$

$$\left. \begin{aligned} l_m &= 1,00 \text{ m} \\ \text{HEB 320: } \left. \begin{aligned} I_m &= 13,8 \text{ cm} \\ I_y &= 7,57 \text{ cm} \end{aligned} \right\} \end{aligned} \right\} \Rightarrow \nu_m = \frac{100}{5,57} = 18,21 \rightarrow K_m = 1,006.$$

* Vérification des membrures:

(Art 13,531; CM66) \Rightarrow si $\frac{g}{8} (K\sigma + \sigma_f) k_m \leq \sigma_{eu}$ aucune autre vérification n'est nécessaire.

$$\Rightarrow \frac{g}{8} \left(1,072 \frac{44756}{322,6} + \frac{37553032}{29239} \right) 1,006 = 1621,878 \text{ dN/cm}^2 < \sigma_{eu}$$

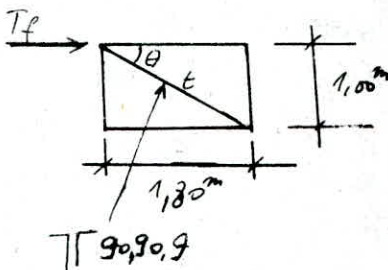
donc aucune autre vérification n'est nécessaire

* Vérification des treillis:

(Art 13,533; CM66) \Rightarrow On peut ou, ce plaçant dans la sécurité effectuant la vérification des treillis en prenant pour T_f la valeur approchée par excès

$$T_f = \frac{\pi I}{l v_0} \left[\sigma \left(\frac{g}{8} K' - 1 \right) + \frac{1}{8} \sigma_f \right]$$

$$A.N \Rightarrow T_f = 84332,30 \text{ dN.}$$



$$T_N = \frac{T_f}{\cos \theta} = \frac{84332,30}{\cos 29,05^\circ} = 96468,4 \text{ dN}$$

$$\Rightarrow N = 48234,2 \text{ dN}$$

$$l_o = \sqrt{1,0^2 + 1,8^2} = 2,059 \text{ m} \rightarrow d = d_2 = \frac{2,059}{2,73} = 75,42 \rightarrow K = 1,380$$

$$\Rightarrow K\sigma = 1,380 \frac{48234,2}{31} = 2147,19 \text{ dN/cm}^2 < \sigma_{eu}$$

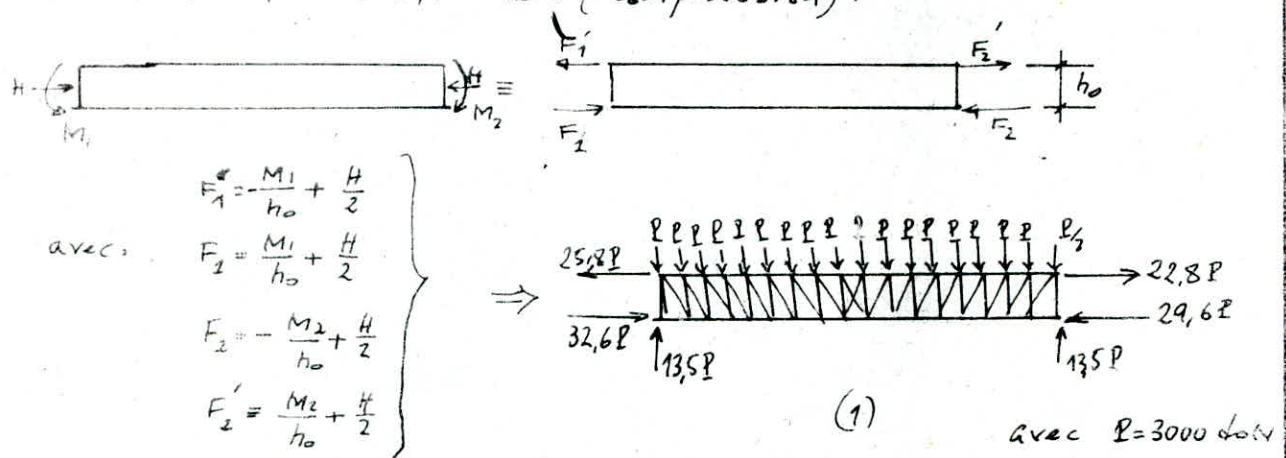
VERIFICATION DE LA POUTRE À TREILLIS

D'après le tableau (*) de l'étude du poteau composé, on aura pour la combinaison "G+Si" les valeurs suivantes :

$$M_1 = -157152 \text{ daN.m}$$

$$M_2 = -175010 \text{ daN.m}$$

$$H = +20235,76 \text{ daN (compression).}$$



Les résultats de l'étude graphique de "CRÉMONA" de la figure (I) sont données dans le tableau qui suit :

	N_{max} (compression) daN	N_{max} (traction) ton.
Arbalétriers	86 400	77 400
Entraîts	97 800	66 000

Remarque: les efforts supplémentaires n'interviennent que sur les entraîts et les arbalétriers.

→ d'après l'étude de la poutre à treillis on a trouvé pour les entraîts et les arbalétriers les valeurs suivantes:

$$N_{max} = 120 000 \text{ daN (comp)}$$

$$N_{max} = 90750 \text{ ton (traction)}$$

donc les valeurs obtenues lors de l'étude de la poutre à treillis sont supérieures que celles du tableau (I)

donc aucune vérification n'est nécessaire.

LES JOINTS SISMIQUES

Pour vérifier les conditions des RPA 81
On a séparé les tribunes de l'ossature
de la Salle, en évitant les recouvrements
importants en plan, par des joints sismi-
ques qui doivent permettre le libre
déplacement à chaque structure.

$$e \geq \delta_j^t + \delta_j^z$$

e : épaisseur des joints

δ_j^z : déplacement horizontal transversal
au niveau 5,32 m

$$e = 1,319 + 2,48 = 3,799 \text{ cm}$$

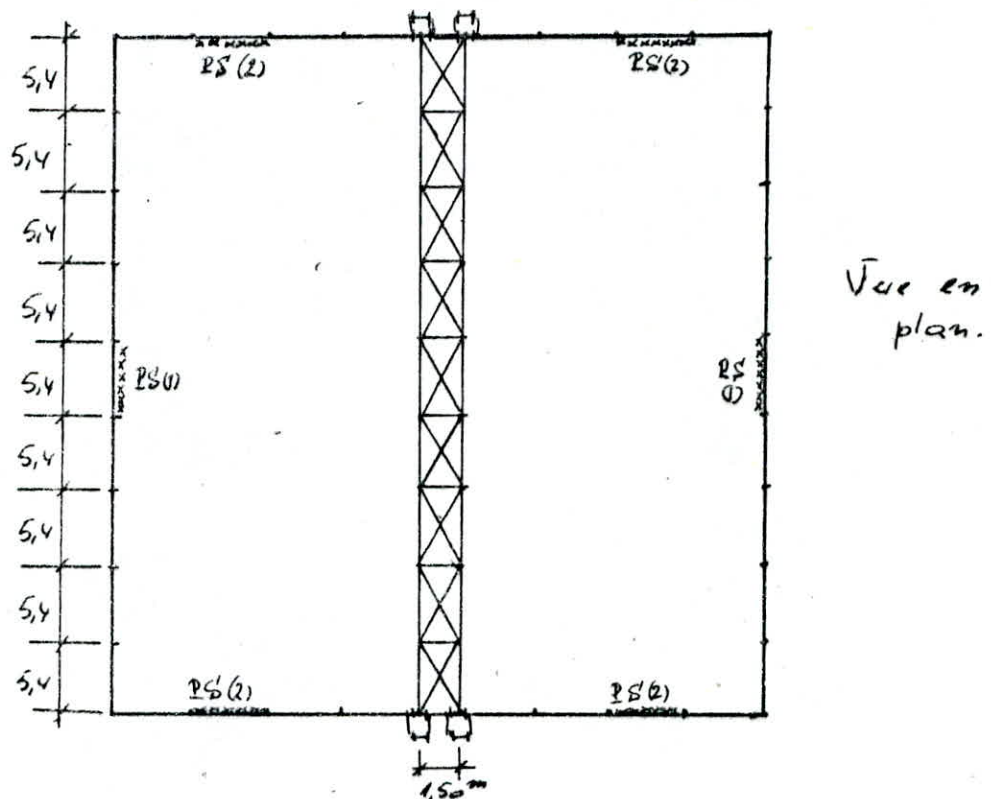
$$\text{d'après les RPA 81, } e \geq \frac{H}{300} = \frac{532}{300} = 1,77 \text{ cm}$$

donc on prend $e = 6 \text{ cm}$ légèrement
plus grand pour faciliter l'ancrage
des poteaux sur une même platine.

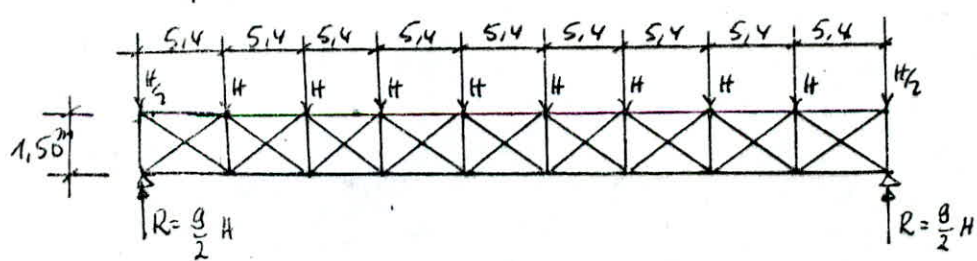
CONTRE VENTEMENT

CONTREVENTEMENT

I. SALLE:



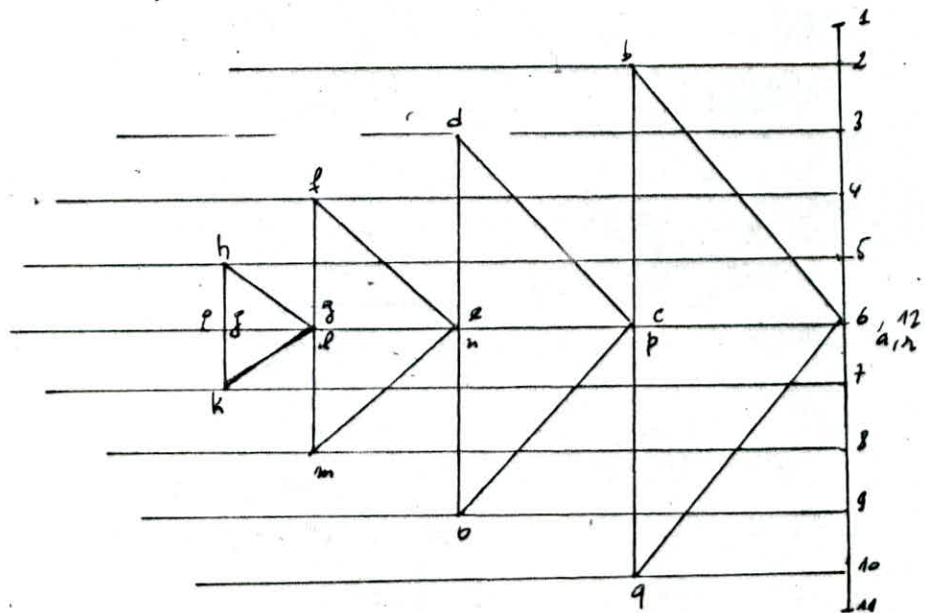
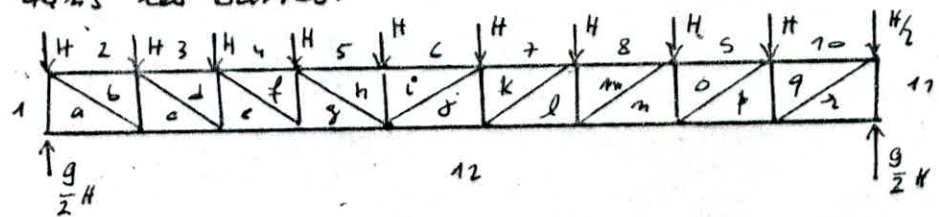
I. 1 La poutre au vent:



H: réaction du potelet sous la surcharge
extrême du Vent

$$H = \frac{1,75 \cdot 286,2 \cdot 7,4}{2} = 1853,145 \text{ daN}$$

On utilise la méthode graphique de "CRÉMONA" pour déterminer les efforts dans les barres.



Entrant	Arcs de lettres	$N_i^o(H)$	$N_i^o(\text{ton})$
$e_1 = e_g$		0	0
$e_2 = e_B$	$a_1 = a_g$	14,4	26683,2
$e_3 = e_J$	$a_2 = a_B$	25,2	46695,6
$e_4 = e_C$	$a_3 = a_J$	32,4	60087,2
e_5	$a_4 = a_5 = a_C$	36	66708
Montant		$N_i^-(H)$	$N_i^-(\text{ton})$
$m_1 = m_2$		4,5	8338,5
$m_2 = m_3$		4	7412
$m_3 = m_8$		3	5559
$m_4 = m_7$		2	3706
$m_5 = m_6$		1	1853
diagonale		$N_i^-(H)$	$N_i^-(\text{ton})$
$d_1 = d_5$		14,90	27609,7
$d_2 = d_8$		11,20	20753,6
$d_3 = d_7$		7,47	13842
$d_4 = d_6$		3,74	6930,22
d_5		0	0

* Les diagonales :

$$N_{\max} = 27609,7 \text{ daN (traction)}$$

$$l_f = 0,8 l_o = 0,8 \sqrt{(1,5)^2 + (5,4)^2} = 4,48 \text{ m (art 5.222 CM66)}$$

$$\lambda = \frac{l_f}{i_{min}} \leq \lambda_{lim} \quad \text{avec } \lambda_{lim} = 200$$

$$\Rightarrow i_{min} \geq \frac{448}{200} = 2,24 \text{ cm} \Rightarrow 780,80,8 \quad (i_x = i_y = 2,43)$$

$$\sigma = \frac{N}{A} = \frac{27609,7}{12,27} = 2250,179 \text{ daN/cm}^2 < \sigma_{en}$$

* Les montants :

$$N_{\max} = 8338,5 \text{ daN (Compression)}$$

$$l_f = 0,8 l_o = 0,8 \cdot 1,50 = 1,20 \text{ m}$$

$$i_{min} \geq \frac{l_f}{\lambda_{lim}} = \frac{120}{130} = 0,923 \text{ cm} \Rightarrow 760,60,6 \quad \left. \begin{array}{l} i_x = i_y = 1,82 \text{ cm} \\ A = 5,82 \text{ cm}^2 \end{array} \right\}$$

$$\Rightarrow \lambda = \frac{l_f}{i} = \frac{120}{1,82} \approx 66 < \lambda_{lim} \rightarrow K = 1,253$$

$$\Rightarrow K \frac{N}{A} = 1,253 \frac{8338,5}{5,32} = 1795,213 \text{ daN/cm}^2 < \sigma_{en}$$

* Les membrures (arbaletrières entrants)

$$N = N_1 + N_2 = 8475 + 66708 = 151458 \text{ daN (traction)}$$

pour la valeur de N_1 voir étude de la poutre à treillis

lors de l'étude de la poutre à treillis

On a choisi pour les membrures des tubes $\square 200,8 \Rightarrow A = 59,46 \text{ cm}^2$

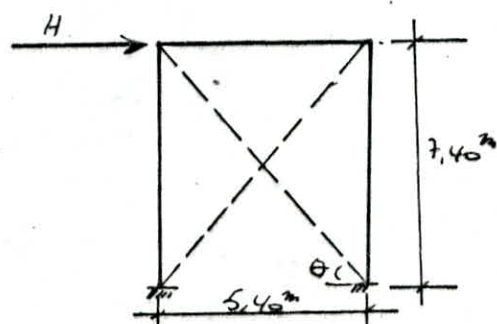
$$\Rightarrow \sigma = \frac{N}{A} = \frac{151458}{59,46} = 2547,22 \text{ daN/cm}^2 < \sigma_{en} = 2950$$

I.2 Stabilité verticale:

$$H = 16711,7 \text{ daN} \quad (\text{voir étude au Seisme})$$

$$(\text{art 3.3, 8.3 RPA 81}) \Rightarrow H = 1,25H_0 = 20889,6 \text{ daN}$$

$$\begin{cases} \theta = 53,88^\circ \\ R_H = \frac{H}{2} = 10444,8 \text{ daN} \\ N_D = \pm \frac{R_H}{\cos \theta} = 17718,73 \text{ daN} \end{cases}$$



- Dimensionnement:

$$N_D = \pm 17718,73 \text{ daN}$$

$$l_o = \sqrt{(7,4)^2 + (5,4)^2} = 9,16 \text{ m} \Rightarrow \begin{cases} l_{f_y} = l_o/2 = 4,58 \text{ m} \\ l_{f_x} = 0,8 l_o = 7,33 \text{ m} \end{cases}$$

$$(*) \text{ pour la traction on vérifie } \sigma = \frac{N}{A_n} \leq \sigma_{en} \Rightarrow A_n \geq \frac{N}{\sigma_{en}} = 7,289 \text{ cm}^2$$

donc on choisit (JC) 2 UBN140 et un gousset $c_p = 7 \text{ mm}$

$$\begin{cases} A_n = 40,8 \text{ cm}^2 \\ l_x = 5,45 \text{ cm} \\ l_y = 2,73 \text{ cm} \end{cases}$$

$$J_x = \frac{l_{f_x}}{c_x} = \frac{733}{5,45} = 134,5 \quad \left. \right\} \Rightarrow d = d_y = 167,8 \rightarrow K = 4,52$$

$$J_y = \frac{l_{f_y}}{c_y} = \frac{458}{2,73} = 167,8 \quad \left. \right\} \Rightarrow \text{pour la compression on vérifie}$$

$$K\sigma = 4,52 \frac{17718,73}{40,8} = 1926,85 \text{ daN/cm}^2 < \sigma_{en}$$

- Vérification du poteau:

$$R_V = \frac{Hh}{l} = 28626,49 \text{ daN}$$

$$N = 3165,8 \text{ daN} \quad (\text{charges permanentes}) \quad \left. \right\} \Rightarrow G \pm S_i = 31 + 92,29 \text{ daN}$$

$$\Rightarrow K\sigma = K \frac{N}{A} = 2,64 \frac{31729,55}{38,8} = 2163,18 \text{ daN/cm}^2 < \sigma_{en}$$

Pale N°2

$$\theta = 53,88$$

$$R_H = \frac{H}{2} = 9543,125 \text{ daN}$$

$$N_D = \pm \frac{R_H}{\cos \theta} = \pm 16189,10 \text{ daN}$$

- Dimensionnement

$$- N_D = \pm 16189,10 \text{ daN}$$

$$l_o = 9,16 \text{ m} \Rightarrow \begin{cases} l_{f_2} = 4,58 \text{ m} \\ l_{f_4} = 7,33 \text{ m} \end{cases}$$

(*) pour la traction on vérifie $\Sigma = \frac{N}{A} \leq \sigma_{e_2}$

$$\Rightarrow A_2 \geq \frac{N}{\sigma_{e_2}} = 6,74 \text{ cm}^2$$

donc on choisit 2 UPN 140 et un gousset d'épaisseur 7 mm

$$\Rightarrow \begin{cases} A = 40,8 \text{ cm}^2 \\ c_x = 5,45 \text{ cm} \\ i_y = 2,73 \text{ cm} \end{cases}$$

$$\begin{cases} d_x = \frac{l_{f_2}}{i_x} = 134,5 \\ d_y = \frac{l_{f_4}}{i_y} = 167,8 \end{cases} \Rightarrow d = d_y = 167,8 \longrightarrow K = 4,52$$

donc pour la compression $K\sigma = 4,52 \frac{16189,1}{40,8} = 17935 \text{ daN/cm}^2 \leq \sigma_{e_2}$

- Dimensionnement de la traverse.

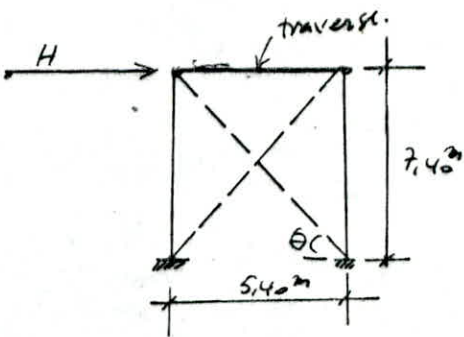
$$N = H = 19086,25 \text{ daN} \quad (\text{compression}).$$

$$\Rightarrow A \geq \frac{N}{\sigma_{e_2}} = \frac{19086,25}{2400} = 7,85 \text{ cm}^2 \Rightarrow \text{on choisit un}$$

UPN 140

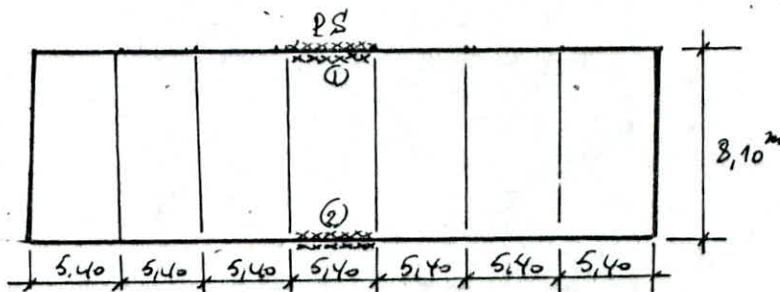
$$\text{dont } A = 17 \text{ cm}^2$$

Remarque: [l'instabilité des traverses (au flambement) est empêchée par leur solidarisation avec la coque M].



II TRIBUNES:

Vue en plan.



II.1 Pôle N° 1:

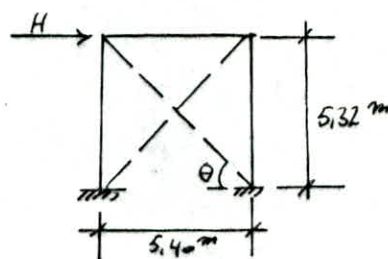
$$H_0 = 2370,9202 \text{ ton} \quad (\text{voir étude au séisme})$$

$$\Rightarrow H = 1,25 H_0 = 29636,50 \text{ ton}$$

$$\theta = 44^\circ 57'$$

$$R_H = \frac{H}{2} = 14818,25 \text{ ton}$$

$$N_d = \pm \frac{R_H}{\cos \theta} = \pm 20800,6 \text{ ton}$$



- Dimensionnement

$$N = \pm 20800,6 \text{ ton}$$

$$l_o = \sqrt{(5,32)^2 + (5,40)^2} = 7,58 \text{ m} \Rightarrow \begin{cases} l_{f_y} = \frac{l_o}{2} = 3,79 \text{ m} \\ l_{f_x} = 0,8 l_o = 6,06 \text{ m} \end{cases}$$

ds le cas d'assemblage de diagonales en cornières, L ou J/L On vérifie :

$$\sigma = \frac{N}{0,8 A_n} \leq \sigma_{en}$$

(0,8: coefficient tenant)
(compte de l'excentricité
de la ligne neutre)

$$\Rightarrow A_n \geq \frac{N_d}{0,8 \sigma_{en}} = 10,83 \text{ cm}^2$$

donc on choisit 7F120,120,12 et un gousset
d'épaisseur $\delta = 8 \text{ mm}$

$$\begin{cases} A_n = 49,3 \text{ cm}^2 \\ l_x = 3,65 \text{ cm} \\ l_y = 5,25 \text{ cm} \end{cases}$$

$$d = \max(d_x, d_y) = d_x = \frac{l_x + \delta}{l_x} = 166,027 \longrightarrow K = 4,43$$

$$\rightarrow K \sigma = 4,43 \frac{20800,6}{49,3} = 1869,10 \text{ ton/cm}^2 < \sigma_{en} \dots$$

- Dimensionnement de la traverse

$$N = H = 29636,5 \text{ ton (compression)}$$

$$A \geq \frac{N}{\Gamma_{eu}} = \frac{29636,5}{2400} = 12,34 \text{ cm}^2$$

donc on choisit un UPN 120

$$\text{dont } A = 17 \text{ cm}^2$$

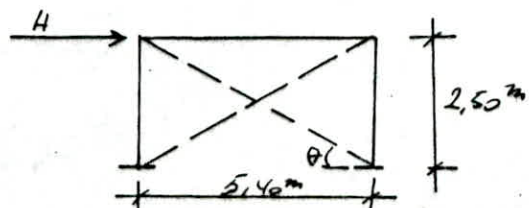
Palier N° 2:

$$H = 29636,5 \text{ ton}$$

$$\theta = 24^\circ 84'$$

$$R_H = \frac{H}{2} = 14818,25 \text{ ton}$$

$$N_D = \pm \frac{R_H}{\cos \theta} = \pm 16328,93 \text{ ton}$$



* Dimensionnement de la diagonale:

$$N_D = 16328,93 \text{ ton}$$

$$l_0 = \sqrt{(5,40)^2 + (2,5)^2} = 5,95 \text{ m} \Rightarrow \begin{cases} l_{f_y} = \frac{l_0}{2} = 2,975 \text{ m} \\ l_{f_u} = 98 l_0 = 4,76 \text{ m} \end{cases}$$

$$A_n \geq \frac{N}{0,8 \Gamma_{eu}} = \frac{16328,93}{0,8 \cdot 2400} = 8,50 \text{ cm}^2$$

donc on choisit T5 100,100,10 et un gousset d'épaisseur $\delta = 8 \text{ mm}$

$$\Rightarrow \begin{cases} A_{act} = 33,5 \text{ cm}^2 \\ i_x = 3,04 \text{ cm} \\ i_y = 4,02 \text{ cm} \end{cases}$$

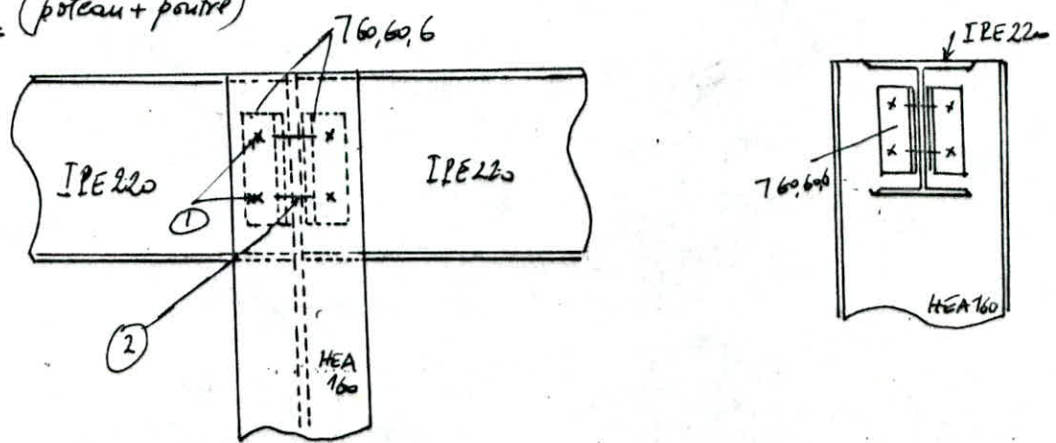
$$J = \min(d_x, d_y) = d_x = \frac{476}{3,04} = 156,6 \rightarrow K = 3,978$$

$$\Rightarrow K\sigma = 3,978 \cdot \frac{16328,93}{33,5} = 1938,99 \text{ ton/cm}^2 < \Gamma_{eu}$$

ASS'SEMBLAGE S'

LES ASSEMBLAGES

I/ Assemblage (poteau + poutre)



On réalise une articulation :

$$T_x = N = 7772 \text{ daN}$$

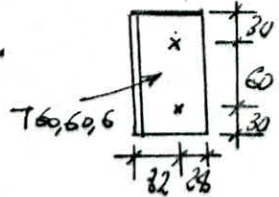
$$T_y = T = 1500,25 \text{ daN}$$

∅ des boulons ordinaires = 16 mm $\rightarrow d_{fr} = 17 \text{ mm}$

$$51 \leq \delta \leq 119 \rightarrow \delta = 60 \text{ mm}$$

$$25,5 \leq \delta_p \leq 42,5 \rightarrow \delta_p = 30 \text{ mm}$$

$$25,5 \leq \delta_t \leq 42,5 \rightarrow \delta_t = 28 \text{ mm}$$



* boulons (1): sollicités en cisaillement $T^* = \frac{N}{4} = \frac{7772}{4} = 1943 \text{ daN}$

$$\Rightarrow 1,54 \frac{T^*}{A_r} = 1,54 \frac{1943}{1,57} = 1905,87 \text{ daN/cm}^2 < \sigma_{en}$$

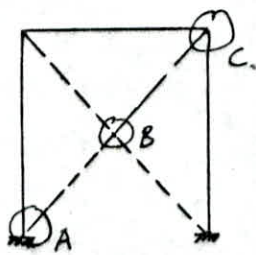
* boulons (2):

$$N \rightarrow \text{Cisaillement suivant } x-x \quad | \\ T \rightarrow \text{Cisaillement suivant } y-y \quad | \Rightarrow T^* = \sqrt{T^2 + N^2} = 7915,47 \text{ daN}$$

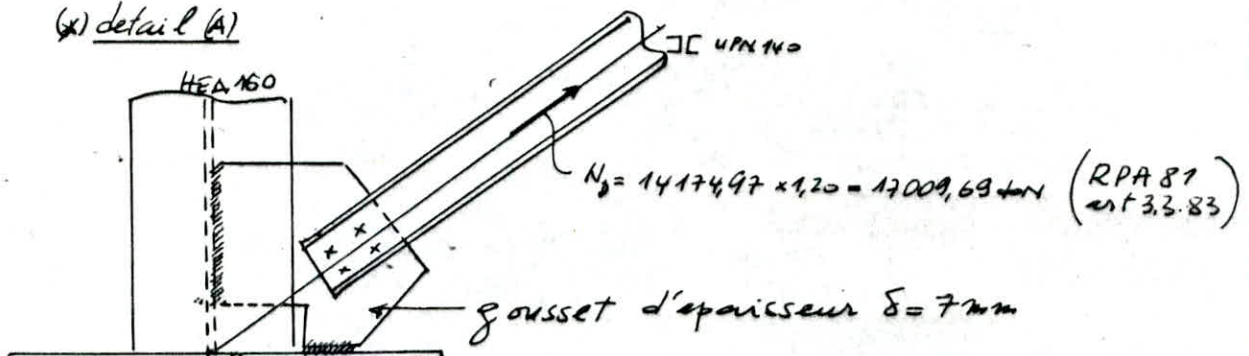
$$\Rightarrow T_p^* = \frac{T^*}{4} = \frac{7915,47}{4} = 1978,86 \text{ daN}$$

$$\Rightarrow 1,54 \frac{1978,86}{1,57} = 1941,05 \text{ daN/cm}^2 < \sigma_{en}$$

II Les différentes Assemblages de La pâle N° 1.



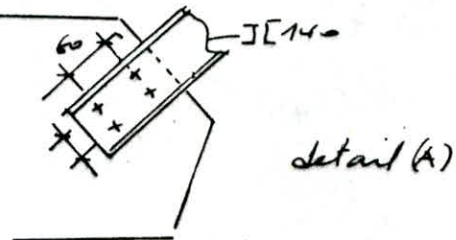
(*) détail (A)



$$UPN\ 140 \Rightarrow \phi 16\ mm \Rightarrow A_r = 1,57\ cm^2$$

$$1,54 \frac{E}{2A_r} < \sigma_{en} \Rightarrow F \leq \frac{2A_r \sigma_{en}}{1,54} = 4893,506\ dN$$

$$\Rightarrow Le\ N°\ de\ boulons\ nécessaire = \frac{N_0}{F} = 3,47 \Rightarrow 4\ boulons\ \phi 16$$



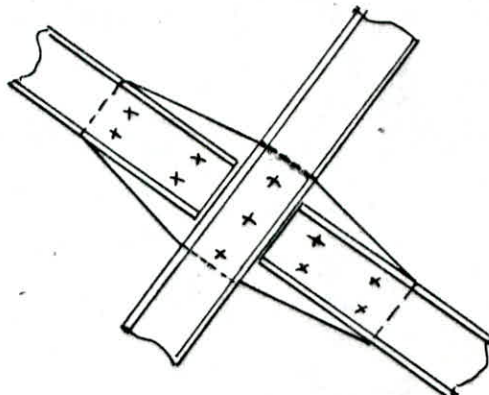
Vérification des soudures:

$$\begin{matrix} F_v \\ F_H \end{matrix} \Rightarrow \left\{ \begin{array}{l} F_H = 8356\ dN \\ F_v = 11459,4\ dN \end{array} \right. \quad \text{avec } \theta = 53,38^\circ$$

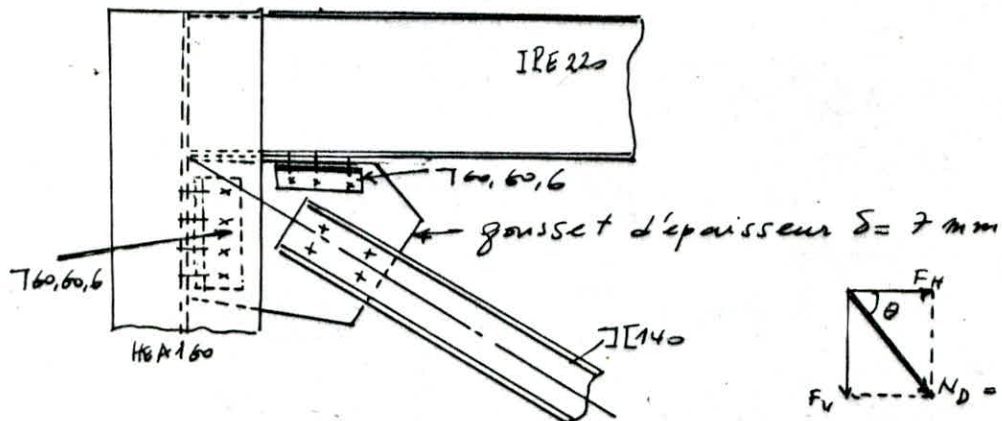
$$* \frac{T_{v/g}}{15\ cm} \quad a = 4\ mm \Rightarrow \alpha a = 9,4\ cm \Rightarrow \frac{5725,2}{975 \cdot 16 \cdot 9,4} = 1272,26\ dN/cm^2 < \sigma_{en}$$

$$* \frac{T_{v/g}}{6\ cm} \quad a = 4\ mm \Rightarrow \alpha a = 0,4\ cm \Rightarrow \frac{4178}{0,75 \cdot 6 \cdot 0,4} = 2321,1\ dN/cm^2 < \sigma_{en}$$

(*) detail (B):



(*) detail (c)



$$\Rightarrow \begin{cases} F_H = 10026,8 \text{ daN} \\ F_V = 13740 \text{ daN} \end{cases}$$

$$* F_V = 13740 \text{ daN}$$

$$\Rightarrow 760,60,6 \Rightarrow \phi 16 \rightarrow A_r = 1,57 \text{ cm}^2$$

$$\Rightarrow M_{exc} = 3,5 F_V = 48090 \text{ daN.cm}$$

$$Q_2 90 \times Q_2 30 = \frac{M_{exc}}{2}$$

$$\Rightarrow Q_2 = \frac{45 M_{exc}}{90 + 30} = 249,45 \text{ daN}$$

$$\Rightarrow R_1 = \sqrt{Q_1^2 + (F_H/3)^2} = 3443,40 \text{ daN}$$

$$\Rightarrow 1,54 \frac{R_1}{2A_r} = 1,54 \cdot \frac{3443,4}{2 \cdot 1,57} = 1689 \text{ daN/cm}^2 < \sigma_{e2}$$

$$* F_H = 10026,8 \text{ daN}$$

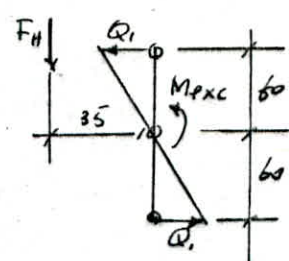
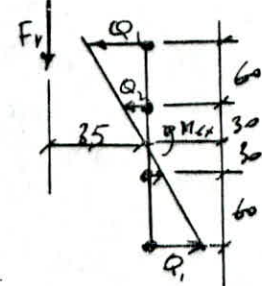
$$760,60,6 \Rightarrow \phi 16 \text{ mm} \Rightarrow A_r = 1,57 \text{ cm}^2$$

$$M_{exc} = 3,5 F_H = 35093,8 \text{ daN.cm}$$

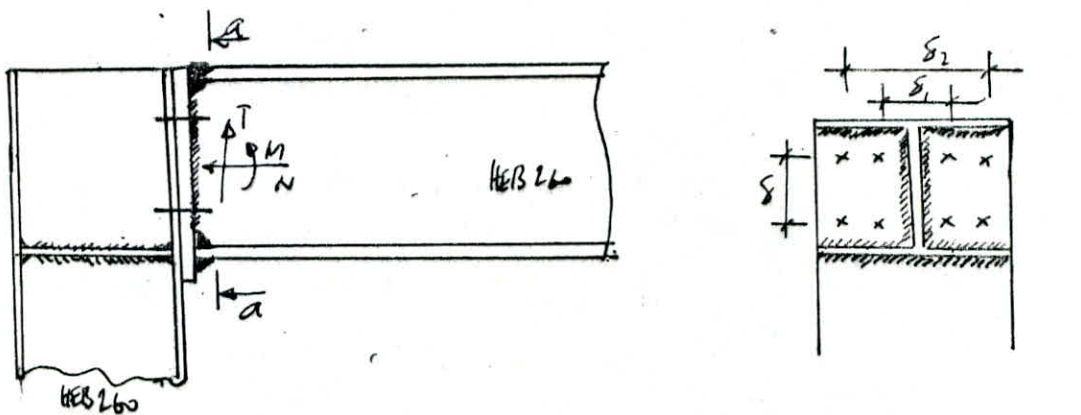
$$\Rightarrow Q_1 60 = \frac{M_{exc}}{2} \Rightarrow Q_1 = 292,5 \text{ daN}$$

$$\Rightarrow R_1 = \sqrt{Q_1^2 + (F_H/3)^2} = 3355 \text{ daN}$$

$$\Rightarrow 1,54 \frac{R_1}{2A_r} = 1,54 \cdot \frac{3355}{2 \cdot 1,57} = 1645,5 \text{ daN/cm}^2 < \sigma_{e4}$$



III Assemblage (Poteau + Poutre) de la tribune:



Efforts $M = 19313,10 \text{ dN.m}$
 $N = 19026,50 \text{ dN}$
 $T = 5445,39 \text{ dN}$

} (voir étude du portique
de la tribune)

1) disposition constructive:

(OTUA page 79 tome III)

→ pour un HEB 260

$$\left. \begin{array}{l} \delta_1 = 105 \text{ mm} \\ \delta_2 = 188 \text{ mm} \\ \delta = 111 \text{ mm} \end{array} \right\}$$

et $\phi = 22 \text{ mm}$ (diamètre des boutons)

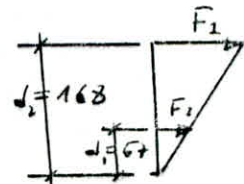
épaisseur de la platine $e_p = 18 \text{ mm}$.

2) détermination des efforts:

* effet de M : $F_1 = \frac{Md_1}{d_1^2 + d_2^2} = 10209,2 \text{ dN}$

→ $F_1^* = \frac{F_1}{4} = 2557,3 \text{ dN}$.

* Effet de N : $N^* = \frac{N}{8} = 2378,31 \text{ dN}$



* Effet de T : $T^* = \frac{T}{8} = 680,67 \text{ dN}$.

3) Verification.

* $M + N \Rightarrow N_{\text{tot}}^* = F_i^* + N^* = 2577,3 - 2378,81 = 198,979 \text{ daN}$.

$$\rightarrow 1,18 \frac{N_{\text{tot}}}{A_T} = 82,087 \text{ daN/cm}^2 < \sigma_{\text{es}}$$

$$\text{et } \frac{\sqrt{N^2 + 2,36 T^2}}{A_T} = 167,52 \text{ daN/cm}^2 < \sigma_{\text{es}}.$$

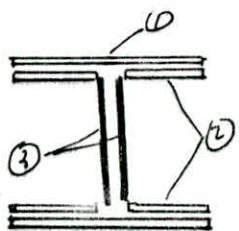
4) Verification des soudures:

$a_1 = a_2 = 14 \text{ mm} \Rightarrow \alpha a = 1,2 \text{ cm}$

$$a_3 = 8 \text{ mm} \Rightarrow \alpha a = 0,72 \text{ cm}$$

* Cordons ① et ② représentent $M + N$

* Cordons ③ représentent $T + N$.



$$l_1 = b - 2a_1 = 23,2 \text{ cm}$$

$$l_2 = \frac{b - \alpha a}{2} - 2a_2 = 9,7 \text{ cm}$$

$$l_3 = h - 2c_s - 2a_3 = 20,9 \text{ cm}$$

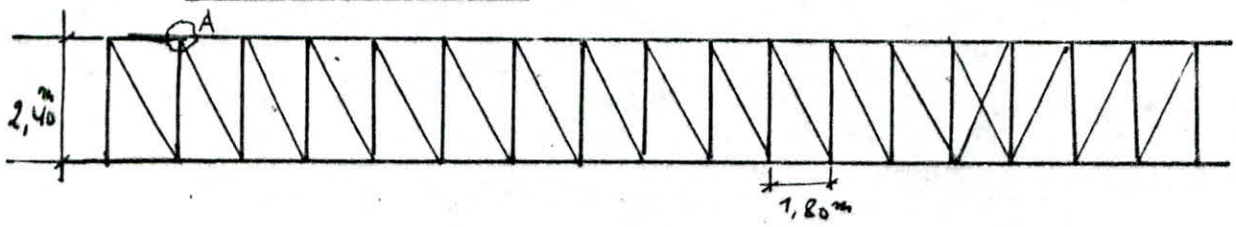
* Cordons ① et ②

$$1,18 \left[\frac{N}{\sum l a \alpha} + \frac{M \cdot b}{h^2 l_1 a_1 \alpha_1 + 2(h - 2c_s)^2 l_2 a_2 \alpha_2} \right] = 2234,34 \text{ daN/cm}^2 < \sigma_{\text{es}}$$

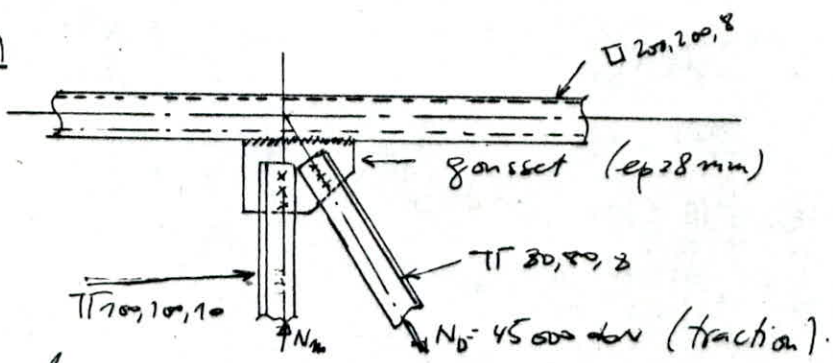
* Cordons ③

$$\sqrt{1,4 \left(\frac{N}{\sum l a \alpha} \right)^2 + 1,8 \left(\frac{T}{2 l_3 a_3 \alpha_3} \right)^2} = 456,28 \text{ daN/cm}^2 < \sigma_{\text{es}}$$

IV Ponts à treillis



détail (A)



* diagonale: $N_D = 45 \text{ 000 ton}$

$$T\Gamma 80,80,8 \Rightarrow \phi 20 \text{ mm} \Rightarrow A_s = 2,45 \text{ cm}^2 \quad (\text{Boulons HR: 18-9})$$

$$\left. \begin{array}{l} i - \text{gusset} : \frac{d}{e} = \frac{21}{8} = 2,625 < 3 \\ ii - \text{garniere} : \frac{d}{e} = \frac{21}{10} = 2,1 < 3 \end{array} \right\} \Rightarrow \text{pas de vérification à faire sur la pression diamétrale.}$$

$$N = 0,8 A_s T_{e2} = 0,8 (2 \cdot 2,45) \cdot 9000 = 35280 \text{ ton.}$$

donc La valeur admissible: $T_a = 1,1 N_D q = 11642,4 \text{ ton}$

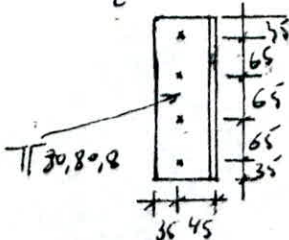
$$\Rightarrow Le N^{\circ} de boulons nécessaires: \frac{N_D}{T_a} = 3,86$$

$\Rightarrow 4$ boulons $\phi 22$: (HR Class 10-9)

$$63 \leq \delta \leq 147 \Rightarrow \delta = 65 \text{ mm}$$

$$31,5 \leq \delta_p \leq 52,5 \Rightarrow \delta_p = 35 \text{ mm}$$

$$81,5 \leq \delta_t \leq 52,5 \Rightarrow \delta_t = 25 \text{ mm}$$



* Montant: $N_m = 39000 \text{ daN}$.

$T\Gamma 100,100,10 \rightarrow \phi 22 \text{ mm} \Rightarrow A_r = 3,03 \text{ cm}^2$

(Boulons HR classe 10-9 : $\sigma_{es} = 9000 \text{ daN/cm}^2$)

$$\Rightarrow N_a = 0,8 A_r \sigma_{es} = 0,8 (2 \cdot 3,03) \cdot 9000 = 43632 \text{ daN}$$

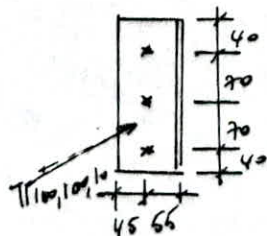
donc la valeur admissible: $T_a = 1,1 N_a \varphi = 14398,56 \text{ daN}$

$\Rightarrow \text{Le N° de boulons nécessaire} = \frac{N_m}{T_a} = 2,7 \Rightarrow 3 \text{ boulons.}$

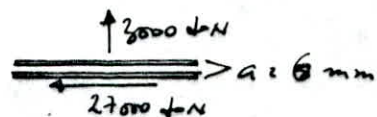
$$S = 70 \text{ mm}$$

$$S_f = 40 \text{ mm}$$

$$S_t = 45 \text{ mm.}$$



(*) vérification des sondures pour le gousset.



$$a = 6 \text{ mm} \Rightarrow a \alpha = 0,56 \text{ cm}$$

$$l = 20 - 2 \cdot a = 20 - 1,2 = 18,8 \text{ cm}$$

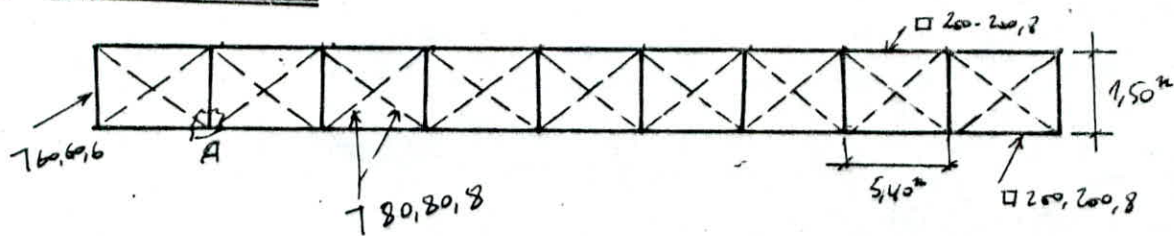
$$\Rightarrow A_c = 2 l \alpha a = 21,056 \text{ cm}^2$$

$$\text{La formule en veillasse: } 1,15 \sqrt{\left(\frac{N_l}{A_c}\right)^2 + \left(\frac{T}{A_c}\right)^2} \leq \sigma_{es}$$

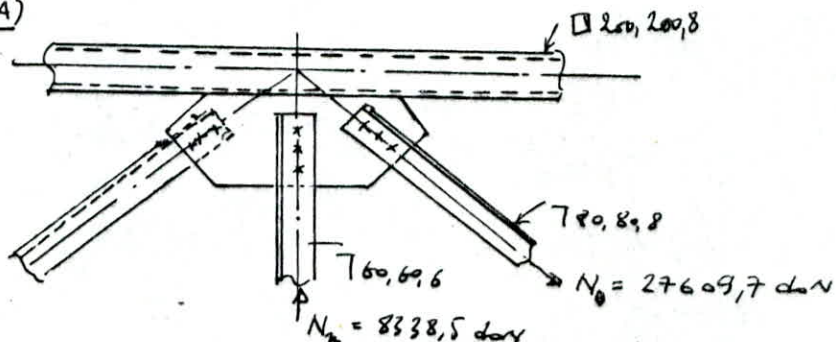
$$\Rightarrow 1,15 \sqrt{\left(\frac{3000}{21,056}\right)^2 + \left(\frac{27000}{21,056}\right)^2} = 1741,75 \text{ daN/cm}^2 < \sigma_{es}$$

)

Poutre au vent:



* détail (A)



* Montant: $760,60,6 \Rightarrow \phi 16 \text{ mm} \Rightarrow A_r = 1,57 \text{ cm}^2$ (HR closer 10-9)

$$\Rightarrow N_o = 0,8 A_r \sigma_{c_u} = 11304 \text{ daN}$$

$$\Rightarrow T_a = 1,1 N_o \cdot \phi = 1,1 \cdot 11304 \cdot 0,8 = 3730,32 \text{ daN}$$

$\Rightarrow N_u^2 \text{ de boulons nécessaires: } \frac{N_u}{T_a} = 2,23 \rightarrow 3 \text{ boulons}$

* diagonale: $780,80,8 \Rightarrow \phi 20 \text{ mm} \Rightarrow A_d = 2,45 \text{ cm}^2$ (HR closer 10-9)

$$\Rightarrow N_o = 0,8 A_d \sigma_{c_u} = 17640 \text{ daN}$$

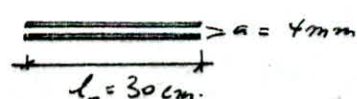
$$\Rightarrow T_a = 1,1 N_o \cdot \phi = 5821,2 \text{ daN}$$

$\Rightarrow N_u^2 \text{ de boulons nécessaires: } \frac{N_u}{T_a} = 4,74 \rightarrow 5 \text{ boulons}$

* Vérification des conduites:

$$\lambda = 7,50 \text{ daN}$$

$$T = 26603 \text{ daN}$$



$$l_c = 30 \text{ cm}$$

$$a = 4 \text{ mm} \rightarrow \alpha a = 0,4 \text{ cm}$$

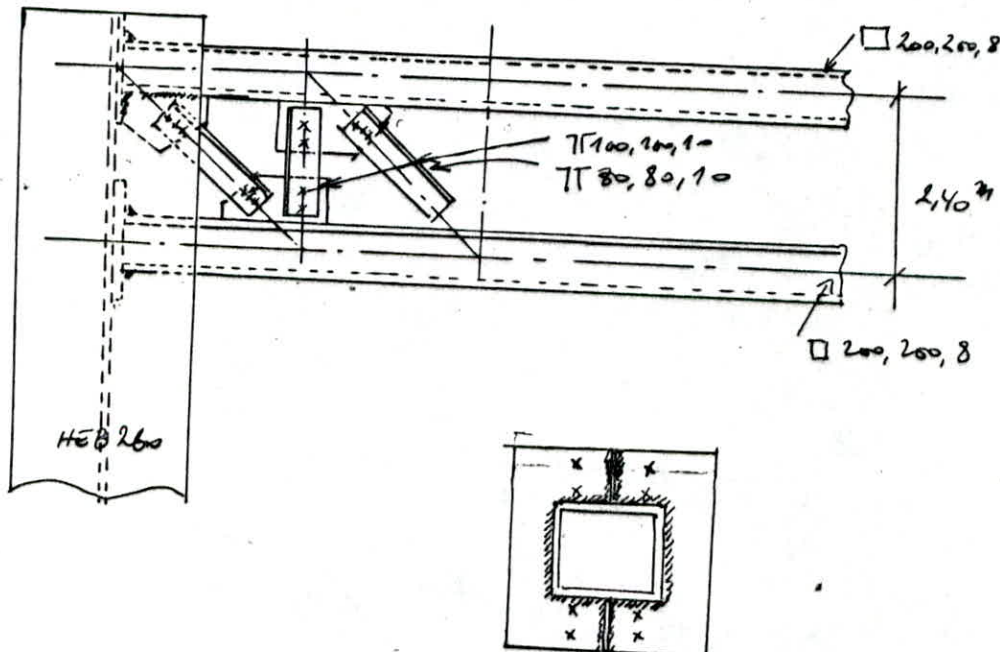
$$\Rightarrow l_1 = l_c - 2a = 30 - 0,8 = 29,2 \Rightarrow l = 2l_1 = 58,4 \text{ cm}$$

$$\Rightarrow A_c = l \alpha a = 23,36 \text{ cm}^2$$

Formule enveloppe: $1,35 \sqrt{\left(\frac{N}{A_c}\right)^2 + \left(\frac{T}{A_c}\right)^2} = 1538,39 \text{ daN/cm}^2 < \sigma_{c_u}$

II Assemblage du poteau, Composé avec la poutre à treillis.

$$\left. \begin{array}{l} N_a = 90750 \text{ daN (traction)} \\ N_d = 48750 \text{ daN (traction)} \\ N_m = 40500 \text{ daN (compression).} \end{array} \right\} \Rightarrow \left. \begin{array}{l} N_{max} = N_a + N_d \cos \theta = 110000 \text{ daN (traction)} \\ T = -N_d \sin \theta = 1500 \text{ daN.} \end{array} \right.$$



boulons: $\phi 22 \text{ mm} \Rightarrow A_r = 3,03 \text{ cm}^2$ (Boulons HR Classe 10-9) $\sigma_{cr} = 8000 \text{ daN/cm}^2$

Précontrainte, N_s des boulons: $N_s = 0,8 \sigma_{cr} A_r = 21816 \text{ daN}$.
donc les efforts admissibles pour un assemblage sollicité par un T et N [(traction) + (cisaillage)] sont:

$$N_a = N_s = 21816 \text{ daN}$$

$$T_a = 1,1 \phi (N_a - N)$$

$$\text{donc le N° de boulons nécessaire} = \frac{N}{N_a} = \frac{110000}{21816} = 5,5 \Rightarrow 8 \text{ boulons}$$

$$\Rightarrow \text{l'effort normal des chapeaux boulon} = \frac{N}{8} = 15000 \text{ daN}$$

$$\Rightarrow T_a = 1,1 \cdot 0,3 (21816 - 15000) = 2249,3 \text{ daN}$$

$$\text{et } T = \frac{1500}{8} = 187,5 \text{ daN} < T_a = 2249 \text{ daN.}$$

$$(*) \quad \left\{ \begin{array}{l} 69,5 \leq \delta \leq 161 \\ 24,5 \leq \delta_1 \leq 57,5 \\ 34,5 \leq \delta_2 \leq 57,5 \end{array} \right. \Rightarrow \begin{array}{l} \delta = 70 \text{ mm} \\ \delta_1 = 35 \text{ mm} \\ \delta_2 = 35 \text{ mm} \end{array}$$

* Vérification des solutions :

$$a = 10 \text{ mm} \Rightarrow \alpha a = 0,88 \text{ cm}$$

$$l_1 = 20 - 2a = 20 - 2 \cdot 1 = 18 \text{ cm}$$

$$\Rightarrow l = 4l_1 = 4 \cdot 18 = 72 \text{ cm}$$

$$\Rightarrow A_c = l \alpha a = 72 \cdot 0,88 = 63,36 \text{ cm}^2$$

On vérifie la formule enveloppe : $1,35 \sqrt{\left(\frac{N}{A_c}\right)^2 + \left(\frac{T}{A_c}\right)^2} \leq \sigma_{en}$

$$\Rightarrow 1,35 \sqrt{\left(\frac{120000}{63,36}\right)^2 + \left(\frac{1500}{63,36}\right)^2} = 2557,0 \text{ daN/cm}^2 > \sigma_{en}$$

$$\Rightarrow a = 12 \text{ mm} \Rightarrow \alpha a = 1,04 \text{ cm}$$

$$l_1 = 17,6 \text{ cm}$$

$$\Rightarrow l = 4l_1 = 70,4 \text{ cm}$$

$$\Rightarrow A_c = l \alpha a = 73,216 \text{ cm}^2$$

$$\Rightarrow 1,35 \sqrt{\left(\frac{N}{A_c}\right)^2 + \left(\frac{T}{A_c}\right)^2} = 1,35 \sqrt{\left(\frac{120000}{73,216}\right)^2 + \left(\frac{1500}{73,216}\right)^2}$$

$$= 2216,00 \text{ daN/cm}^2 < \sigma_{en}$$

?

ANCRAGE DES PIÈCES

ANCORAGE DES POTEAUX

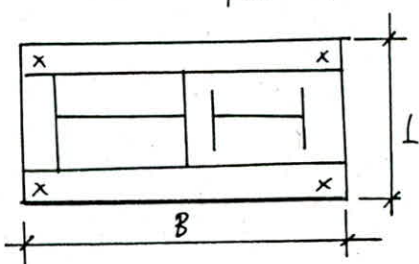
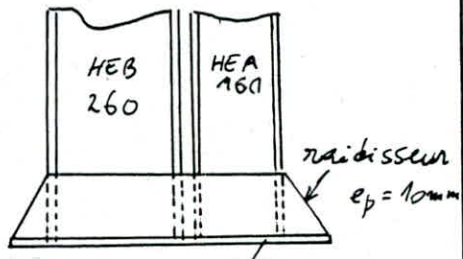
Le calcul des platines et la détermination de la plaque comprimée sous poteaux sont basés sur la méthode dite de "Béton armé"

I. Cas N°1:

* Efforts:
 HEB 260 : $\begin{cases} M_A = 2775,31 \text{ dN.m} \\ N_A = 8532 \text{ dN} \\ T_A = 1875,21 \text{ dN} \end{cases}$

HEA 160 : $\begin{cases} M_B = 17208,69 \text{ dN.m} \\ N_B = 15092 \text{ dN} \\ T_B = 7034,04 \text{ dN} \end{cases}$

d'où $\begin{cases} M = M_A + M_B = 19984 \text{ dN.m} \\ N = N_A + N_B = 23624 \text{ dN} \\ T = T_A + T_B = 8909,25 \text{ dN} \end{cases}$



* Dimensions minimales de la plaque.

$$\left. \begin{aligned} \frac{N}{LB} + \frac{6M}{LB^2} &\leq \bar{\sigma}_{b5}' \\ \bar{\sigma}_{b5}' = 67,5 \text{ dN/cm}^2 & \end{aligned} \right\} \Rightarrow B \geq \frac{50 \cdot 23624 + 6 \cdot 1998400}{2500 \cdot 67,5} = 78,05 \text{ cm}$$

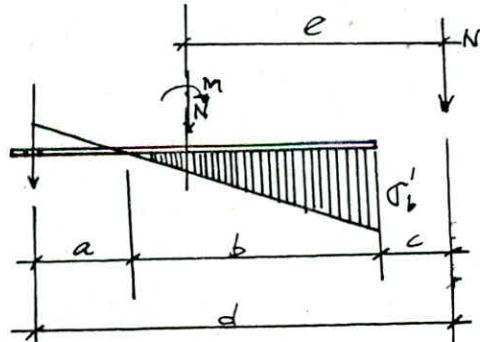
Sait $L = 50 \text{ cm}$ $\Rightarrow B = 90 \text{ cm}$

* Excentricité: $e = \frac{M}{N} = 84,6 \text{ cm}$

$d = 84,6 + 38 = 122,6 \text{ cm}$

$c = d - B + e = 39,6 \text{ cm}$

4 boulons $\phi 30 \Rightarrow A_r = 5,6 \text{ cm}^2$



* Longueur de la plaque comprimée:

$$b^3 + 3b^2c - \frac{90 \cdot 4 \cdot A_r N_b (d - c - b)}{L} = 0$$

$$\Rightarrow b^3 + 118,8 b^2 + 4943,23 b - 410288,25 = 0$$

Eq du 3^o d^o $\Rightarrow b = 37,8 \text{ cm}$ et $a = 47,2 \text{ cm}$.

* Effort de traction dans le boulon:

$$F = \frac{N}{N_b} \cdot \frac{3c+b}{3a+2b} = \frac{23624}{4} \cdot \frac{3 \cdot 39,6 + 87,8}{3 \cdot 47,2 + 2 \cdot 37,8} = 4379,16 \text{ daN}$$

* Contrainte du boulon:

$$\sigma_a = 1,25 \frac{F}{A_t} = 1,25 \frac{4379,16}{5,6} = 977,49 \text{ daN/cm}^2 < \sigma_{eu}$$

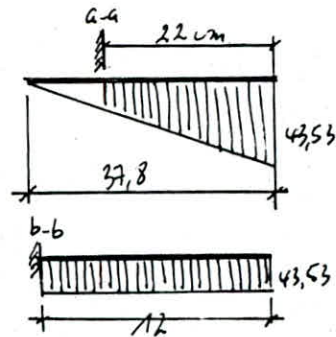
* Contrainte du béton:

$$\sigma'_b = \frac{c N \cdot d}{L \cdot b (3a+2b)} = 43,53 \text{ daN/cm}^2 < \bar{\sigma}'_b = 67,5 \text{ daN/cm}^2$$

* Epaisseur de la platine:

- Section a-a: $M_a = 18,2 \cdot \frac{22^2}{2} + \left[\frac{(43,53 - 18,2) \cdot 22 \cdot \frac{2}{3}}{2} \right] 22$

$$\Rightarrow M_a = 849,27 \text{ daN.cm}$$



- Section b-b: $M_b = 43,53 \cdot \frac{12^2}{2} = 3134,16 \text{ daN.cm}$

d'où l'épaisseur de la platine:

$$e_p \geq \sqrt{\frac{6M_{max}}{\sigma_{eu}}} = \sqrt{\frac{6 \cdot 849,27}{2400}} = 4,60 \text{ cm} \Rightarrow e_p = 5 \text{ cm}$$

On met des raidisseuses de construction d'épaisseur $\delta = 10 \text{ mm}$ pour que la platine soit suffisamment rigide, pour permettre une bonne répartition des efforts des poteaux.

* Ancrages des boulons:

L'ancrage est assuré par une tige lisse droite de diamètre $\phi = 30 \text{ mm}$ et de longueur $l = 60 \text{ cm}$ terminée par une plaque d'ancrage circulaire de rayon $r = 4 \text{ cm}$ et d'épaisseur suffisante:

$$\bar{N} = 0,1 \left(1 + \frac{7g_c}{1000} \right) \frac{\phi l}{\left(1 + \frac{\phi}{d} \right)^2} + \frac{28c}{100} r^2 \left(1 - \frac{r}{l} \right) : (\text{art 5,126 CM66})$$

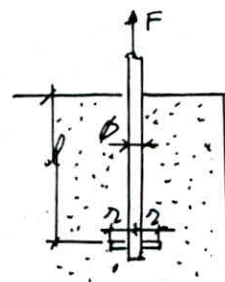
avec $l = 600 \text{ mm}$

$$g_c = 350 \text{ kg/m}^3 \text{ (dosage en ciment)}$$

$$r = 40 \text{ mm}$$

$$d = 200 \text{ mm}$$

$$\Rightarrow \bar{N} = 13696 \text{ daN.} \Rightarrow F = 4379,16 \text{ daN} < \bar{N}$$



* Vérification à l'effort tranchant:

Le béton resiste mal à la pression diamétrale donc l'effort horizontal est équilibré par frottement platine-massif avec un coefficient de frottement $\varphi = 0,40$ (CM66 art 5,123,1)

$$\text{Zone Comprimée} \Rightarrow \bar{T} = 0,4N = 0,4 \frac{43,53 \cdot 37,8}{2} \cdot 50 = 16454,34 \text{ dON}$$

$$\Rightarrow \bar{T} < \bar{T}' \quad \text{car } \bar{T}' = 8909,25 \text{ dON}$$

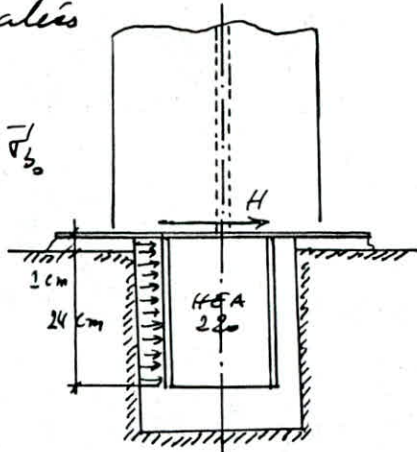
* Les bêches (épanlement)

Pour les poteaux sous palés de stabilité verticale l'effort tranchant ne peut pas être repris par simple frottement platine-massif. Donc on coûte les poteaux par des bêches qui assurent une bonne répartition des contraintes dans le massif.

H: effort horizontal apporté par les palés

$$H_{\max} = 20210,48 \text{ dON}$$

$$\bar{\sigma}_b' = \frac{H}{A} = \frac{20210,48}{22 \cdot 24} = 38,27 \text{ dON/cm}^2 < \bar{\sigma}_{b_0}'$$



- vérification de la console:

$$M = R \left(\frac{24}{2} + 1 \right) = 20210,48 \left(\frac{0,12}{2} + 0,01 \right)$$

$$= 2627,36 \text{ dON.m}$$

$$\Rightarrow T = \frac{M}{W_x} = \frac{2627,36}{615} = 427,213 \text{ dON/cm}^2 < \sigma_{e_1}$$

- Vérification des soudures:

$$a = 6 \text{ mm} \Rightarrow a\alpha = 0,56 \text{ cm}$$

$$l_1 = 20,8 \text{ cm}$$

$$l_2 = 9,45 \text{ cm}$$

$$l_3 = 17,6 \text{ cm}$$

- Cordons des semelles: $1,18 \left[\frac{M \cdot h}{l_1 \cdot a \cdot h^2 + 2l_2 \cdot a \cdot (l_1 - 2l_3)^2} \right] = 825,55 \text{ dON/cm}^2 < \sigma_{e_1}$

- Cordons d'âme: $\sqrt{1,8} \cdot \left(\frac{T}{2l_3 \cdot a} \right) = 1500 \text{ dON/cm}^2 < \sigma_{e_1}$

II , Cas N° 2 (Poteau de la tribune)

* Efforts: $M = 17208,69 \text{ dN} \cdot \text{m}$
 $N = 15092 \text{ dN}$
 $T = 7034,04 \text{ dN}$

* Dimensions minimales de la plateine

$$\left. \begin{array}{l} \frac{N}{LB} + \frac{6M}{L^2 B} \leq \bar{\sigma}'_{b_0} \\ \bar{\sigma}'_{b_0} = 67,5 \text{ dN/cm}^2 \\ \text{Soit } L = 50 \text{ cm} \end{array} \right\} \Rightarrow B \geq \frac{50 \cdot 15092 + 6 \cdot 1720869}{2500 \cdot 67,5} = 65,65 \text{ cm} \Rightarrow B = 74 \text{ cm}$$

* Excentricité: $e = \frac{M}{N} = 114 \text{ cm}$

$$\Rightarrow \left. \begin{array}{l} d = 114 + 25 = 139 \text{ cm} \\ c = d - B + 12 = 77 \text{ cm} \\ 4 \text{ Boulons } \phi 30 \Rightarrow A_r = 5,6 \text{ cm}^2 \end{array} \right.$$

* La Largeur de la plaque comprimée:

$$b^3 + 3cb^2 - \frac{90A_rN_b(d-c-b)}{L} = 0$$

$$\Rightarrow b^3 + 231b^2 + 5604,56 - 347477,76 = 0$$

$$\text{Eq du 3° dg} \Rightarrow b = 27,4 \text{ cm} \rightarrow a = 34,6 \text{ cm}$$

* Effort de traction du boulon:

$$F = \frac{N}{N_b} \cdot \frac{3c+b}{3a+2b} = \frac{15092,18}{5,6} = 6147,18 \text{ dN}$$

* Contrainte du boulon:

$$\tau_a = 1,25 \frac{N}{A_r} = 1,25 \frac{6147,18}{5,6} = 1372,14 \text{ dN/cm}^2 < \tau_{a2}$$

* Contrainte du béton:

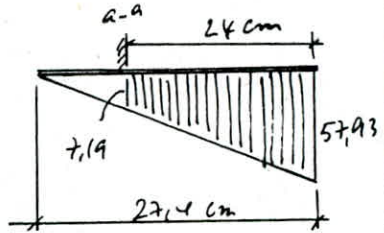
$$\sigma'_b = \frac{c \cdot N \cdot d}{L \cdot b(3a+2b)} = 57,93 \text{ dN/cm}^2 < \bar{\sigma}'_{b_0} = 67,5 \text{ dN/cm}^2$$

* Epaisseur de la platine:

Section a-a:

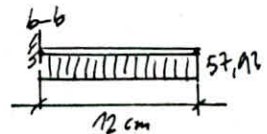
$$M_a = 7,19 \cdot \frac{24^2}{2} + \left[\frac{(57,93 - 7,19)}{2} \cdot 24 \cdot \frac{2}{3} \cdot 24 \right]$$

$$M_a = 11812,8 \text{ daN} \cdot \text{cm}$$



Section b-b:

$$M_b = 57,93 \cdot \frac{12^2}{2} = 4170,96 \text{ daN} \cdot \text{cm}$$



d'où l'épaisseur de la platine

$$e_f \geq \sqrt{\frac{C M_{max}}{\sigma_{c2}}} = \sqrt{\frac{6 \cdot 11812,8}{2400}} = 5,43 \text{ cm}$$

$\Rightarrow e_f = 6 \text{ cm}$ et on met des raidisseurs de
construction d'épaisseur $\delta = 10 \text{ mm}$

* Ancrages des boulons:

$$\begin{aligned} \bar{N} &= 13696 \text{ daN} (\text{voir, cas N=1}) \\ F &= 6147,18 \text{ daN} \end{aligned} \quad \left. \begin{array}{l} \{ \\ \Rightarrow F < \bar{N} \end{array} \right.$$

* Vérification si l'effort tranchant:

$$\text{Zone comprimée: } \Rightarrow \bar{T} = 0,4N = 0,4 \cdot \frac{57,93}{2} \cdot 27,4 \cdot 50 = 15872,82 \text{ daN}$$

$$\Rightarrow T = 7034,03 \text{ daN} < \bar{T}$$

* Les bêches:

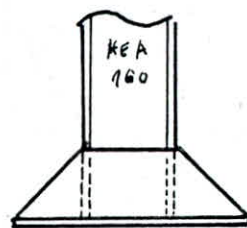
Pour les poteaux sous pression de stabilité verticale l'effort tranchant est de l'ordre de 11854,6 daN $< \bar{T} = 15872,82 \text{ daN}$ donc l'effort tranchant peut être repris par simple frottement platine massif.

Cas N° 3:

* Efforts: $M = 2775,31 \text{ daN} \cdot \text{m}$

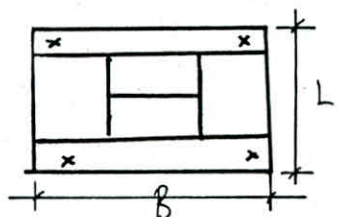
$$N = 8532 \text{ daN}$$

$$T = 1875,81 \text{ daN}$$



* Dimensions minimales de la plateforme:

$$\left. \begin{aligned} \frac{N}{LB} + \frac{M}{L^2 B} &\leq \bar{\sigma}'_b \\ \bar{\sigma}'_b = 67,5 \text{ daN/cm}^2 & \Rightarrow B \geq \frac{40 \cdot 8532 + 6 \cdot 277531}{1600 \cdot 67,5} \\ \text{Soit } L = 40 \text{ cm} & \Rightarrow B \geq 18,57 \text{ cm} \\ & \Rightarrow B = 40 \text{ cm} \end{aligned} \right\}$$



* Excentricité: $e = \frac{M}{N} = \frac{2775,31}{8532} = 0,325 \text{ m} = 32,5 \text{ cm}$

$$d = 32,5 + 13 = 45,5 \text{ cm}$$

$$c = d - B + 7 = 11,5 \text{ cm}$$

$$4 \text{ boulons } \phi 20 \Rightarrow A_r = 2,45 \text{ cm}^2$$

* Largeur de la plaque, comprimé:

$$b^3 + 3cb^2 - \frac{90dA_rN_b(d-c-b)}{L} = 0$$

$$\Rightarrow b^3 + 34,5b^2 + 1003,36b - 34111,35 = 0$$

$$\text{Eq du } 3^{\text{e}} \text{ degré} \Rightarrow b = 17,7 \text{ cm} \text{ et } a = 15,3 \text{ cm.}$$

* Effort de traction des boulons:

$$F = \frac{N}{N_b} \frac{3c+b}{3a+2b} = 1369,52 \text{ daN}$$

* Contrainte dans le boulon:

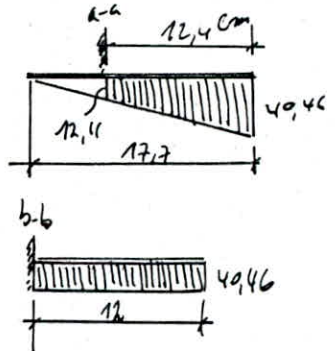
$$\sigma_a = 1,25 \frac{F}{A_r} = 1,25 \frac{1369,52}{2,45} = 698,74 \text{ daN/cm}^2 < \sigma_{a2}$$

* Contrainte du béton:

$$\bar{\sigma}'_b = \frac{6 \cdot N \cdot d}{L \cdot b (3a+2b)} = 40,46 \text{ daN/cm}^2 < \bar{\sigma}'_b = 67,5 \text{ daN/cm}^2.$$

* épaisseur de la platine:

$$M_a = 2384,0 \text{ dN} \cdot \text{cm}$$



$$M_b = 2913,12 \text{ dN} \cdot \text{cm}$$

$$\Rightarrow e_p > \frac{6M_{\max}}{\Gamma_{c2}} = \frac{6 \cdot 2384}{2400} = 2,69 \text{ cm}$$

$\Rightarrow e_p = 3 \text{ cm}$ + des mises en construction.

* Ancrage des boulons:

$$\bar{N} = \gamma_1 \left(1 + \frac{\gamma g_c}{1000} \right) \cdot \frac{\phi P}{(1 + \frac{\phi}{\gamma})^2} + \frac{2g_c r^2}{100} \left(1 - \frac{r}{l} \right). \quad (\text{CM66 art 5,123})$$

$$l = 600 \text{ mm}$$

$$g_c = 350 \text{ kg/m}^3$$

$$r = 400 \text{ mm}$$

$$d = 200 \text{ mm}$$

$$\Rightarrow \bar{N} = 14621,43 \text{ dN}$$

$$\Rightarrow F = 1369,52 \text{ dN} < \bar{N}$$

* Vérification à l'effort tranchant:

$$\bar{T} = 0,4 N = 0,4 \cdot 4946 \cdot 17,7 \cdot 40 = 5729,136 \text{ dN}$$

$$\Rightarrow T = 1875,31 \text{ dN} < \bar{T}$$

* Les bêches:

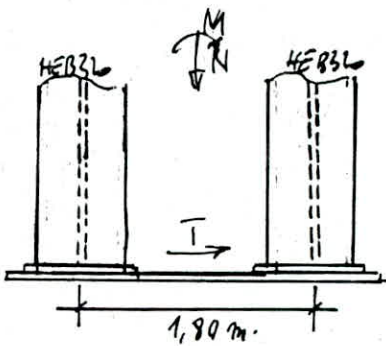
H: effort horizontal apporté par les pâles.

$$H_{\max} = 7634,5 \text{ dN} > \bar{T} = 5729,136 \text{ dN}$$

donc pour les poteaux sous pâles et de stabilité verticale l'effort tranchant ne peut pas être repris par simple frottement platine-massif
Donc on calcule les poteaux par des bêches qui assurent une bonne répartition des contraintes du massif.

Cas N° 4 (Poteau, Composé)

* Efforts: $M = 218094,3 \text{ don.v.m}$
 $N = 50776 \text{ don}$



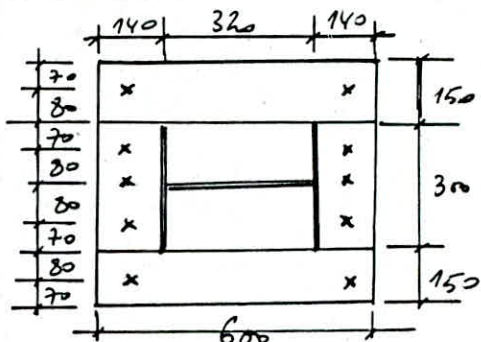
$$\Rightarrow N_{\max}^{\text{comp}} = \frac{M}{h_0} + \frac{N}{2} = 146551,5 \text{ don (comp)}$$

$$N_{\max}^{\text{trac}} = -\frac{M}{h_0} + \frac{N}{2} = 95775,5 \text{ don (traction)}$$

* Dimensions de la platine:

$$A^2 \geq \frac{N_{\max}^{\text{comp}}}{\bar{\sigma}_{b0}'} \quad \left\{ \begin{array}{l} \bar{\sigma}_{b0}' = 67,5 \text{ don/cm}^2 \\ \Rightarrow A^2 \geq \frac{146551,5}{67,5} = 2171,13 \text{ cm}^2 \\ \Rightarrow A \geq 46,6 \text{ cm} \end{array} \right.$$

d'où $A = 60 \text{ cm}$.



* Effort de traction du boulon:

$$F_t = \frac{N_{\max}^t}{10} = \frac{95775,5}{10} = 9577,55 \text{ don}$$

* Contrainte du boulon.

$$\bar{\sigma}_a = 1,25 \frac{N}{A_r} = 1,25 \frac{9577,55}{5,6} = 2137,84 \text{ don/cm}^2 < \bar{\sigma}_{bu}$$

* Contrainte du béton.

$$\bar{\sigma}_b' = \frac{N_{\max}^c}{A_b} = \frac{146551,5}{3600} = 40,71 \text{ don/cm}^2 < \bar{\sigma}_{b0}'$$

* Épaisseur de la platine:

$$M_{max} = 40,31 \cdot \frac{15^2}{2} = 4579,87 \text{ dmr. cm}$$

$$\Rightarrow e_p \geq \sqrt{\frac{6M_{max}}{\sigma_{en}}} = 3,33 \text{ cm} \Rightarrow e_p = 4 \text{ cm} + \text{des rajouts sur les cotés}$$

Construction d'épaisseur
 $\delta = 10 \text{ mm}$

* Ancrages des boulons:

$$\begin{aligned} \bar{N} &= 13696 \text{ dmr. (voir cos N°1)} \\ F &= 9577,5 \text{ dmN} \end{aligned} \quad \left. \begin{array}{l} \\ \end{array} \right\} \Rightarrow F < \bar{N}$$

* Vérification des soudures (poteau-platine).

$$\begin{aligned} a &= 8 \text{ mm} \Rightarrow a\alpha = 0,72 \text{ cm} \\ \Rightarrow l_1 &= 28,4 \text{ cm} \quad ; \quad l_2 = 12,25 \text{ cm} \quad ; \quad l_3 = 26,38 \text{ cm} \end{aligned}$$

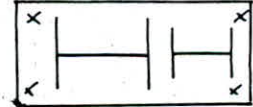
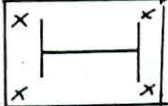
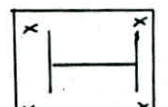
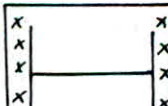
$$\Rightarrow 1,18 \frac{F}{\sum l_i \cdot a\alpha} = 1,18 \frac{9577,5}{(28,4 + 12,25 + 26,38) \cdot 0,72} = 2341,72 \text{ dmN/cm}^2 < \sigma_{en}$$

* Vérification de l'effort tranchant:

$$\text{Zone Comprimée} \Rightarrow T - 0,4N = 94 \cdot 40,71 (60)^2 = 58622,4 \text{ dmN}$$

$$\Rightarrow T < \bar{T}$$

Tableau des cos d'ancrage:

cos d'ancrage	dimensions platinées (mm)	boulons	longueur de la tige d'ancrage	forme de la platine
1	900x500x50	4φ30	60 cm	
2	740x50x60	4φ30	60 cm	
3	400x400x30	4φ20	60 cm	
4	600x600x40	10φ30	60 cm	

FONDATION

ETUDE DES FONDATIONS

I: Description du Sol:

Tous les forages qui ont été exécutés jusqu'à une profondeur d'environ 43 m montrent un profil de Couche, comme suit :

- Sable de dune
- Gravier-galet.
- Marne, Compacte

La base du terrain est formée de marne, sediment marin.

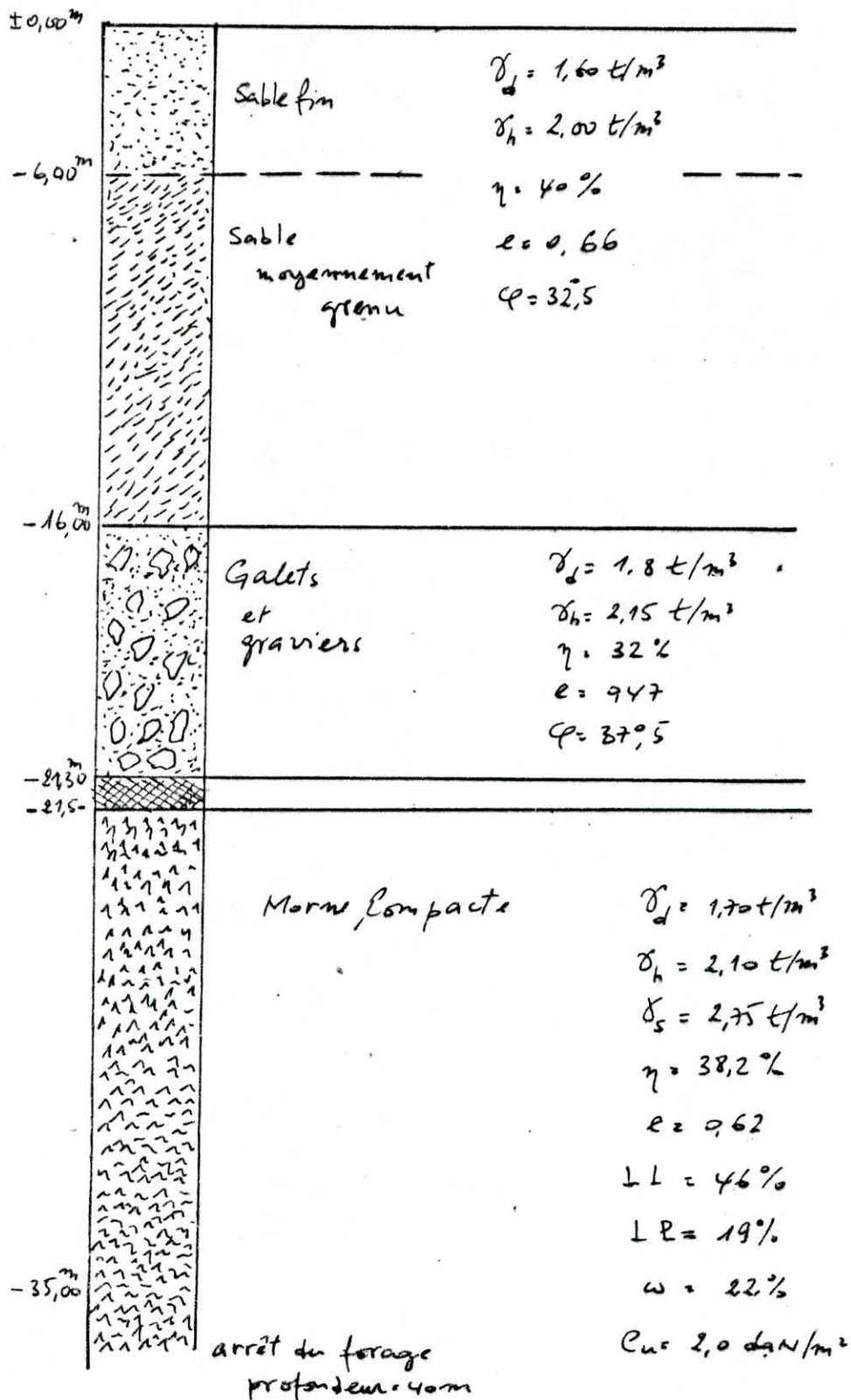
La nappe souterraine, est soumise à une pression faible, sa hauteur piezométrique ne dépasse guère le niveau de la mer.

Les essais faits en laboratoire et in situ ont donné les coefficients caractéristiques du sol (voir, coupe de sol) On pourrait réaliser les fondations sur piliers isolés sur les tables dunaïres qui en principe possède une force portante, considérable (2 à 3 bars) avec un ancrage de 1,50 m

La contrainte admissible du sol sera déterminée par la formule de TERZAGI en, considérant l'excavité et l'obligation éventuelles des charges.

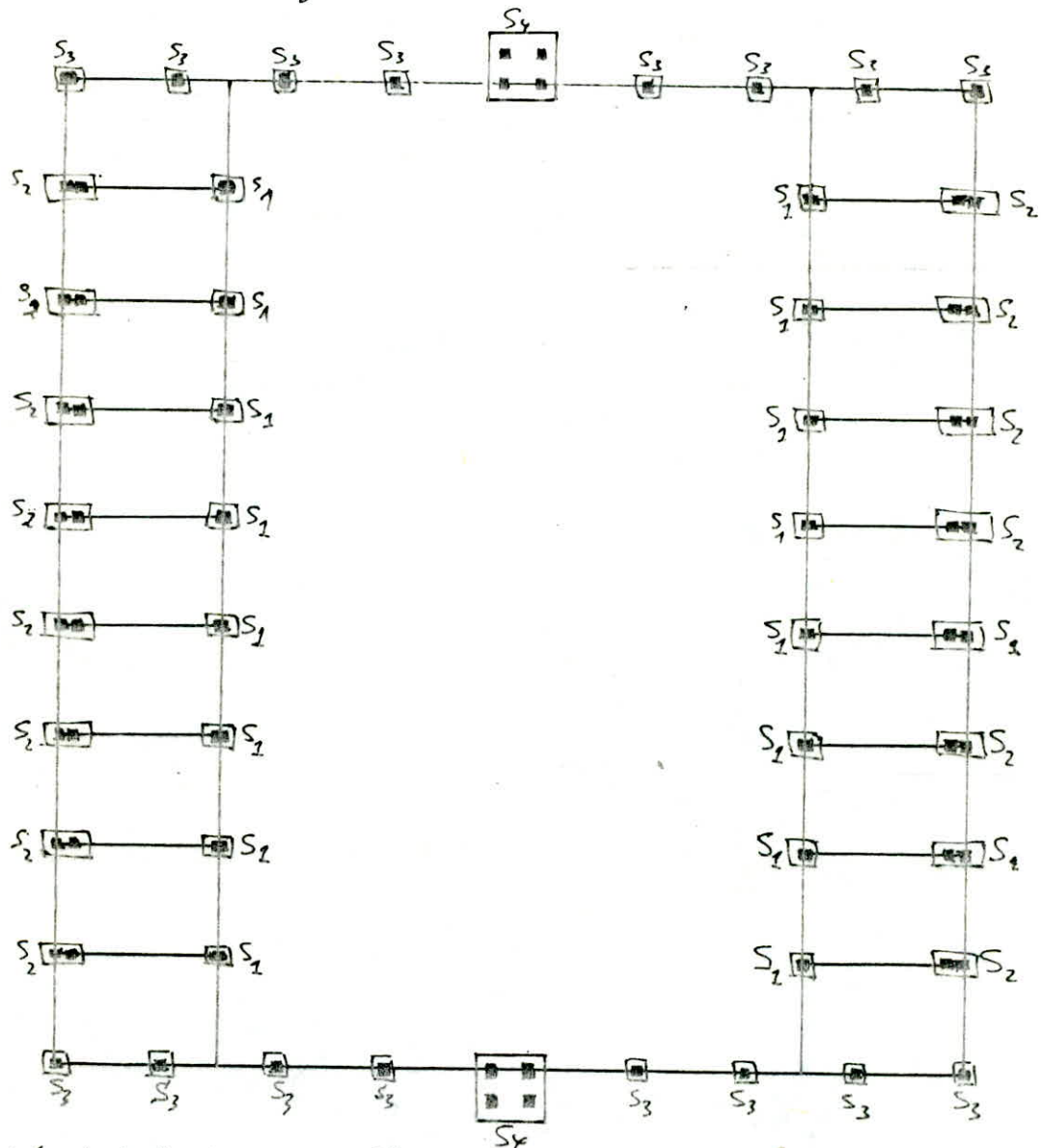
Les tassements sont très faibles, et, cela est dû à la couche de sable dont les grains sont uniformes et le coefficient oedémétrique élevé, tandis que la couche de gravier-galet, elle est pratiquement incompressible.

Coupe de Sol:



Calcul des semelles.

On dispose de semelles isolées sous poteaux pour l'ensemble de la structure. On fera le calcul de 4 types de semelles avec les sollicitations du 1^{er} genre $G + P \pm S_i$ et on vérifie avec les sollicitations du 2nd genre $G + P \pm S_i$.



N° total des semelles : 50 dont :

- 16 semelles isolées S_1
- 16 semelles isolées S_2
- 16 semelles isolées S_3
- 2 semelles isolées S_4 .

Etude de La Semelle S₁

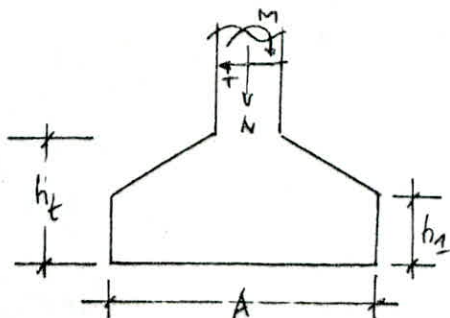
- dimension de La plateforme $a = 74 \text{ cm} ; b = 50 \text{ cm} ; e = 6 \text{ cm}$

- Ancrege à $D = 1,50 \text{ m}$

- Efforts:

$$* G + 1,2 Q : \begin{cases} M = 7658,4 \text{ dON.m} \\ N = 15526,5 \text{ dON} \\ T = 4818,7 \text{ dON} \end{cases}$$

$$* G + Q + 1,2 S_i : \begin{cases} M = 17208,68 \text{ dON.m} \\ N = 15092 \text{ dON} \\ T = 7034,04 \text{ dON} \end{cases}$$



I Dimensionnement

$$\frac{B}{A} = \frac{b}{a} = \frac{50}{74} = 0,676 \Rightarrow A = 1,48 B$$

$$\bar{\sigma}_s \geq \sigma \left(\frac{A}{4} \right) \Rightarrow \bar{\sigma}_s \geq \frac{N}{AB} + \frac{My}{I} \quad \text{avec } y = \frac{A}{4}$$

$$\text{pour } \bar{\sigma}_s = 2 \text{ bars} \Rightarrow \begin{cases} A = 2,20 \text{ m} \\ B = 1,50 \text{ m} \end{cases}$$

II Calcul de la Contrainte admissible du Sol

formule de TERZAGI

$$\bar{\sigma}_s = \gamma_b D + \frac{(1 - 0,2A/B)\gamma_b \frac{A}{2} N_y + \gamma_b D (N_q - 1) + (1 + 0,2A/B)C N_c}{F}$$

Dans le cas d'une excentricité, A' est remplacé par $A' = A - 2e$.

L'effort tranchant provoque une inclinaison de N' d'un angle $\delta = \arctg \frac{T}{N} = 15,52^\circ$. Et dans ce cas N'_y et N'_q sont multipliés par des coefficients réducteurs i_y ; i_q respectivement.

$$\begin{cases} \delta = 15,52^\circ \\ \varphi = 32,5^\circ \end{cases} \Rightarrow \begin{cases} i_q = 0,56 \\ i_y = 0,35 \end{cases} \quad (\text{tableau VIII ; } \times \text{ G. Sanglerat Tome 2})$$

$$\varphi = 32,5^\circ \Rightarrow \begin{cases} N'_q = 23,2 \\ N'_y = 29,8 \end{cases} ; C = 0 \quad (\text{sable})$$



$$\text{d'où } \bar{\sigma}_s = 2,035 \text{ dON/cm}^2$$

$$* \text{ hauteur de La Semelle : } h \geq \max \begin{cases} \frac{A - e}{4} = 36,5 \text{ cm} \\ 1,44 \sqrt{\frac{N}{G_b}} = 21,83 \text{ cm} \end{cases}$$

$$\Rightarrow \begin{cases} h = 40 \text{ cm} \\ h_t = 45 \text{ cm} \\ h_1 = 20 \text{ cm} \end{cases}$$

III Verifications:

- Poids des terres au dessus de La semelle

$$N_t = 1600 (AB - ab) \left[D - h_t + \frac{(h_t - h_1)}{2} \right] = 5508,4 \text{ d.N}$$

- Poids du massif de La semelle:

$$N_s = 2500 \left[ABh_t - \left(\frac{A-a}{2} \right) \cdot B(h_t - h_1) + ab(D - h_t) \right] = 3880 \text{ d.N.}$$

Soit $N_{\text{tot}} = N + N_t + N_s = 24714,9 \text{ d.N.}$

$$\sigma_{1,2} = \frac{N_{\text{tot}}}{AB} \pm \frac{M}{I} v \quad \text{où } v = \frac{A}{2} \quad \Rightarrow \begin{cases} \sigma_1 = 1,382 \text{ d.N/cm}^2 \\ \sigma_2 = 0,116 \text{ d.N/cm}^2 \end{cases}$$

$$\Rightarrow \sigma(A_{\frac{1}{4}}) = \frac{\sigma_2 + 3\sigma_1}{4} = 1,0655 \text{ d.N/cm}^2 < \bar{\sigma}_s = 2,035 \text{ d.N/cm}^2$$

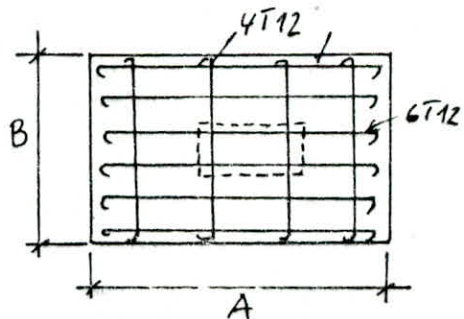
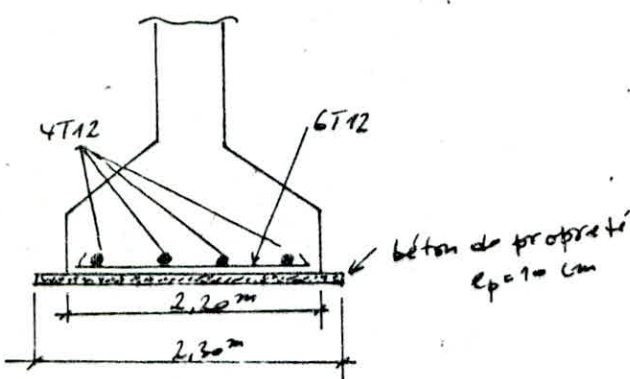
IV Ferrailage:

Il s'agit d'une semelle rigide. On utilise la méthode des bielles qui consiste à calculer la poutre sollicitée par $N' > N$

où $N' = \sigma(A_{\frac{1}{4}}) A \cdot B = 35161,5 \text{ d.N}$

d'où $A_a = \frac{N'(A-a)}{8h\bar{\sigma}_a} = 5,729 \text{ cm}^2 \rightarrow 6T12 \quad (A = 6,78 \text{ cm}^2)$

$$A_b = \frac{N'(B-b)}{8h\bar{\sigma}_a} = 3,92 \text{ cm}^2 \rightarrow 4T12 \quad (A = 4,52 \text{ cm}^2)$$



V Vérification sous SP2

$$M = 17208,68 \text{ donm} ; N = 15092,00 \text{ don} ; N_{\text{tot}} = 24280,4 \text{ don}$$

$$\Rightarrow e_0 = \frac{M}{N_{\text{tot}}} = 68,788 \text{ cm} > \frac{A}{6} = 36,66 \text{ cm}$$

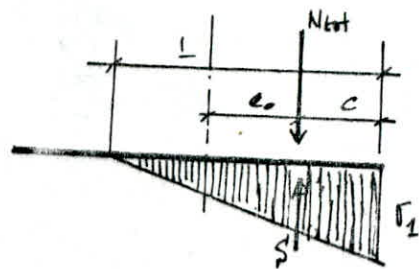
\Rightarrow Semelle partiellement comprimée:

$$\text{équilibre: } N_{\text{tot}} = S = \frac{\bar{e}_1 L B}{2} \Rightarrow \sigma_1 = \frac{2 N_{\text{tot}}}{L \cdot B}$$

$$\text{avec } L = 3c ; c = \frac{A}{2} - e_0$$

$$\Rightarrow L = 3 \left(\frac{A}{2} - e_0 \right)$$

$$\text{D'où } \sigma_1 = \frac{2 N_{\text{tot}}}{3 \left(\frac{A}{2} - e_0 \right) B} = 2,57 \text{ donN/cm}^2 < 1,5 \bar{\sigma}_s = 3,055 \text{ donN/cm}^2$$



VI Vérification de l'adhérence.

$$\phi_a \stackrel{?}{\leq} \frac{\bar{\varepsilon}_d}{\bar{\varepsilon}_a} A \quad \text{avec } \bar{\varepsilon}_d = 1,25 \varphi_d \bar{\varepsilon}_b = 2,8 \bar{\varepsilon}_b \quad (\varphi_d = 1,5)$$

$$\Rightarrow \bar{\varepsilon}_d = 2,8 \cdot 6,9 = 16,52 \text{ donN/cm}^2$$

$$\frac{\bar{\varepsilon}_d}{\bar{\varepsilon}_a} A = \frac{16,52 \cdot 22}{2800} = 1,298 \text{ cm} < 1,4 \text{ cm} \Rightarrow \text{crochets à } 45^\circ$$

$$\frac{\bar{\varepsilon}_d}{\bar{\varepsilon}_a} B = \frac{16,52 \cdot 150}{2800} = 0,885 \text{ cm} < 1,4 \text{ cm} \Rightarrow \text{crochets à } 45^\circ$$

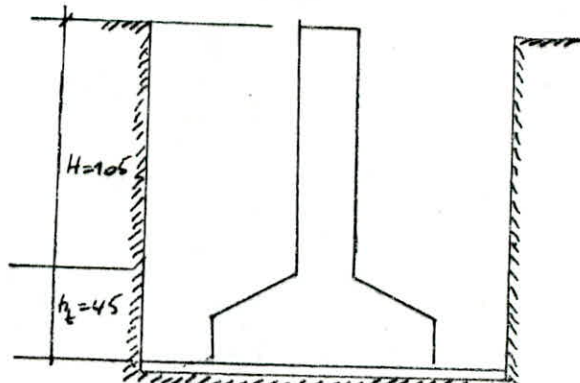
VII Calcul du fût.

On prévoit un poteau en béton armé de hauteur $H = D - h_e = 105 \text{ cm}$ de dimension $74 \times 50 \text{ cm}$ suffisante pour l'assemblage platine-massif

$$N = 15092 \text{ don}$$

$$T = 7034,04 \text{ don}$$

$$M_{\text{tot}} = M + TH = 24594,42 \text{ donm}$$



$$e_0 = \frac{M_{\text{tot}}}{N} = \frac{24594,42}{14693,5} = 16,32 \text{ cm} > \frac{h_e}{6} = 12,33 \text{ cm}$$

\Rightarrow Section partiellement comprimée.

- Moment fictif: $M_f = M_{tot} + N \left(\frac{h_t}{2} - d \right)$

$$\Rightarrow M_f = 24594,42 + 15029 \left(\frac{0,74}{2} - 0,03 \right) \\ = 29725,7 \text{ daN.m}$$

- Contrainte du béton sous M_f :

$$\mu = \frac{15 M_f}{\bar{\sigma}_a b h^2} = 0,060 \Rightarrow \begin{cases} \Sigma = 99016 \\ K = 35,8 \end{cases} \Rightarrow \bar{\sigma}_b' = \frac{\bar{\sigma}_a}{K} = 78,21 \text{ daN/cm}^2$$

hence $\bar{\sigma}_b' = 78,21 \text{ daN/cm}^2 < \bar{\sigma}_b' = 135 \text{ daN/cm}^2$

- Ferrailage:

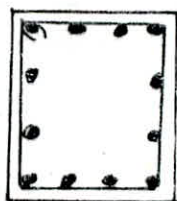
Les aciers comprimés ne sont pas nécessaire, car $\bar{\sigma}_b' < \bar{\sigma}_a'$ mais comme le moment peut changer de signe, nous adoptons un ferrailage symétrique $A = A'$.

$$A = A_1 - \frac{N}{\bar{\sigma}_a} \quad \text{avec} \quad A_1 = \frac{M_f}{\bar{\sigma}_a s h} = 16,58 \text{ cm}^2$$

$$\Rightarrow A = 16,58 - \frac{15029}{2800} = 11,19 \text{ cm}^2 \longrightarrow 4720 \quad (A = 12,56 \text{ cm}^2)$$

- Vérification de la fissuration.

$$\bar{\sigma}_f = \frac{12,56}{2,3 \cdot 50} = 0,0418 \Rightarrow \begin{cases} \bar{\sigma}_1 = 376 \text{ daN/cm}^2 \\ \bar{\sigma}_2 = 2257,8 \text{ daN/cm}^2 \end{cases}$$



Soit $\bar{\sigma}_a = \min \begin{cases} \bar{\sigma}_{a1} = 2800 \text{ daN/cm}^2 \\ \max(\bar{\sigma}_1, \bar{\sigma}_2) = 3764 \text{ daN/cm}^2 \end{cases}$

$$\Rightarrow \bar{\sigma}_a = 2800 \text{ daN/cm}^2$$

\Rightarrow pas de fissuration

Le calcul des autres semelles est semblable à celui de S_1 sauf là où la semelle porte plus qu'un poteau. Dans ce cas la semelle sera calculée comme semelle isolée sous poteau unique dont les dimensions sont celles de la platine.

- Le tableau suivant résume les résultats obtenus lors de l'étude des autres semelles.

Semelle	Dimensions de la Semelle			Ferrailage de la Semelle		Dimensions du Poteau		Ferrailage
	A(cm)	B(cm)	h _b (cm)	A _a (cm ²)	A _b (cm ²)	a(cm)	b(cm)	
S_2								
S_3								
S_4								

Longrines (art 4.2.3.3 RPA81)

Les longrines doivent être calculées pour résister à la traction sous l'action d'une force $N = 10\%$ de la force axiale du poteau en question.

→ des Longrines 30x25 cm ferrailage 4T12 (Valeurs minimales suffisantes pour notre cas ossature légère)

Voile périphérique:

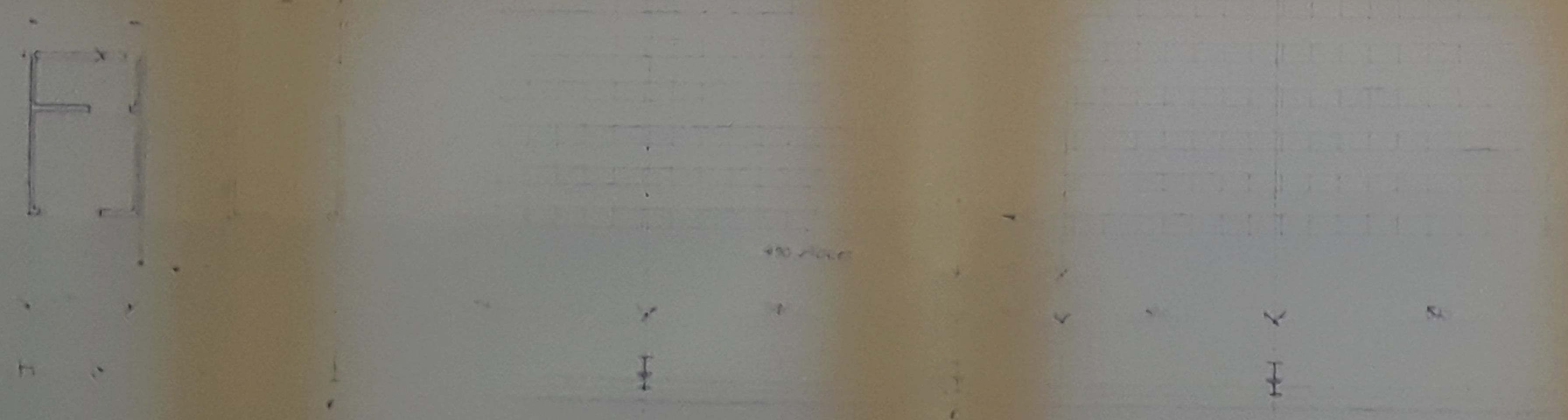
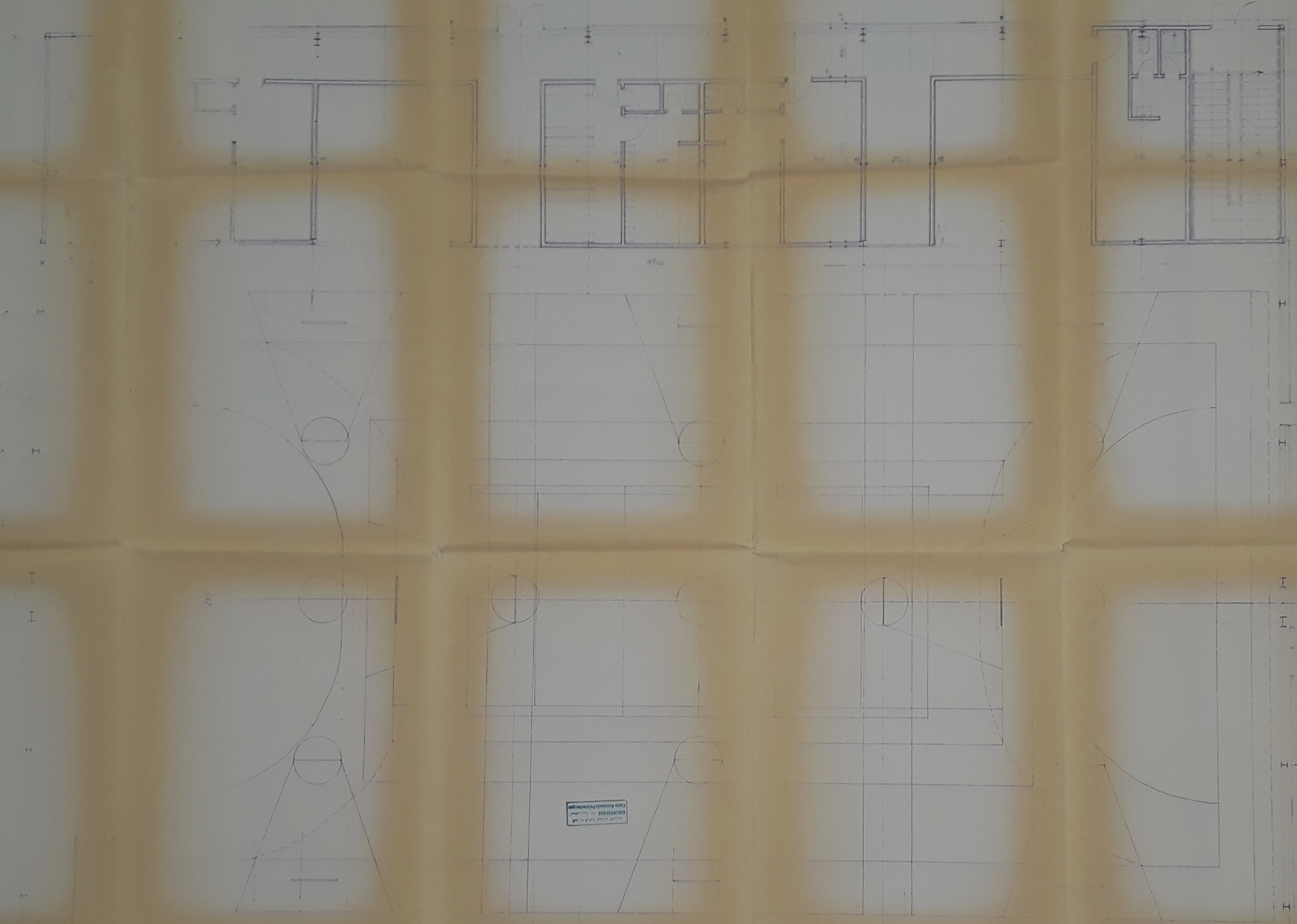
On dispose des murs périphériques en béton armé de hauteur 1m qui ceinturent tout le bâtiment et reliant les fondations de les 2 sens.

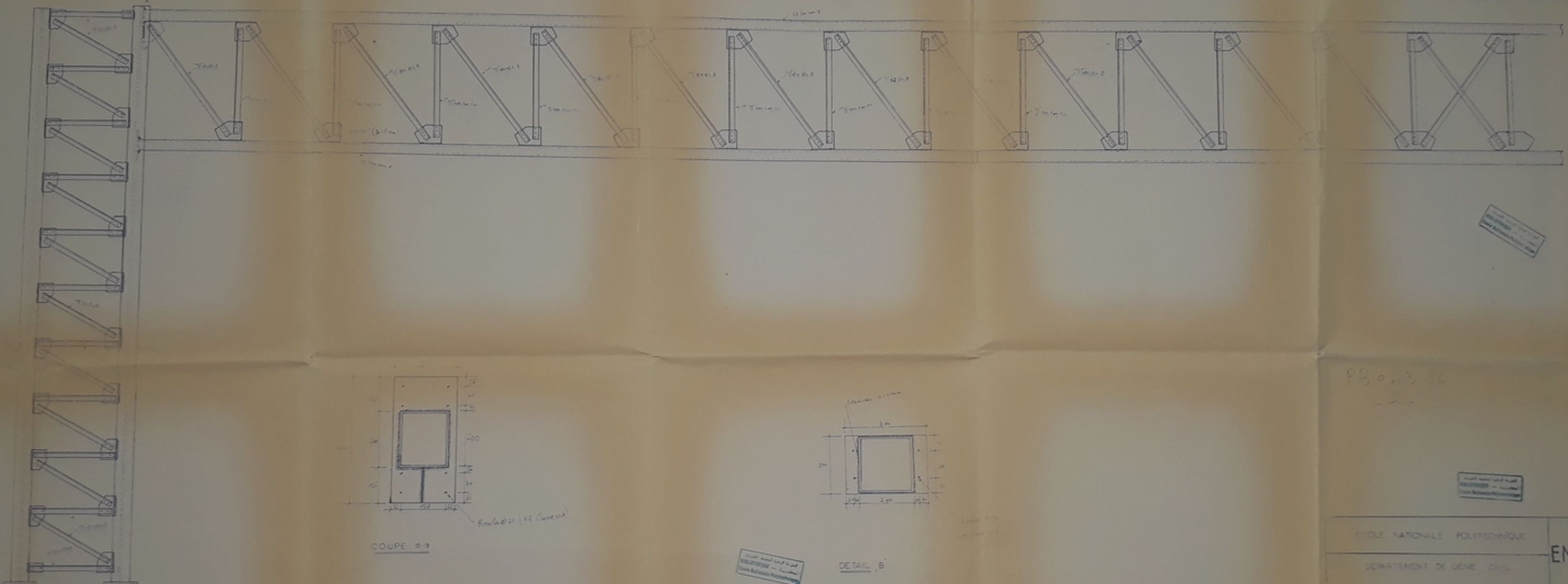
Le voile doit avoir les caractéristiques minimales ci-dessous:

* épaisseur : $e \geq \max\left(\frac{h}{10}; 0,15\right)$ avec h: hauteur du voile - 1m
 $\Rightarrow e \geq \max(6,10; 0,15) = 15 \text{ cm}$

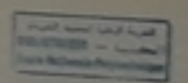
* Armatures filantes supérieures et inférieures de section $\geq 20\% h \cdot e = 0,20 \cdot 100 \cdot 15 \cdot 10^{-2} = 3 \text{ cm}^2 \rightarrow 2T14$

* Armatures longitudinales de poteau de section A $\geq 2 \text{ cm}^2$
 $\rightarrow 4T10/mb$ avec un espacement de 25 cm
 (art 3.3.25 RPA81)





PB 013 86
2



ÉCOLE NATIONALE POLYTECHNIQUE
DÉPARTEMENT DE GENIE CIVIL
ENPA

PROJET DE FIN D'ÉTUDE
PROPOSITION ANP 86

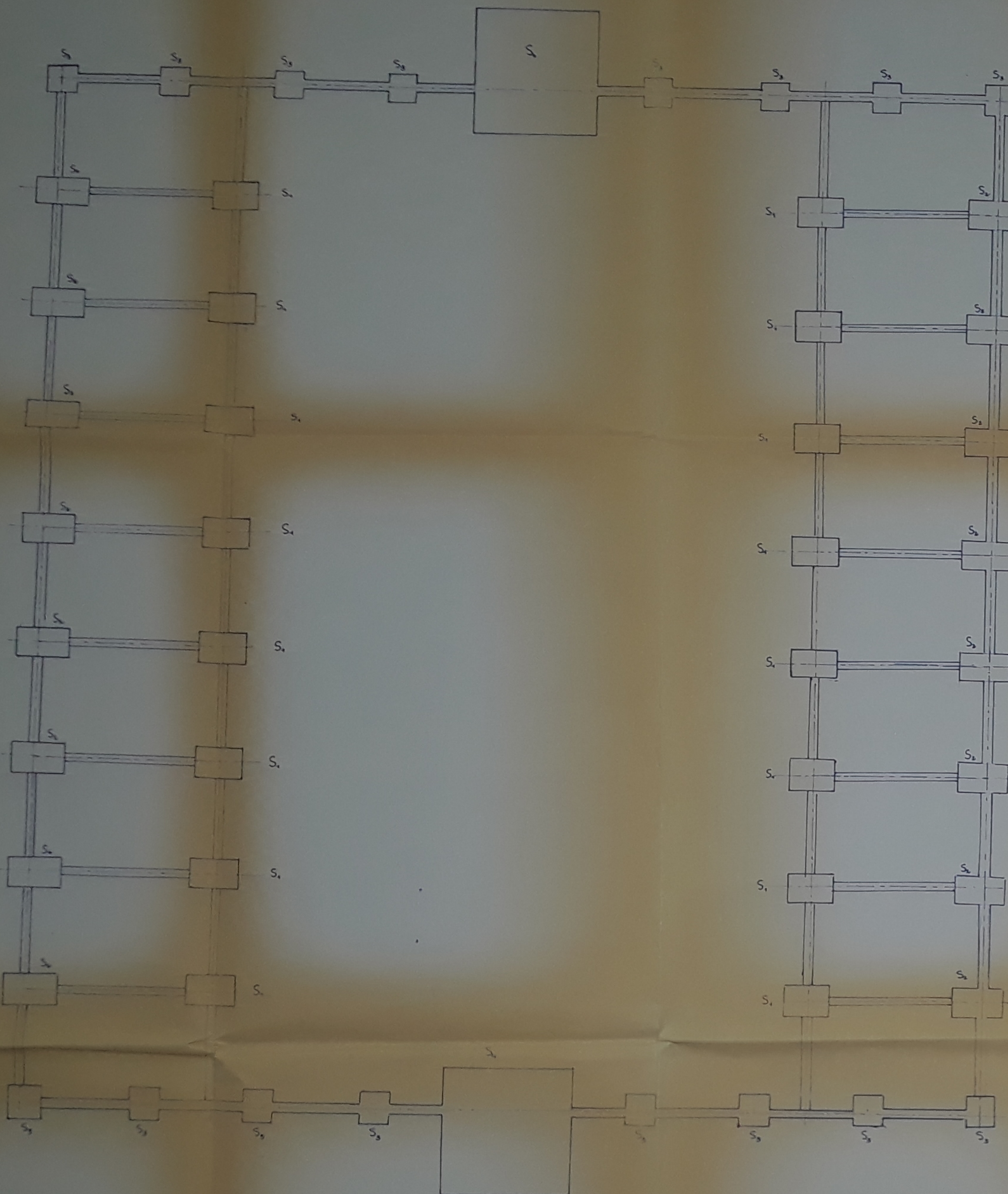
SALLE DE SPORTS
POLYVALENTE

PROPOSE FIN BET bâtimen

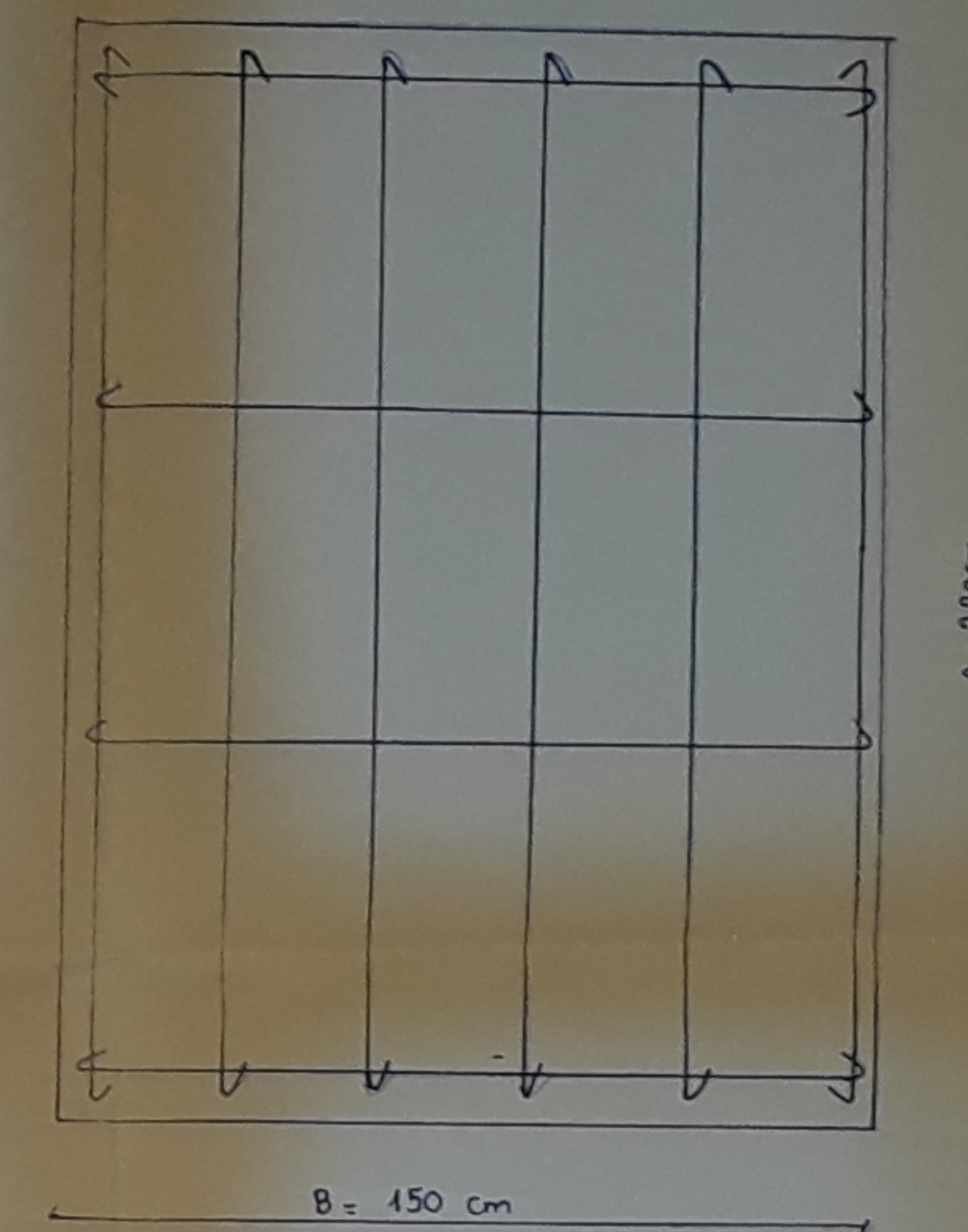
M. ABDOUL BERKANE
sous parr M. BEZERAT

M. OMRI

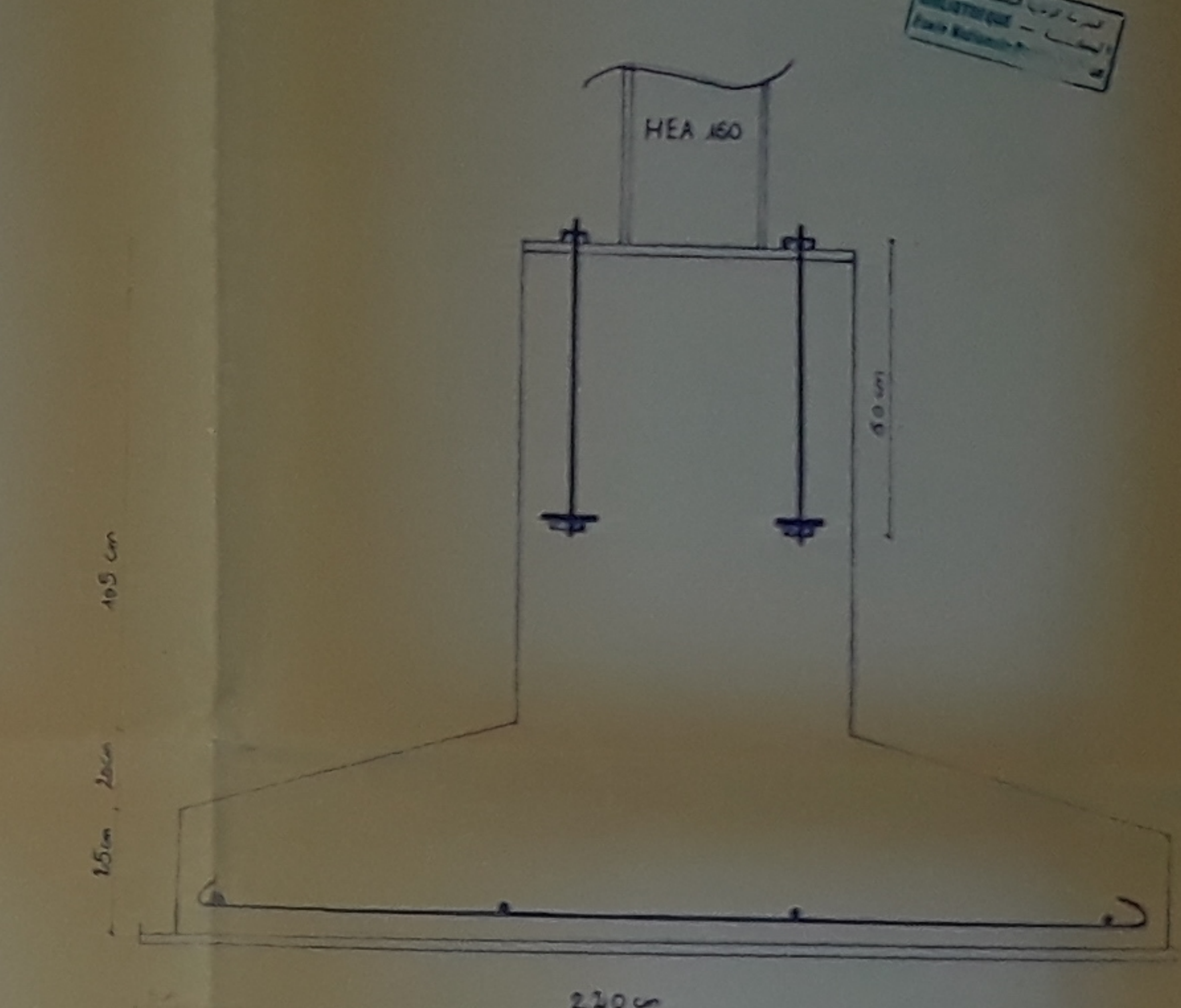
POUTRE A TREILLIS
AVEC POTEAU COMPOSÉ



FONDATIONS



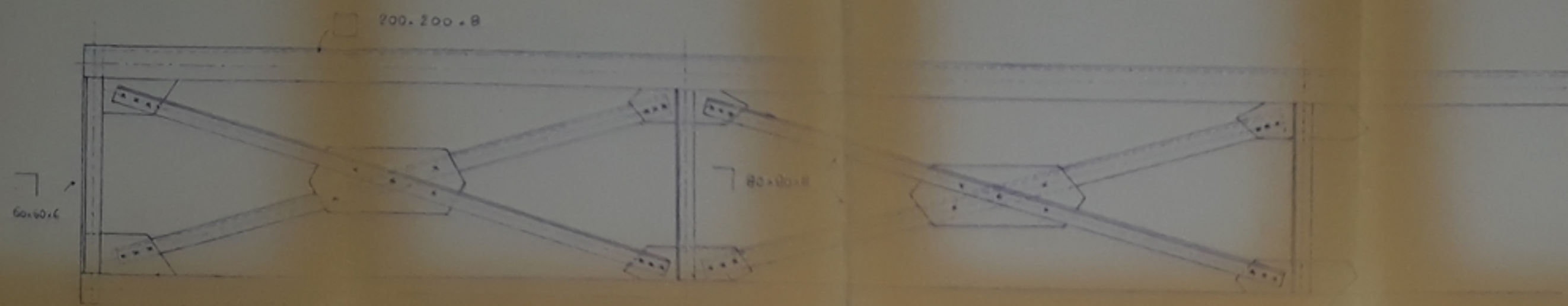
FERAILLAGE
DE
LA SEMELLE
S1



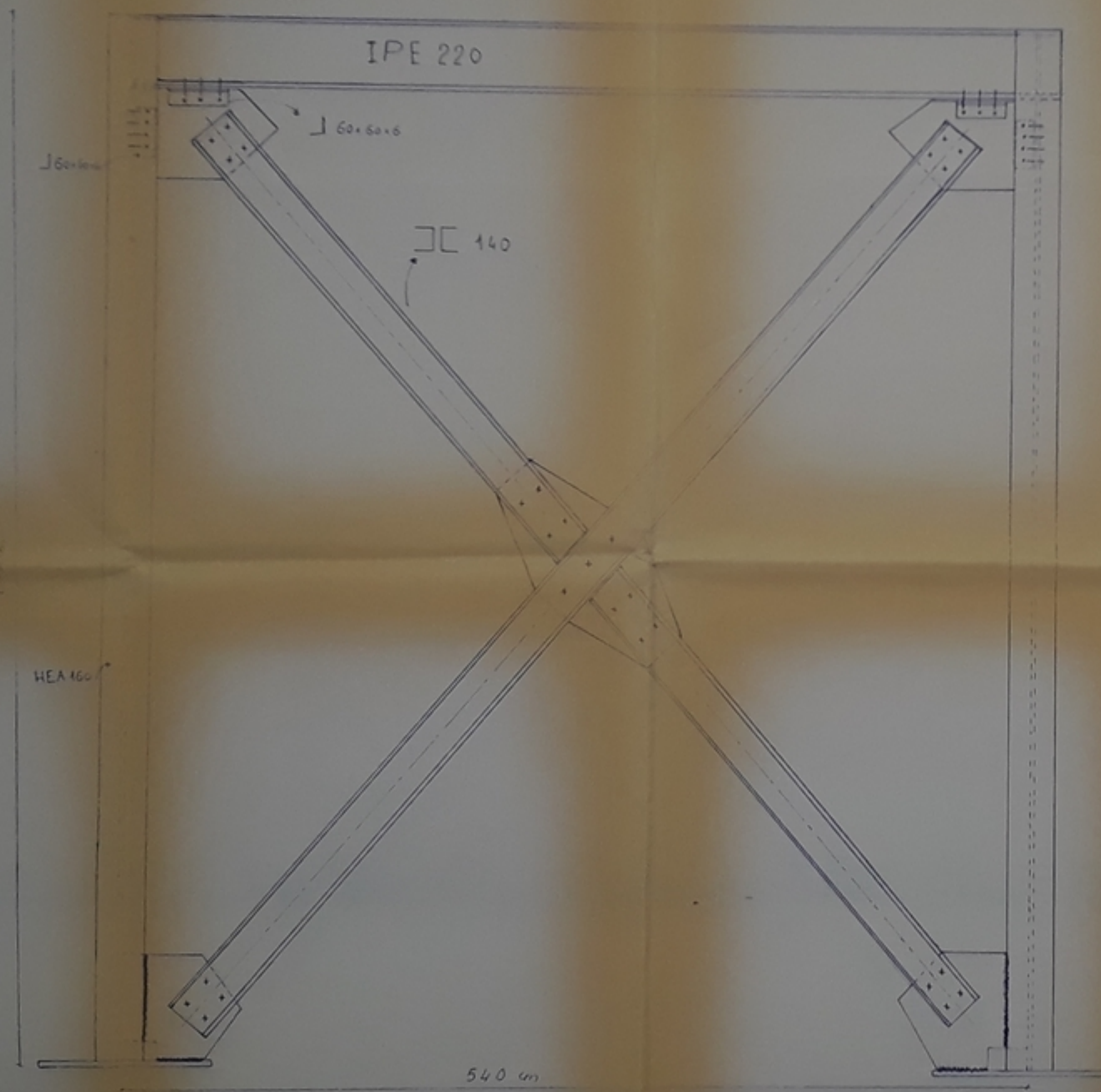
ANCORAGE
DES
POTEAUX

PROJET DE FIN D'ETUDES		SALLE DE SPORTS POLYVALENTE
Promotion Juin 88		PROPOSE Par BET balmehot
Dirigé par Z. DURALIBERKANE		échelles 1/100 Designation N7-3
Etudié par M. BEDEBAT		
M. GHARBI		FONDATIONS

POUTRE AU VENT



PALÉE DE STABILITÉ



PB 043 86

ECOLE NATIONALE POLYTECHNIQUE	
DE PARTEMENT DE GENIE CIVIL	
PROJET DE FIN D'ETUDES Promotion Juin 86	SALLE DE SPORTS POLYVALENTE
PROPOSE Par BET batimetal	
Dirige par Z DJALIBERKANE Etude par M. BEDERIAT M. GHRICI	échelles: 4/40 Designation N/4
CONTREVENTEMENT	

